

Tehnium

FONDATĂ ÎN ANUL 1970

ANUL XXXV, Nr. 357

REVISTĂ PENTRU CONSTRUCTORII AMATORI

Număr editat cu sprijinul Ministerului Educației și Cercetării

REVISTĂ
TRIMESTRIALĂ

2 iunie
2005

■ INITIERE PC

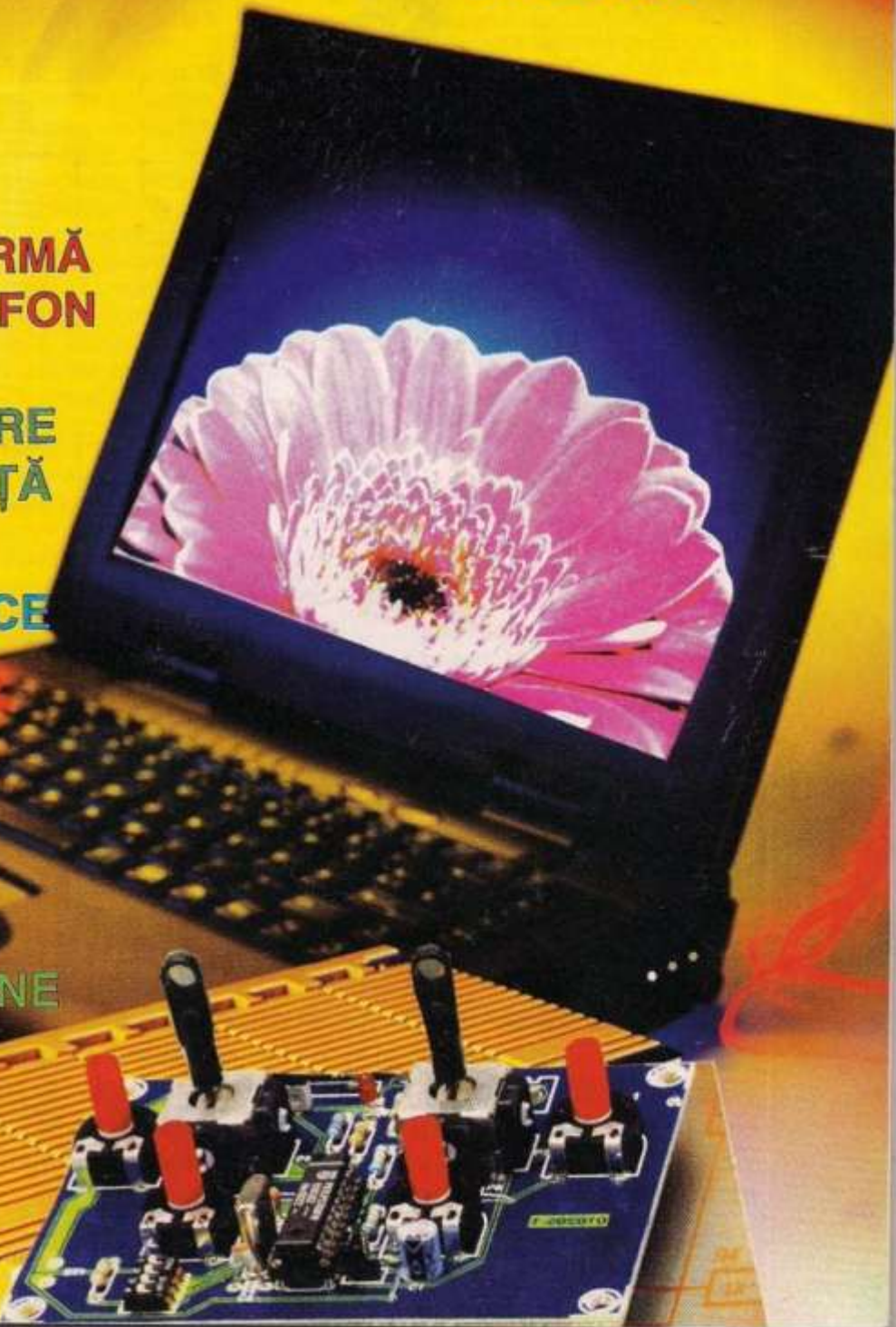
■ SISTEM DE ALARMĂ
PRIN TELEFON

■ MULTIPLICATOARE
DE FRECVENTĂ

■ TUBURI CATODICE

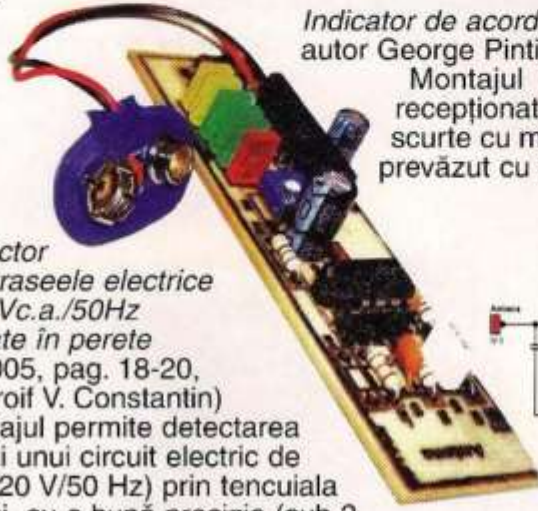
■ STABILIZATOR
DE ÎNALȚĂ TENSIUNE

■ REFOLOSIREA
TUBURILOR
FLUORESCENTE



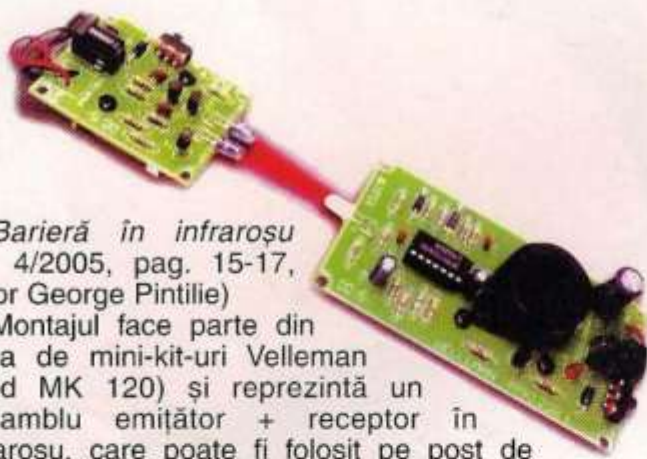
REVISTA REVISTELOR

Din numerele 3 și 4/2005 ale revistei Conex Club vă semnalăm în rubrica de față câteva montaje de interes pentru constructorii amatori.



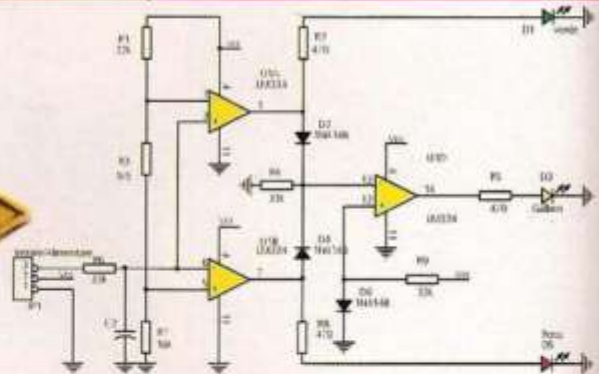
Detector pentru traseele electrice de 220 Vc.a./50Hz încastrate în perete (nr. 4/2005, pag. 18-20, autor Croif V. Constantin)

Montajul permite detectarea traseului unui circuit electric de rețea (220 V/50 Hz) prin tencuiala peretelui, cu o bună precizie (sub 2 cm). Afisarea pozitiei se face sugestiv, utilizandu-se un display de tip bar-graph cu LED-uri.



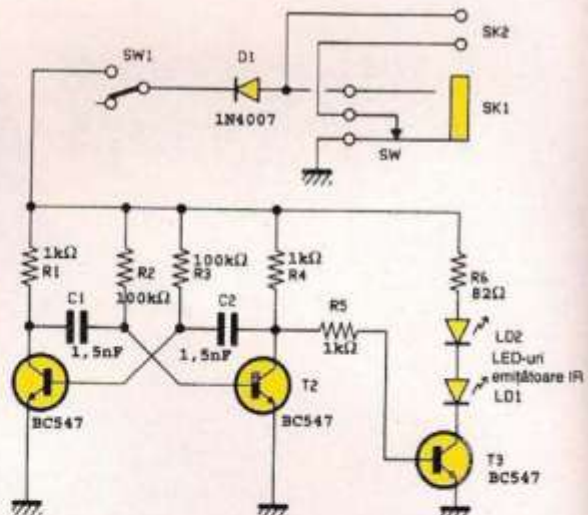
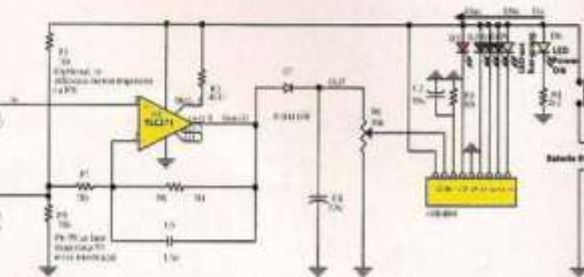
Barieră în infraroșu (nr. 4/2005, pag. 15-17, autor George Pintilie)

Montajul face parte din seria de mini-kit-uri Velleman (Cod MK 120) și reprezintă un ansamblu emițător + receptor în infraroșu, care poate fi folosit pe post de barieră IR în instalațiile de avertizare, semnalizând trecerea unei persoane, a unui animal, a unui obiect oarecare, care "traversează" bariera.



Indicator de acord pentru receptoare MF-UUS (nr. 3/2005, pag. 33-34, autor George Pintilie)

Montajul facilitează acordul corect pe frecvența postului recepționat, în cazul radioreceptoarelor în gama de unde ultracurte cu modulație de frecvență, atunci când receptorul nu este prevăzut cu dispozitivul de control automat al frecvenței (CAF).



S.C. DIFUZOARE S.R.L. - Drobeta Turnu Severin,

Strada D. Grecescu nr. 12, cod 220097 - județul Mehedinți,
tel./fax: 0252 - 312.381 E-mail: dan@difuzoare.ro
este

UNIC IMPORTATOR al produselor următorilor furnizori:

P. AUDIO (ATON Acoustics Co, Ltd.) - difuzoare de uz profesional și HI FI;

SELENIUM (SUA) - difuzoare de uz profesional și car audio;

Grupul DST (Danemarca) ce include firmele SCANSPEAK,

VIFA și PEERLESS - difuzoare pentru incinte HI FI pentru audiofilii.

Vizitați site-ul: www.difuzoare.ro

Stimați cititori,

Vă mulțumesc pentru cuvintele frumoase pe care ni le-ați adresat și de această dată, ca și pentru sugestiile și propunerile privind îmbunătățirea conținutului revistei. În ceea ce privește solicitările dumneavoastră, la o parte dintre ele găsiți răspunsuri în acest număr, la rubrica "La cererea cititorilor", altele sunt în curs de rezolvare și, ca de obicei, rămân unele cereri pe care nu le putem onora, în special cele referitoare la scheme de aparate sau la articole mai vechi din revistă.

Într-adevăr, așa cum ne reamintiți mai mulți dintre dumneavoastră, înainte de 1990 revista TEHNİUM a constituit principala sursă de informare pentru constructorii amatori din România, pentru mulți dintre ei practic singura accesibilă. Apariția ei regulată, lunar, formatul acela mare, colectivul redacțional substanțial, cercul foarte larg de colaboratori, almanahurile și suplimentele apărute au permis să se acopere o gamă vastă de domenii specifice hobby-urilor tehnice. Din păcate, acum nu mai este posibil așa ceva. Sau nu este încă posibil, până nu se vor așeza și la noi lucrurile într-o stare normală din punct de vedere economic, pentru ca o revistă (totuși, greu de realizat) de 68 de pagini, la care colaborează, număr de număr, circa 20 de persoane și care costă 39.500 lei, să nu mai pară scumpă unui potențial cumpărător interesat sincer de conținutul ei.

Aveți dreptate toți cei care ne cereți mai multe informații "fundamentale", mai multe articole cu caracter de inițiere sau "monografii" pe probleme de larg interes, ca și mai multe date de catalog și aplicații ale unor componente electronice moderne. După cum vedeați, ne străduim în acest sens, dar oferta de propunerile concrete de articole din partea cititorilor este încă modestă. Pe de altă parte, trebuie să recunoaștem că acum există pe piață și alte reviste similare, românești sau străine, care pot completa documentarea constructorului amator. De pildă, răsfoind un număr recent (decembrie/2004) al revistei franțuzești *Electronique Pratique*, am întâlnit cel puțin trei articole ample destinate constructorilor începători, pe probleme "fundamentale" de electronică (transformatoare, amplificatoare operaționale, circuite logice).

Desigur, per ansamblu, TEHNİUM rămâne o veritabilă enciclopedie de hobby, dar din păcate cei mai mulți constructori începători nu au acces la colecția revistei, la almanahurile și suplimentele sale. Domnul Daniel N. Dobrin din Târgoviște ne sugerează să inițiem o rubrică referitoare la istoricul lui TEHNİUM. Dar cui și cum i-ar ajuta un astfel de istoric? Cred că mult mai util ar fi să găsim o posibilitate (resurse materiale, dotare tehnică și personal) pentru a înregistra pe CD-uri tot ceea ce a apărut până în prezent sub marca TEHNİUM, eventual pentru a crea și un site pe Internet cu acest conținut. De fapt, domnul Géza Bükaresti din Târgu Mureș ne sugerează chiar să introducем pe Internet aparițiile curente ale revistei, idee care nu este agreată de editor din evidente motive economice. Desigur, alta ar fi situația dacă revista ar putea crește tirajul, semnale pozitive în acest sens existând din toată țara, chiar întrebări insistente din unele orașe și municipii în care TEHNİUM "nu vine". În epoca "de tristă amintire", difuzarea unei publicații se facea în baza unui amplu studiu de piață (de marketing, cum i se zice acum, dacă ar exista). Dar acum, numai Dumnezeu știe cum s-o fi făcând. De vreme ce, de pildă, o altă revistă cunoscută, până de curând – deși difuzată în mai toată țara – nu era oferită spre vânzare în două secțoare ale Capitalei!

Alexandru Mărculescu

SUMAR

| | |
|---------------------------------------------------|------------|
| CONSTRUCȚORUL ÎNCEPĂTOR | pag. 4-11 |
| Comparatoare de tensiune | |
| Experiment | |
| Scurtă pledoarie pentru constructorul amator | |
| TEHNİUM PC | pag. 12-14 |
| Inițiere și asamblare PC | |
| Setări de bios | |
| LABORATOR | pag. 15-17 |
| Multiplicatoare de frecvență cu diode varactor | |
| CONSTRUCȚIA NUMĂRULUI | pag. 18-20 |
| Sistem de alarmă prin telefonul mobil | |
| HI-FI | pag. 21-33 |
| Înregistrarea și redarea magnetică | |
| a semnalelor audio | |
| Incinta acustică cu horn – ceva perimat? | |
| Îmbunătățirea performanțelor casetofonului | |
| LA CEREREA CITITORILOR | pag. 34-42 |
| Tuburile catodice OR/100/2 (B 10 S1) | |
| Cititorii întrebă – specialiștii răspund | |
| Stabilizator variabil de înaltă tensiune | |
| CITITORII RECOMANDĂ | pag. 43-51 |
| Eu și TEHNİUM | |
| Din nou despre refolosirea tuburilor fluorescente | |
| Jocuri de lumini pentru bradul de Crăciun | |
| Adaptor ohmimetru bifuncțional | |
| Construiți-vă singuri patine | |
| RADIOAMATORISM | pag. 52-54 |
| Radioreceptor pentru 3,5 și 7 MHz | |
| Frecvențmetru 30 MHz | |
| TEHNİUM MODELISM | pag. 55-66 |
| Variotor – inversor de turărie | |
| Utilizarea cristalelor de cuart | |
| în stații de telecomandă | |
| Descărcarea controlată a acumulatorilor Ni-Cd | |
| Comanda a două relee tot sau nimic | |
| pe un singur canal | |
| în stației digital-proportionale | |

TEHNİUM

Revistă pentru constructorii amatori
Fondată în anul 1970
Anul XXXIV, nr. 357, iunie 2005

Editor
SC Presa Națională SA
Piața Presei Libere nr. 1, București
Căsuța Poștală 11, București – 33

Redactor-șef: fiz. Alexandru Mărculescu
Secretariat - macheta artistică: Ion Ivașcu

Redacția: Piața Presei Libere nr. 1,
Casa Presei Corp C, etaj 1, camera 121
Telefon: 224.21.02; 224.38.22 Fax: 222.48.32
E-mail: presanalionala@yahoo.com

Abonamente
La orice oficiu poștal (Nr. 4120 din Catalogul Presei Române)

DTP: Clementina Geambașu

Editorul și redacția își declină orice responsabilitate
în privința opinioilor, recomandărilor și soluțiilor formulate
în revistă, aceasta revenind integral autorilor.

ISSN 1224-5925

© Toate drepturile rezervate.

Reproducerea integrală sau parțială este cu desăvârșire
interzisă în absența aprobării scrisă prealabilă a editorului.

Tiparul Romprint SA

Abonamentele la revista „Tehnium” se pot face și la sediul
SC PRESA NAȚIONALĂ SA, Piața Presei Libere nr. 1,
sector 1, București, oficiu poștal nr. 33. Relații suplimentare
la telefoanele: 317.91.23; 317.91.28 FAX 222.48.32

Cititorii din străinătate se pot abona prin S.C. Rodipet S.A.,
cu sediul în Piața Presei Libere nr. 1, Corp B, Sector 1, București,
România, la P.O. Box 33-57, la fax 0040-21-2224.05.58
sau e-mail: abonamente@rodipet.ro; subscriptions@rodipet.ro sau
on-line la adresa www.rodipet.ro

COMPARATOARELE

de TENSIUNE

Aplicații în miniautomatizări

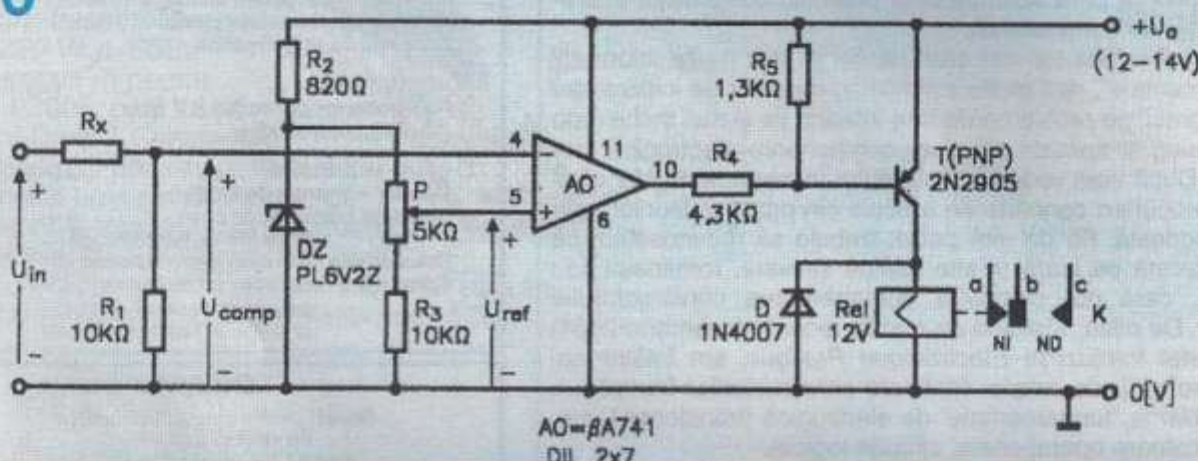
Pagini realizate de fiz. ALEXANDRU MĂRCULESCU

(Urmare din nr. trecut)

În continuare vom trece direct la analizarea unor montaje practice de miniautomatizare, luând pe rând diverse mărimi fizice drept parametru de comandă. Pentru că ne vom referi ades la prima parte a articolului, în care am sintetizat unele noțiuni și principii implicate în

limitele permise la intrările amplificatorului operațional. Practic, este suficient să ne asigurăm că fracțiunea U_{comp} este în permanență mai mică decât tensiunea (unică) de alimentare a operaționalului, U_a . Dacă avem de a face cu o tensiune alternativă, aceasta va trebui să fie în prealabil redresată, cu filtrare foarte bună, după care se procedează și aici, la nevoie, la o divizare corespunzătoare.

10



abordarea unor astfel de montaje, recomandăm constructorilor începători să-și procure acel prim "episod" al serialului nostru (TEHNIUM nr. 1/2005, pag. 4-9).

Miniautomatizări comandate de tensiune electrică

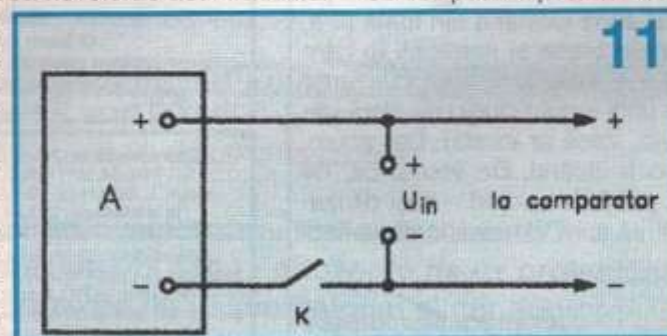
Am ales intenționat această primă categorie de miniautomatizări, deoarece este cea mai simplă posibilă și, ca atare, permite începătorului să-și concentreze atenția mai bine asupra blocului comparator de tensiune (vezi figura 3 din nr. trecut). Într-adevăr, parametrul de comandă fiind acum chiar o tensiune electrică, schema comparatorului nu va mai avea nevoie de acel traductor specific R_{trad} pentru generarea tensiunii de comparație U_{comp} . Dacă avem de-a face cu o tensiune continuă, singura problemă va fi, eventual, să o divizăm (reducem) corespunzător în prealabil, desigur, într-un raport precis determinat, astfel încât fracțiunea U_{comp} preluată din ea să se încadreze în

punzătoare. Evident, la stabilirea pragului de comutare dorit se va ține cont de raportul de divizare și, în cazul tensiunilor alternative, de relația dintre valoarea eficace și valoarea de vârf (sau maximă) care se obține prin redresare plus filtrare.

Exemplul nr. 1: Actionare comandată de un prag superior de tensiune continuă

În figura 10 este dat un exemplu clasic de comutator electronic comandat de un *prag superior* de tensiune continuă. Pentru experimentarea lui comodă se va folosi modulul recomandat în figura 5 (vezi nr. trecut), la care se vor păstra și cele două LED-uri indicatoare de stare (ele nu mai apar în figura 10, pentru simplificare). În rest, nu trebuie decât să reconfigurăm și să dimenziunăm adekvat cele două divizoare care furnizează tensiunile U_{comp} și U_{ref} ce se aplică la intrările operaționalului.

Tensiunea continuă care joacă rolul de parametru de comandă am notat-o cu



Uin. Evident, ea este presupusă variabilă într-o plajă oarecare, cunoscută. Rolul montajului din figura 10 este de a actiona releul Rel (comutare din starea eliberat în starea anclansat) atunci când tensiunea Uin, crescând, atinge o anumită valoare prestabilă de prag, Uinp; invers, când Uin este mai mare decât Uinp, la scăderea ei până la valoarea de prag se va produce bascularea releeului din starea anclansat în starea eliberat.

Pentru a "transforma" acest montaj în miniautomatizare, nu ne mai rămâne decât să folosim una din perechile de contacte k ale releeului (a-b, normal închisă, sau b-c, normal deschisă) pentru a comanda automat, la atingerea pragului Uinp dintr-un sens sau altul, pornirea sau oprirea unui consumator alimentat cu tensiunea Uin, de exemplu. Acest caz este dat schematic în figura 11, unde comutatorul K va fi materializat prin perechea aleasă din contactele k ale releeului. Consumatorul electric A poate fi, de pildă, un aparat pretențios (și scump) despre care știm că nu avem voie să-l alimentăm cu tensiune Uin mai mare decât valoarea de prag Uinp. Un caz particular l-ar putea reprezenta un voltmetru de tensiune continuă, căruia dorim să-i deconectăm de la borne tensiunea de măsurat Uin atunci când aceasta depășește domeniul de măsurare selectat. În acest caz, însă, divizorul Rx-R1 va trebui să aibă rezistențe foarte mari.

Pentru a urmări mai ușor modul de calcul în dimensionarea celor două divizoare de intrare, să considerăm exemplul concret:

$$\begin{aligned} U_{in} &= \text{tensiune continuă variabilă în plaja } 20 \text{ V} \div 30 \text{ V}; \\ U_{inp} &= \text{tensiunea de prag (maxim admisă)} = 25 \text{ V}. \end{aligned}$$

Tensiunea Uin fiind suficient de mare, putem alege valoarea tensiunii de referință Uref = 5 V. Aceasta se obține cu ajutorul celulei de stabilizare alcătuită din R2, DZ, P și R3. Reglajul ei la valoarea exactă de 5 V se face din potențiometrul P (eventual un trimer), iar măsurarea ei, pe parcursul reglajelor, se va face cu un voltmetru de tensiune continuă având rezistență internă de cel puțin 1 MΩ.

Pentru aplicații de precizie, dioda Zenner va fi selecționată (din serile de 5,6 V; 6,2 V; 6,8 V) pentru o variație cât mai mică a tensiunii Uz în plaja tensiunii de alimentare Ua, de ordinul a maximum 0,05 V. La nevoie se poate proceda la o stabilizare dublă în cascadă, așa cum se arată în figura 12.

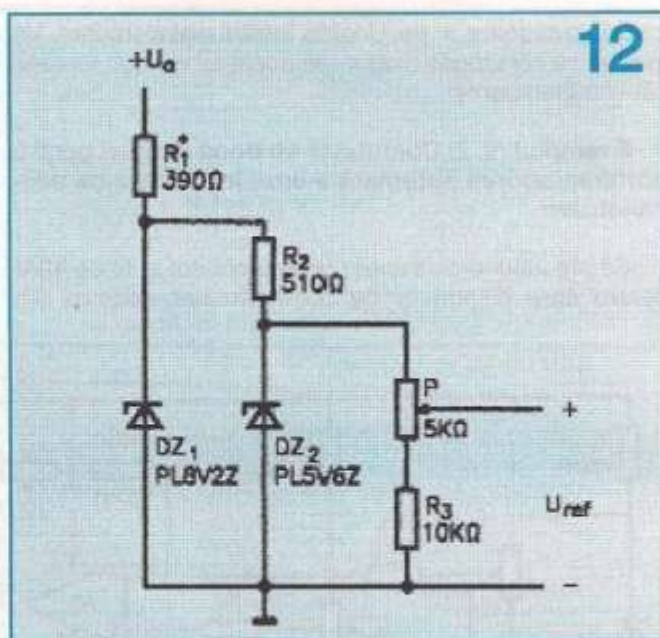
Pentru a dimensiona divizorul Rx, R1 care va furniza fracțiunea Ucomp din tensiunea "supravegheată" Uin, să observăm întâi că această fracție are valoarea:

$$U_{comp} = U_{in} \frac{R_1}{(R_1 + R_x)} \quad (5)$$

Deci, R1 și Rx fiind fixe, Ucomp va fi proporțională cu valorile instantanee ale lui Uin.

În al doilea rând, trebuie să avem grijă ca valoarea maximă posibilă a lui Ucomp, rezultată atunci când Uin atinge valoarea maximă a sa, să fie mai mică decât tensiunea Ua de alimentare a montajului, condiție impusă de operationalul AO.

În exemplul nostru numeric, deoarece am ales deja Uref = 5 V, iar



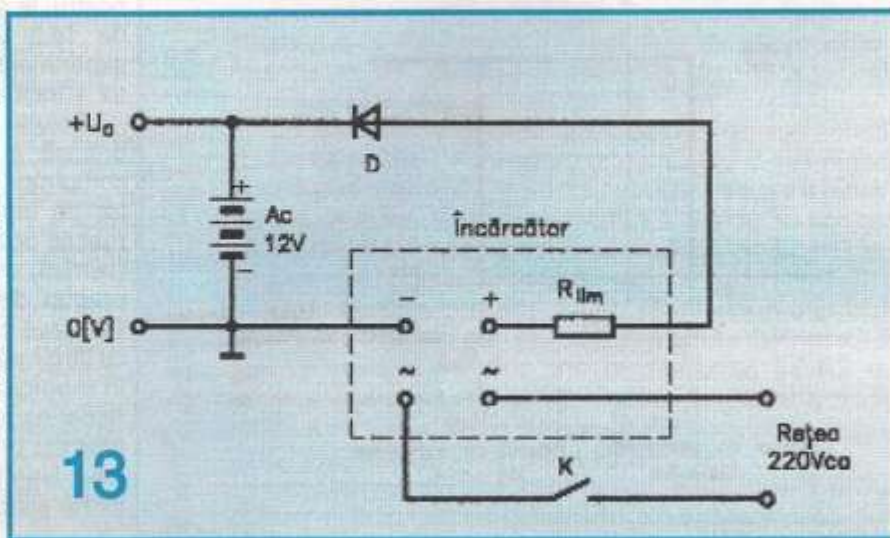
valoarea de prag a lui Uin am stabilit-o la Uinp = 25 V, pentru situația la pragul de basculare, când Ucomp = Ucomp p = Uref = 5 V, relația precedentă se scrie: $U_{comp\ p} = 5 \text{ V} = U_{in} \frac{R_1}{(R_1 + R_x)} = 25 \text{ V} \frac{R_1}{(R_1 + R_x)}$ (6) de unde obținem ușor $R_x = 4R_1$.

Dacă luăm, așa cum se arată în figura 10, $R_1 = 10 \text{ k}\Omega$, va rezulta $R_x = 40 \text{ k}\Omega$. Se subînțelege că vom folosi pentru Rx și R1 rezistențe de precizie (1%).

Cu această alegere, valoarea maximă a lui Ucomp va fi de 6 V (vă invit să verificați singuri), deci condiția menționată mai sus este îndeplinită.

Așadar, în raport cu tensiunea Uin "supravegheată", pragul de comutare va fi Uinp = 25 V. Pentru Uin < 25 V, tensiunea Ucomp va fi mai mică decât Uref = 5 V, ieșirea operaționalului va fi în stare de saturare sus, tranzistorul T va fi blocat, iar releul Rel în repaus. La atingerea (depășirea ușoară a) pragului Uinp = 25 V, tensiunea Ucomp o depășește pe Uref, ieșirea AO basculează în stare de saturare jos, iar releul Rel anclansează.

Pentru a inversa această logică de comandă, deci pentru a trece de la prag superior de tensiune la prag inferior, este suficient să inversăm între ele intrările amplificatorului operational, adică să aplicăm pe Uref



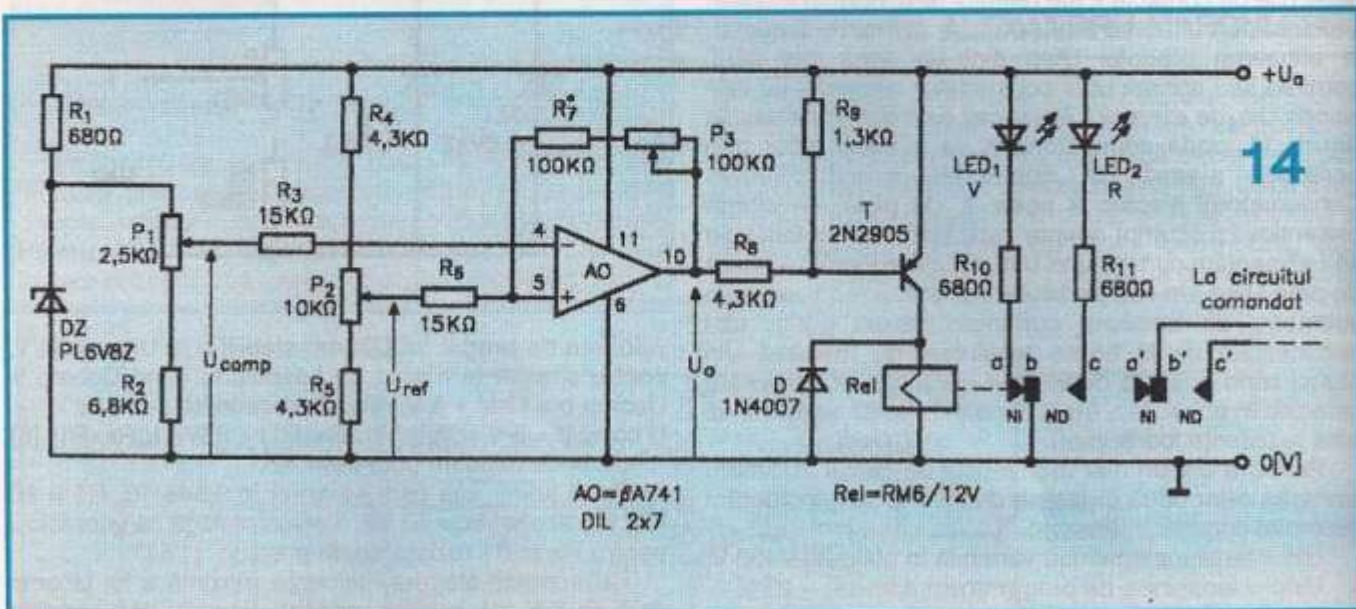
intrării inversoare și pe Ucomp intrării neinversoare. Vă invit să vă convingeți singuri de acest lucru, atât teoretic cât și experimental.

Exemplul nr. 2: Comutator cu două praguri pentru pornirea/oprirea automată a unui încărcător de acumulatoare

Să presupunem că avem un acumulator auto de 12 V, pentru care disponem de un încărcător adecvat (ca

latorului a scăzut până la un anumit prag minim, U_{am} , și, respectiv, de a întrerupe încărcarea atunci când U_a a crescut până la un prag maxim, U_{am} . În acest fel, tensiunea U_a de la bornele acumulatorului va fi menținută permanentă în intervalul $U_{am} - U_{am}$, cele două praguri fiind alese de noi în funcție de exemplarul concret de acumulator și de condițiile de încărcare folosite (tensiune, curent).

O alegere convenabilă este $U_{am} = 12,5$ V și $U_{am} = 14,5$ V, pe care o vom lua și noi în considerare în cele ce

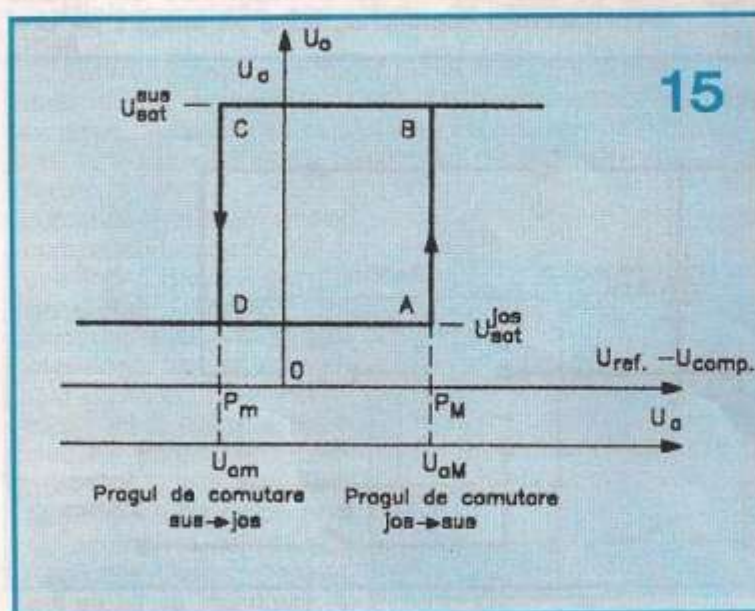


tensiune, curent, limitare de protecție), dar fără decuplare automată la atingerea pragului maxim de încărcare. Pentru a intercală în montaj un bloc separat de pornire/oprire automată, cel mai comod este să operăm în circuitul de alimentare de la rețea a încărcătorului, așa cum se arată în figura 13. Evident, comutatorul K_1 îl vom înlocui printr-o pereche de contacte k ale unui releu Rel, care la rândul său va fi comandat de către circuitul de automatizare propus.

Scopul urmărit este de a comanda automat pornirea încărcătorului atunci când tensiunea la bornele acu-

sumează. În legătură cu pragul superior U_{am} se impune însă o precizare. Așa cum este de așteptat, noi vom folosi pentru alimentarea montajului de automatizare chiar tensiunea U_a de la bornele acumulatorului. Atunci când încărcarea este deconectată, U_a reprezintă efectiv tensiunea acumulatorului, dar când încărcarea este pornită, U_a va fi ceva mai mare decât tensiunea propriu-zisă a acumulatorului, ținând cont de efectul intern al curentului de încărcare. Nu intrăm aici în detaliu, preferând să discutăm acest aspect într-un articol separat, ci doar pomenim acest fenomen (adesorți neglijat sau ignorat), care s-ar putea să ne conducă, pentru a asigura o încărcare completă a acumulatorului nostru, la alegerea unui prag U_{am} ceva mai mare de 14,5 V, desigur, în urma unor măsurători experimentale cu respectivul ansamblu acumulator + încărcător.

Soluția aleasă pentru realizarea comodă și precisă a scopului propus este folosirea unui comutator electronic având la bază un comparator de tensiune cu AO, căruia îl vom aplica o reacție pozitivă pentru "despicarea" pragului unic (comun) de basculare sus-jos și jos-sus în două praguri distincte. Prin dozarea reacției pozitive vom face ca histerezisul astfel rezultat să coincidă cu lărgimea plajei preconizate de variație a lui U_a , în exemplul considerat de 2 V (= 14,5 V - 12,5 V). Astfel nu ne mai rămâne decât să "plasăm" exact unul din pragurile de basculare pe valoarea U_{am} (sau U_{am}) dorită, operație care se va efectua foarte simplu prin ajustarea tensiunii U_{ref} .



Schema montajului propus este prezentată în figura 14, iar caracteristica de transfer corespunzătoare a amplificatorului operational AO este dată în figura 15.

Pentru experimentare comodă puteți folosi modulul recomandat în figura 5, căruia îl se adaugă circuitul de reacție pozitivă R7+P3 și îl se modifică adevarat cele două divizoare de la intrările AO.

Observăm în primul rând că, deși am păstrat notațiile Ucomp și Uref, rolurile acestor tensiuni de intrare au fost inverse. Astfel, Ucomp este aici o tensiune fixă, stabilizată (ajustabilă fin cu P1), deci propriu-zis este tensiunea de referință, pe când Uref reprezintă o fracțiune din tensiunea de alimentare Ua (ajustabilă din P2), deci o tensiune proporțională (pentru o poziție fixă a cursorului lui P2) cu tensiunea "supravegheată" Ua, adică Uref este propriu-zis tensiunea de comparat.

Desigur, montajul se va alimenta în final cu tensiunea Ua a acumulatorului a cărui încărcare ne-am propus să o automatizăm. Pentru reglaje, însă, avem nevoie de o alimentare ajustabilă fin în plaja Uam – UaM, adică 12,5 V–14,5 V, sau mai acoperitor, între 12 V și 15 V. Putem folosi, de exemplu, un stabilizator de 15 Vc.c./0,5-1A, căruia îl introducem acest reglaj fin potențiometric pentru zona 12 V-15 V.

Pentru a urmări mai ușor modul de funcționare, să îndepărtem deocamdată reacția pozitivă R7+P3, de pildă deconectând provizoriu extremitatea lui R7 de la intrarea neinversoare a AO.

De asemenea, pentru a avea o bază concretă de plecare, să presupunem că am ajustat din P1 tensiunea Ucomp la valoarea Ucomp = 6,0 V, cu o deviație de cel mult 0,05 V în plaja Ua = 12 V-15 V. La nevoie se selectează exemplarul de diodă Zenner, alegând unul cu pantă caracteristicii cât mai abruptă.

Pentru început vom alimenta montajul cu valoarea mediană a tensiunii Ua, adică cu 13,5 V. Următorul pas va fi ajustarea fină a lui P2, astfel încât montajul să se afle în imediata vecinătate a pragului (unic) de basculare sus-jos și jos-sus. Evident, în această situație Uref va fi practic egală cu Ucomp = 6,0 V.

Caracteristica de ieșire a AO în acest caz – fără reacție pozitivă – va fi cea din figura 4, iar "logica" de

funcționare va fi:

Pentru $U_{ref} > U_{comp} \Rightarrow U_o = U_{sat}^{sus} \Rightarrow T = \text{blocat} \Rightarrow \text{Rel} = \text{eliberat} \Rightarrow \text{LED1(V)} = \text{aprins}$

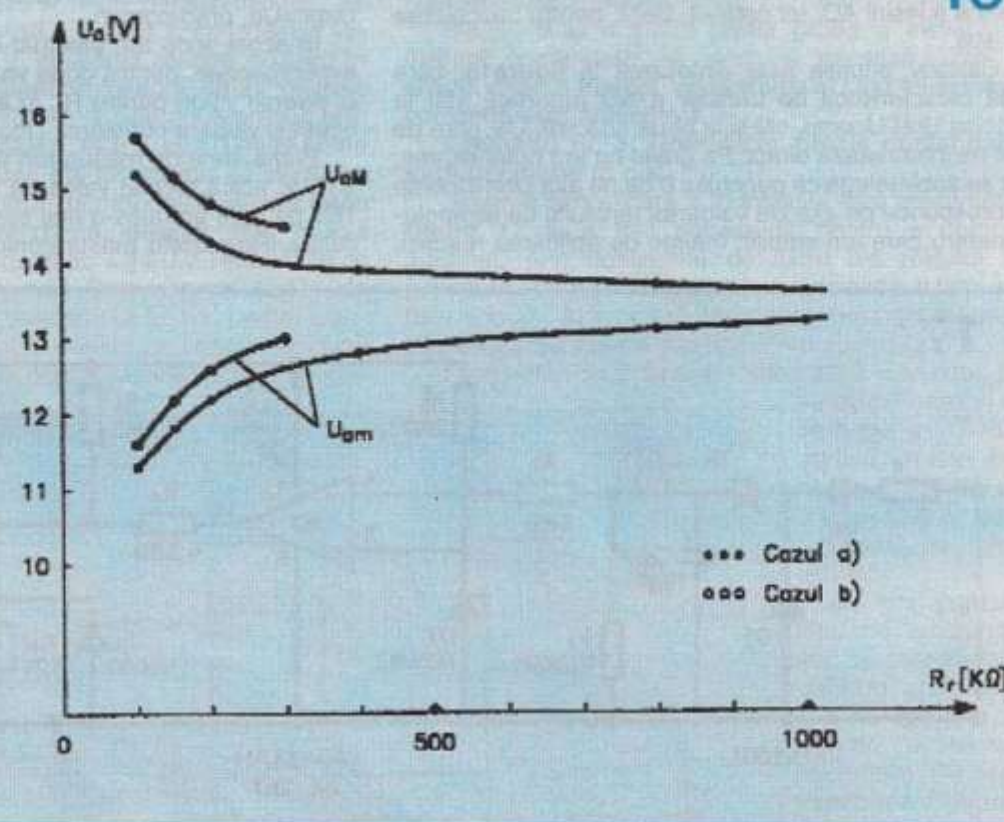
Pentru $U_{ref} < U_{comp} \Rightarrow U_o = U_{sat}^{jos} \Rightarrow P = \text{saturat} \Rightarrow \text{Rel} = \text{anclansat} \Rightarrow \text{LED2(R)} = \text{aprins}$

Judecând după valorile Uref și Ucomp, pragul de basculare este, cum spuneam, $U_{ref} = U_{comp} = 6,0$ V. Dar pe noi ne interesează pragul (respectiv, pragurile, după ce vom reintroduce reacția pozitivă) raportat/raportate la tensiunea "supravegheată" Ua. Această schimbare va permite ca în caracteristica de ieșire a AO, pe axa absciselor să nu mai avem diferența Uref – Ucomp, ca în figura 4, ci direct tensiunea Ua, ca în figura 15. Oționea este posibilă deoarece, pentru o poziție fixă a cursorului lui P2, tensiunea Uref este direct proporțională cu Ua, iar Ucomp fiind constantă, rezultă că și Uref – Ucomp este proporțională cu Ua.

Cu această translatăre, în situația de mai sus putem spune că pragul de comutare al montajului a fost reglat la valoarea mediană $U_a = 13,5$ V. Lucru pe care îl puteți verifica imediat, lăsând nemodificată poziția cursorului lui P2, dar făcând să scădă și să crească tensiunea Ua, în plaja menționată 12 V-15 V.

Suntem acum pregătiți pentru abordarea montajului propriu-zis din figura 14, adică pentru introducerea reacției pozitive R7+P3, prin reconectarea lui R7 la intrarea neinversoare a AO. Pentru simplificare, vom nota cu R_r suma dintre rezistența R7 și valoarea rezistenței inseriate a lui P3, adică $R_r = R7+P3$.

Din cele mentionate în nr. trecut (vezi figurile 7 și 8), știm cam la ce să ne așteptăm prin aplicarea reacției pozitive, și anume la "despicarea" pragului unic de bas-



culare (reglat în absența reacției pozitive) în două praguri distincte, unul notat U_{am} , pentru bascularea sus-jos a ieșirii AO, iar celălalt, U_{aM} , pentru bascularea jos-sus.

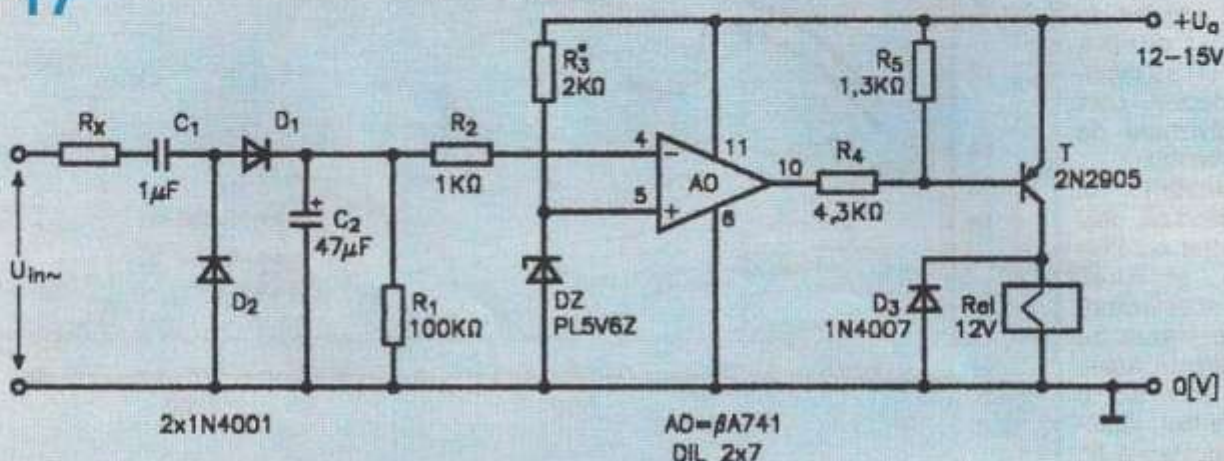
Calitativ, situația este sintetizată în figura 15, care redă caracteristica de transfer a AO raportată atât la abscisa $U_{ref}-U_{comp}$, cât și la noua abscisă, U_a , care de fapt ne interesează direct. Pe grafic nu am notat expres, dar se subînțelege că punctului 0 de pe axa $U_{ref}-U_{comp}$ îi corespunde pe axa U_a valoarea tensiunii de alimentare pentru care am stabilit, înainte de aplicarea reacției,

punzătoare pragului unic de basculare, în absența reacției pozitive ($R_r = \infty$), pe care o vom nota cu $U_{apc}=U_a$, prag-comun.

În acest scop am efectuat două serii de măsurători experimentale, pentru două valori distincte ale lui U_{apc} și diverse valori pentru R_r . În ambele cazuri am păstrat aceeași valoare constantă $U_{comp} = 6,0$ V.

Prima serie de măsurători am făcut-o pentru $U_{apc} = 13,5$ V, adică tocmai valoarea mediană a lui $U_a = 12,5$ V pe care am ales-o mai sus ca prag comun de basculare. Rezultatele măsurătorilor sunt redate în tabelul

17



egalitatea $U_{ref} = U_{comp}$, în cazul de mai sus $U_a = 13,5$ V, fostul prag comun de basculare sus-jos și jos-sus.

În aplicația propusă, însă, nu ne este suficientă cunoașterea calitativă: pentru a putea "amplasa" cât mai exact și reproductibil noile praguri U_{am} și U_{aM} pe valoarele pe care ni le-am ales la început, respectiv $U_{am} = 12,5$ V și $U_{aM} = 14,5$ V, trebuie să cunoaștem cantitativ efectele celor doi parametri de reglaj, și anume "gradul" reacției pozitive, pe care îl vom exprima prin valoarea R_r a rezistenței de reacție, și poziția cursorului lui P2, pe care o vom exprima prin valoarea tensiunii U_a cores-

1, iar reprezentarea lor grafică în figura 16, perechea de curbe mai lungi.

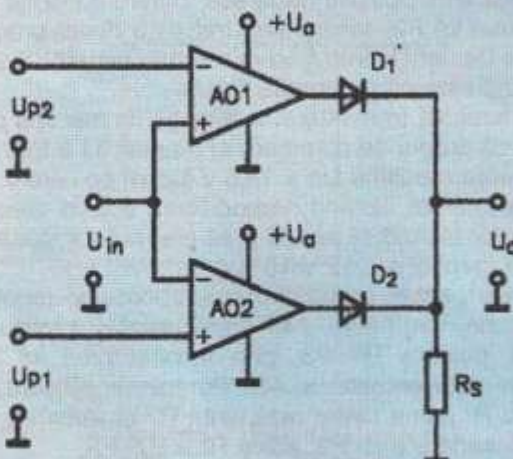
Tabelul 1: $U_{apc} = 13,5$ V

| R_r (kΩ) | Pragul de basculare sus-jos U_{am} (V) | Pragul de basculare jos-sus U_{aM} (V) |
|---------------|---------------------------------------------|---------------------------------------------|
| ∞ | 13,50 | 13,50 |
| 1.000 | 13,18 | 13,65 |
| 800 | 13,10 | 13,68 |
| 600 | 12,99 | 13,72 |
| 400 | 12,75 | 13,86 |
| 200 | 12,15 | 14,30 |
| 150 | 11,82 | 14,58 |
| 100 | 11,25 | 15,15* |

O primă constatare posibilă este aceea că ecartul (histerezisul, mai simplu, diferența) dintre pragurile U_{am} și U_{aM} este determinat biunivoc de gradul reacției pozitive, adică de valoarea rezistenței de reacție R_r . În cazul montajului propus, cu $U_{aM} = 14,5$ V și $U_{am} = 12,5$ V, deci cu un ecart $U_{aM}-U_{am} = 2$ V, putem deja aprecia din grafic că valoarea lui R_r necesară în acest scop este de circa 220 kΩ.

O a doua constatare este că, față de valoarea pragului comun, U_{apc} , noile praguri distincte U_{am} și U_{aM} nu se "amplasează" simetric, pragul minim U_{am} "coborând" mai mult sub U_{apc} decât "urcă" pragul maxim U_{aM} . Evident, această "corecție" experimentală trebuie adusă și caracteristicii de transfer reproducă "calitativ" în figura 15.

18



Nu ne-am putut opri aici cu măsurările, dintr-un motiv evident: deși plaja tensiunii noastre provizorii de alimentare, $U_a = 12 \text{ V}-15 \text{ V}$, este perfect centrată pe plaja finală dorită, $U_a = 12,5 \text{ V}-14,5 \text{ V}$, cu aceeași valoare mediană de $13,5 \text{ V}$, aplicarea reacției pozitive în gradul corespunzător histerezisului dorit, de 2V , nu ne-a condus, pentru $U_{apc} = 13,5 \text{ V}$, la cele două praguri propuse, $U_{am} = 12,5 \text{ V}$ și $U_{aM} = 14,5 \text{ V}$, așa cum se poate constata din grafic. Așadar, am fost nevoiți să efectuăm o a doua serie de măsurători, pentru o altă valoare U_{apc} puțin mai mare (inspirându-ne, desigur, din graficul precedent), anume pentru $U_{apc} = 14,0 \text{ V}$. Reamintim că aceasta înseamnă din nou întreruperea buclei de reacție pozitivă $R7+P3$, reajustarea lui $P2$, pentru $U_a = U_{apc} = 14 \text{ V}$, pentru pragul comun de basculare, după care, fără a mai umbla la poziția cursorului lui $P2$, refacerea circuitului de reacție pozitivă și abia apoi reluarea măsurătorilor lui U_{am} și U_{aM} pentru diverse valori ale lui Rr . Acum, însă, știind căm "pe unde" se va situa valoarea necesară Rr , am redus plaja investigată la intervalul $Rr = 100 \text{ k}\Omega$ - $300 \text{ k}\Omega$. Rezultatele măsurătorilor experimentale sunt date în tabelul 2, iar reprezentarea lor grafică în figura 16, perechea de curbe mai scurte.

Tabelul 2: $U_{apc} = 14,0 \text{ V}$

| $Rr (\text{k}\Omega)$ | $U_{am} (\text{V})$ | $U_{aM} (\text{V})$ |
|-----------------------|---------------------|---------------------|
| 300 | 12,96 | 14,56 |
| 200 | 12,57 | 14,83 |
| 150 | 12,17 | 15,15* |
| 100 | 11,53 | 15,68* |

* Pentru efectuarea acestor măsurători s-a extins plaja de variație a sursei U_a de alimentare la 16 V .

Analizând noua situație, constatăm că ne-am apropiat de soluția dorită, deși încă nu am "căzut" exact pe limitele propuse. Oricum, acum știm precis că valoarea Rr necesară va fi în jur de $200-250 \text{ k}\Omega$, iar pragul inițial U_{apc} va trebui să fie reglat în jurul valorii de 14 V . Așadar, valoarea lui $R7$ din figura 14 va fi crescută la $150 \text{ k}\Omega$, iar restul nu înseamnă decât tatonări experimentale, prin manevrarea succesivă fină a lui $P2$ și $P3$, până "cădem" exact pe pragurile dorite, $U_{am} = 12,5 \text{ V}$ și $U_{aM} = 14,5 \text{ V}$. În această fază de tatonare ne ajută mult aprinderea și stingerea celor două LED-uri, care, prin logica mentionată, semnalizează starea circuitului.

În final, după atingerea suficient de precisă a pragurilor U_{am} și U_{aM} preconizate, alimentarea montajului se va trece pe tensiunea acumulatorului a cărui încărcare dorim să o automatizăm. Evident, cu logica

prezentată, vom folosi o pereche de contacte normal deschise ale releului Rel (b'-c', din figura 14), în locul comutatorului K din figura 13.

Revenind la această primă grupă a miniautomatizărilor comandate de tensiune electrică, vom mai aminti, doar în treacăt, un exemplu în care tensiunea de comandă este alternativă.

Exemplul nr. 3: Comutator precis comandat de supratensiune în c.a.

Schela simplificată a montajului este prezentată în figura 17 și a fost concepută pentru a comanda automat, prin contactele de lucru ale releului Rel, acționarea unui consumator dorit – de pildă, a unui avertizor sonor – în momentul în care tensiunea alternativă U_{in} atinge/depășește foarte puțin pragul de $2,5 \text{ V}$.

Fiind vorba de o tensiune alternativă – pe care, pentru simplificare, o vom presupune sinusoidală – este firesc ca tensiunea de prag $U_{inp} = 2,5 \text{ V}$ să fie exprimată ca valoare eficace.

Evident, comparatorul de tensiune cu AO, pe care vrem să-l utilizăm și în acest caz, nu acceptă drept U_{comp} o tensiune alternativă. De aceea, tensiunea "supravegheată" U_{in} a fost în prealabil redresată, cu foarte bună filtrare, prin grupul C1, D1, D2, C2, care reprezintă, de fapt, un dublu de tensiune. Tensiunea continuă rezultată, care pentru $Rx = 0$ va fi egală cu aproximativ dublul valorii de vârf a lui U_{in} , este aplicată prin $R2$ întrării inversoare a AO. Întrării neinversoare a AO i se aplică tensiunea $U_{ref} = 5,6 \text{ V}$, dată de divizorul (celula de stabilizare) R3-DZ. Rezistența $R1$ este necesară pentru prepolarizarea diodei D1, știut fiind că AO are impedanță foarte mare pe intrări, respectiv pe intrarea inversoare.

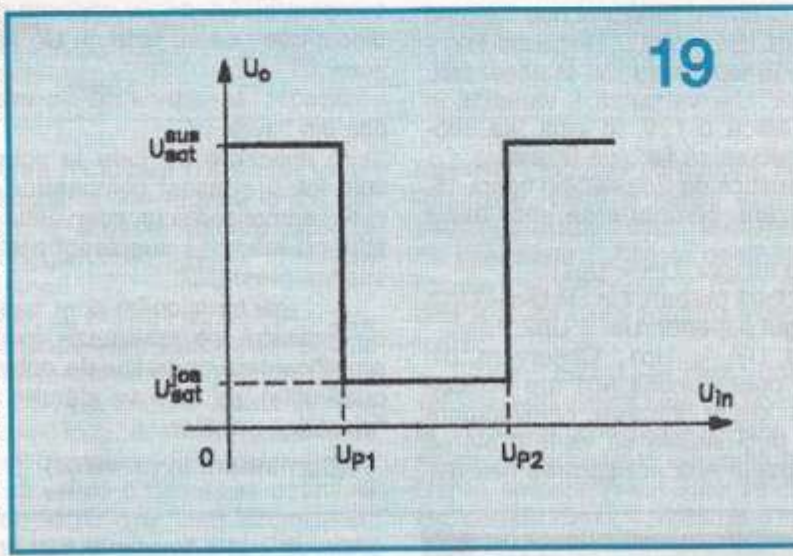
Pentru $Rx = 0$, această configurație prezintă pe intrarea inversoare o impedanță de intrare de cca $Z_{in} = 15 \text{ k}\Omega$, tensiunea de prag fiind, cum spuneam, în valoare eficace, de cca $U_{inp} = 2,5 \text{ V}$.

Pentru alte tensiuni de prag dorite se va ține cont de faptul că Rx formează împreună cu Z_{in} un divizor de tensiune, unde Z_{in} corespunde unei "sensibilități" de cca $15 \text{ k}\Omega/2,5 \text{ V} = 6 \text{ k}\Omega/\text{V}$. Așadar, vom alege pe Rx pe baza relației aproximative:

$$Rx = U_{inp}(6 \text{ k}\Omega/\text{V}) - 15 \text{ k}\Omega \quad (7)$$

Evident, montajul precedent poate fi transpus pentru prag inferior de tensiune, prin simpla inversare între ele a celor două intrări ale amplificatorului operational.

În încheierea acestui capitol vă prezentăm pe scurt un alt tip de comparator de tensiune, denumit sugestiv *comparatorul cu fereastră*. Schela lui de principiu este dată în figura 18, iar caracteristica de transfer în figura 19.



Observăm că acest montaj folosește două amplificatoare operaționale, A01 și A02, ale căror ieșiri sunt "însumate" cu ajutorul diodelor D1 și D2, rezultând astfel tensiunea de ieșire U_o a comparatorului. Intrările celor două operaționale sunt polarizate de către două tensiuni continue fixe, Up1 ($In+/A02$) și Up2 ($In-/A01$), cu $Up1 < Up2$, care vor reprezenta cele două praguri de tensiune ce delimităază "fereastra" comparatorului, precum și de tensiunea continuă variabilă U_{in} ($In+/A01$ și $In-/A02$), care reprezintă parametrul de comandă, respectiv tensiunea "supravegheată". Montajul fiind cu alimentare unică, toate aceste tensiuni vor fi pozitive în raport cu masa (la care este conectat minusul tensiunii de alimentare U_a) și, bineînteles, vor fi obligatoriu mai mici sau cel mult egale cu tensiunea de alimentare U_a .

De exemplu, să presupunem că alimentăm montajul cu $U_a = 12V$ și am ales $Up1 = 6V$; $Up2 = 8V$. Cele două tensiuni de referință (6V și 8V) le putem obține folosind două celule de stabilizare ($R_1 + DZ_1$, respectiv $R_2 + DZ_2$) alimentate chiar de la tensiunea U_a . În acest caz, tensiunea "supravegheată" U_{in} va putea fi variabilă în intervalul maxim 0-U_a, adică 0-12V. În plus, se subînțelege, tensiunea U_{in} trebuie să fie bine filtrată.

Pentru a trasa caracteristica de transfer din figura 18, este suficient să analizăm comportarea montajului atunci când:

U_{in} se află sub pragul inferior, $U_{in} < Up1$;

U_{in} se află între cele două praguri, $Up1 < U_{in} < Up2$;

U_{in} se află peste pragul superior, $U_{in} > Up2$.

Să luăm întâi cazul $U_{in} < Up1$. Observăm din schemă că în acest caz operaționalul A01 are intrarea inversoare mai pozitivă decât intrarea neinversoare (deoarece $Up1 < Up2$), deci ieșirea sa va fi în starea U_{os} . În schimb, operaționalul A02 are intrarea neinver-

soare mai pozitivă decât cea inversoare, deci ieșirea sa va fi în starea U_{sat}^+ , tensiune ce se va regăsi la ieșirea comparatorului (minus căderea de tensiune în direct pe dioda D2, deschisă). Aceasta face ca dioda D1 să rămână blocată, având în catod un potențial mai pozitiv decât în anod.

În cazul $U_{in} > Up2$ lucrurile se petrec similar, cu deosebirea că acum A01 va avea ieșirea în starea de saturare sus, iar A02 – în starea de saturare jos, tensiunea U_o la ieșirea comparatorului fiind deci tot U_{sat}^+ , prin dioda D1, deschisă.

În fine, atunci când U_{in} se află în "fereastra" de tensiune, deci când $Up1 < U_{in} < Up2$, observăm că ambele operaționale au intrarea inversoare mai pozitivă decât intrarea neinversoare, deci ieșirile lor sunt ambele în starea U_{os} , tensiune pe care o vom regăsi la ieșirea comparatorului, minus căderea de tensiune în direct pe diode, ceea ce va face ca U_o să fie foarte aproape de zero.

Așadar, caracteristica de transfer este, într-adevăr, cea din figura 18.

În aplicațiile pe care le vom analiza în continuare vom folosi și acest comparator cu fereastră, care permite semnalizarea (și intervenția automată dorită) a faptului că mărimea supravegheată "iese" din cadrul unui interval prestabilit.

Aici mai menționăm doar faptul că acest comparator cu fereastră se realizează mult mai comod utilizând amplificatoare operaționale duble (sau "jumătăți" de AO quadruple), pe care vă sfătuim să le procurați până la "episodul" următor.

(Continuare în nr. viitor)

EXPERIMENT

Fiz. ALEXANDRU MĂRCULESCU

Articolul de față reprezintă o "provocare", o invitație la meditație adresată constructorilor amatori și automobilistilor amatori care, încărcându-și în casă acumulatorul auto – mai ales cu ajutorul unor încărcătoare "moderne", cu decuplare automată – au avut deseori surpriza neplăcută să constate că încărcarea nu a fost suficient de bună.

Pentru concretizare, mă voi referi în continuare la acumulatoarele cu plumb – acid sulfuric, de tip auto, cu tensiunea nominală de 12V și cu capacitatea în plaja de 40÷70 Ah.

Când este pus în situația de a-și încărca singur un astfel de acumulator, posesorul neinițiat citește de regulă doar prospectul acumulatorului sau, în lipsă, indicațiile sumare de pe eticheta lipită pe el. Acolo, tot de regulă, se recomandă vag ceva de genul: "A se încărca timp de 14 ore la un curent egal cu C/10, unde C este capacitatea acumulatorului în Ah".

Principial, această indicație laconică ar putea fi chiar suficientă, dar practic nici un încărcător, oricără de sofisticat ar fi, nu poate asigura – la astfel de intensități de curent, de 4÷7A – un curent de încărcare constant, nici măcar în valoare medie. Așa se face că de aici încep

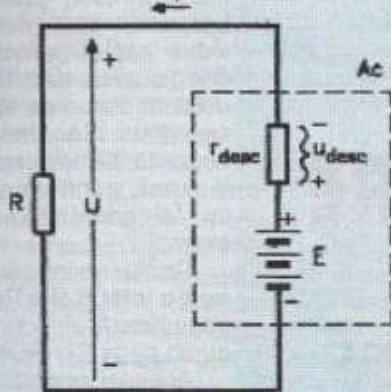
compromisurile derutante: lucrăm cu un curent de încărcare mai mic, dar căt de căt constant, mărand corespunzător timpul de încărcare; apelăm la trepte diferite de tensiune (de intensitate), pe care le comutăm succesiv în funcție de indicațiile unui ampermetru; dotăm încărcătorul cu un reglaj continuu al curentului de încărcare; apelăm la un indicator al tensiunii la borne, care să acționeze automat decuplarea încărcării la atingerea unui prag maxim prestabilit.

Toate aceste compromisuri ne conduc la una și aceeași întrebare decisivă: când oprim (manual sau automat) încărcarea, asigurați fiind că încărcarea este (suficient de) completă, dar și că nu am depășit în mod periculos o eventuală supraîncărcare?

Teoria "clasică" spune că un acumulator cu plumb-acid sulfuric este complet încărcat atunci când tensiunea (forța) electromotoare per element atinge 2,2÷2,3V (există variații cu temperatura, ca și variații individuale de la un exemplar la altul), deci când tensiunea electromotoare la bornele acumulatorului nostru "de 12V", având sase elementi, atinge 13,2÷13,8V.

Aceeași teorie "clasică" ne atrage însă atenția că starea reală de încărcare a unui acumulator nu poate fi apreciată corect decât prin măsurarea densității acidului sulfuric din interior. De ce? Pentru că, în starea de exploatare (debitare de curent pe o rezistență externă de sarcină), tensiunea la bornele acumulatorului scade – conform legii lui Ohm – dar nu scade proporțional cu scăderea capacitatii înmagazinate: de la 2,2÷2,3V per

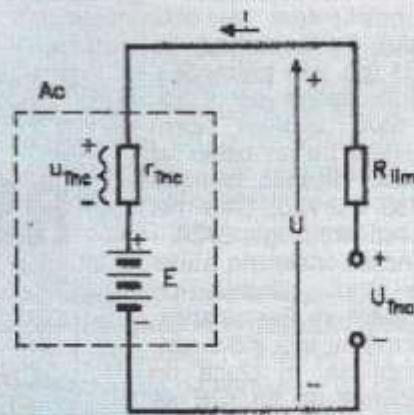
1



$$E = U + U_{desc} = (R + r_{desc}) \cdot i$$

$$U = E - r_{desc} \cdot i$$

2



$$U = E + U_{inc}$$

$$U = E + r_{inc} \cdot i$$

element, după întreruperea încărcării complete, tensiunea per element în sarcină scade repede la 2V, dar apoi rămâne aproximativ la această valoare până la descărcarea aproape completă a energiei (chimice) înmagazinate în acumulator.

Dar, cine mai stă astăzi să extragă cu pompă densimetruului acid din elementii acumulatorului? Soluția modernă o reprezintă monitorizarea evoluției tensiunii la bornele acumulatorului. Dar, pentru a o aplica în mod corect, trebuie să definim întâi această tensiune la borne. Lucru care pe mulți constructori amatori neinițiați îl încurcă, pentru faptul că există o deosebire esențială între cele două stări "de lucru" ale unui acumulator: *starea de exploatare*, de regulă bine cunoscută, când acumulatorul debitează un curent de intensitate I printr-o

rezistență externă de sarcină R și, respectiv, *starea de încărcare*, când o sursă externă de tensiune U debitează prin acumulator un curent continuu de încărcare de intensitate I. Aceste două stări sunt reprezentate în figurile 1 și, respectiv, 2, unde sunt menționate și expresiile legii lui Ohm (pentru întregul circuit) corespunzătoare.

Cititorul avizat știe deja unde "batem", căci a observat diferența dintre cele două expresii ale tensiunii U de la bornele acumulatorului. Până la numărul viitor sperăm să sesizeze această diferență toți cei interesați de problemă, iar dacă vreun cititor va dori să continue (bineînțeles, corect) ideea, contribuția îi va fi publicată în paralel.

(Continuare în nr. viitor)

Scurtă pledoarie pentru constructorul amator

Ing. AURELIAN MATEESCU

care ar trebui să fie formatori de opinie în domeniile respective. Personal, pentru mine sunt dezamăgitoare, limitându-se doar la prezentarea aiuritoare a unor produse comerciale, cele mai multe nefiind disponibile pe piața noastră! Lăsând la o parte aspectul pur comercial care stă la baza apariției lor, totuși, nu pot face un pas către consumatorul și constructorul amator român? Reclama e sufletul comerțului și suportul existenței acestor reviste, dar hobbiștii domeniului ajung, mai devreme sau mai târziu, cumpărători pe piață pentru care luptă aceste publicații! Nu îi ignorați, domnilor editori!

(Urmare din nr.trecut)

In principiu (dar nu este obligatoriu) hard disk-ul se pune IDE1 (pe MA și sau SL), iar unitățile optice pe IDE2. Aceste hard disk-uri, care transferă date pe un cablu lat tip panglică, folosesc tehnologia ATA (33, 66, 100). Cele mai noi folosesc tehnologia SATA – serial ATA, iar cablul de transfer este unul cilindric, cu diametru sub 1cm. Pentru acestea din urmă nu mai avem astfel de conflicte. În placa de bază, cablurile de tip IDE se introduc în locurile speciale, notate cu IDE1 sau IDE2, astfel încât firul însemnat, situat la una din extremitățile panglicii,

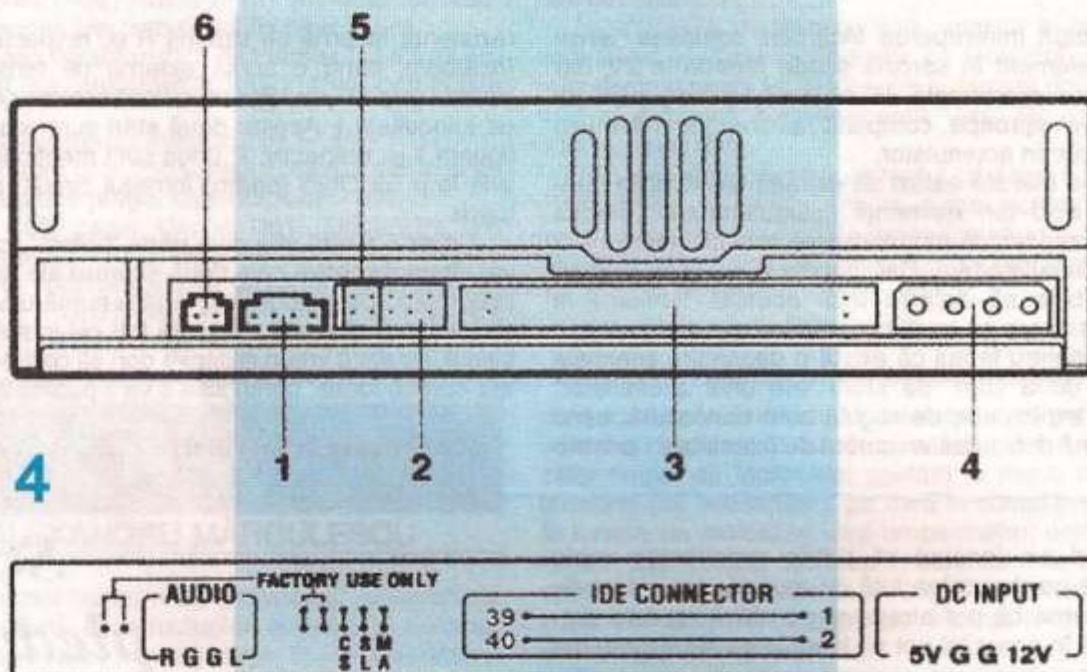
INIȚIERE 'SI ASAMBLARE PC

CIPRIAN ADRIAN STOICA
ELENA IULIANA ANGHEL

introducerea pe verticală a plăcii în slot, printr-o ușoară apăsare, atât pentru placa video cât și pentru orice altă componentă, care trebuie introdusă în sloturi de tip PCI, AGP sau chiar ISA. Unele plăci pot necesita alimentare directă de la sursă, printr-un cablu identic cu cel pentru CD-ROM, spre exemplu.

Similar se introduce și placa audio într-un slot PCI. La ea se conectează optional și cablul audio de la CD-ROM.

Aceeași operațiune se execută și cu alte componente, cum sunt: **modemul**, **placa de rețea**, care poate fi prevăzută cu opțiunea wake-on-lan.



(1): mufă pentru cablu audio
(2): loc pentru setarea jumperilor
(3): conector IDE

(4): mufă alimentare 5V/12V
(5), (6): optional pentru setări în fabrică

să fie în partea în care este indicat pe placa de bază (prin însemnarea unuia din colțurile dreptunghiului aferente lui IDE1 sau IDE2). Similar se montează și cablul pentru floppy-disk tot cu firul însemnat în colțul indicat pe placă. Partea care are câteva fire separate și întoarse invers se conectează către floppy-disk. Ca o regulă, atunci când nu există marcaje la hard disk și CD-ROM, legarea IDE-lui și a cablului de alimentare se face cu firul marcat, respectiv cu firul roșu (de 5V) unul spre celălalt (către interior), iar la floppy este invers (adică cele două cabluri mai sus menționate se montează către exterior, opus unul față de celălalt).

Se poate conecta mai apoi **placa video**, în slotul AGP, sau PCI la cele mai vechi. Conectarea se face prin

(„trezire în rețea”), caz în care cablul aferent acestei opțiuni se montează în locul special de pe placă de bază (dacă există).

Dacă avem o carcăsa prevăzută cu **senzori de temperatură**, se vor monta și aceștia în locurile dorite, fără a stingheri unele componente, cum este cazul procesorului, acesta nici măcar nu necesită aşa ceva, fiind monitorizat prin placă de bază. Oricum, acești senzori nu sunt o soluție strălucită, iar la anumite intervale de timp va trebui să îi fixați iar pentru că se desprind. Doar din pură curiozitate, se pot fixa spre exemplu pe partea superioară a hard disk-ului (nici într-un caz pe partea cu electronică, cel mult pe lateral), pe sursa de alimentare etc.

Pentru carcusele care au porturi USB pe panoul frontal, acestea se vor conecta cu mare grijă, funcție de arhitectura fiecărei plăci de bază în parte, în locurile speciale pentru USB-uri suplimentare de pe placă. Sunt situații când cele 4 fire ale USB-ului sunt separate, pentru a realiza mai ușor combinația necesară pe placă; în acest caz trebuie o atenție sporită.

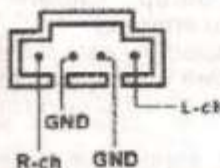
Alte facilități existente, ca pini pe placă de bază, precum portul IR, cel pentru jocuri etc., se configuraază simplu, urmând instrucțiunile specifice fiecărui model.

Problema setării jumper-ilor (jumper-ul este o bucată de plastic paralelipipedică, cu dimensiuni aproximative de 6x4x2 mm, care conține o lamelă metalică în interior; el se conectează peste doi pini de pe placă – fie ea de bază sau oricare alta, prevăzută cu setări prin jump-eri – care închid un alt circuit și implicit modifică modul de funcționare al acesteia) nu o voi trata foarte mult, dat fiind faptul că plăcile de bază mai noi sunt realizate după conceptul jumperless (adică fără jumperi), iar la cele care chiar prezintă aşa ceva, aceştia se vor seta cu manualul de utilizare în mână. Dat fiind faptul că este vorba de închiderea unor circuite, această operație nu trebuie făcută în necunoștință de cauză. În cele mai multe cazuri setările implicate cu care este livrată placă funcționează bine. La cele fără jumperi, setările necesare se fac din BIOS.

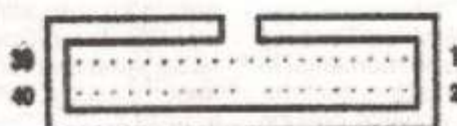
Setările de BIOS minime ce trebuie avute în vedere la terminarea asamblării sunt legate de detectarea automată a unităților pe cele două magistrele de tip IDE1,2(MA și SL), opțiunea cea mai simplă aici este AUTO, apoi se alege o secvență de boot-are (înțiere, pornire a sistemului) de tipul A:C:SCSI sau CD-ROM,C:A, acestea fiind cele mai uzuale. În prima situație se caută informații pentru boot-are mai întâi pe A (floppy disk), apoi pe C (prima partitură de pe hard disk) și în final la portul SCSI. În cea de-a doua situație se caută întâi pe CD-ROM (dacă aveți un CD bootabil cu sistemul de operare introdus în această unitate), apoi pe C și în final pe A. Bineînțeles că secvențele de bootare sunt numeroase, funcție de versiunea de BIOS pe care o are fiecare.

Dacă la nivelul BIOS-ului există vreun „virus warning” (detector de virus), această opțiune se va dezactiva înainte de a începe instalarea sistemului de operare; în caz contrar vor apărea conflicte pe parcursul instalării.

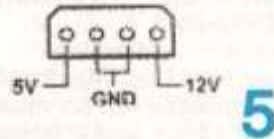
Cam atât se poate vorbi în linii mari despre asamblarea unui PC. În această fază o importanță deosebită o au setările de BIOS, care trebuie făcute doar în cunoștință de cauză, funcție de tipul de variantă de BIOS pe care o are fiecare.



Conector audio



Conector IDE



Mufă de alimentare

5

SETĂRI de BIOS

CIPRIAN ADRIAN STOICA

BIOS-ul (Basic Input/Output System – în traducere aproximativă sistem de bază de intrare/iesire) reprezintă un set de instrucțiuni scrise pe un cip cu memorie de tip ROM, iar informațiile suplimentare se stochează într-o memorie tip RAM. Adesea cip-ul este montat într-un soclu care permite schimbarea cu ușurință. Informațiile cu privire la setările suplimentare specifice respectivului sistem sunt păstrate datorită alimentării permanente a BIOS-ului printr-o baterie cu litiu (de 3V, în principiu) montată pe placă de bază. În momentul consumării bateriei, BIOS-ul revine la setările implicate. Un indiciu că

bateria este descărcată îl reprezintă faptul că nu mai păstrează corect data și ora.

Acest articol prezintă aspecte generale privind configurarea BIOS-ului; în amănunt ele pot difera în funcție de producător și versiune. Este indicat să nu se facă modificări asupra setărilor de BIOS decât atunci când calculatorul pornește cu erori sau nu pornește deloc. În general setările implicate cu care acesta vine de la producător sunt suficiente.

Setul de instrucțiuni conținut de BIOS este primul utilizat la pornirea calculatorului, sistemul de operare

intrând în funcțiune într-o fază ulterioară.

Cei doi mari producători de BIOS-uri sunt Phoenix Award și AMI. În cele ce urmează voi face exemplificările pe un model de BIOS Phoenix Award, insistând asupra aspectelor cu importanță sporită, dar lucrurile sunt similare și pentru AMI, diferind doar puțin unele denumiri sub care se găsesc aceleași setări.

Pentru a intra în meniu de configurare se apasă DEL sau CTRL-ALT-ESC. Vor apărea în utilitarul de configurație titlurile de mai jos, cu submeniile aferente, din care voi evidenția doar pe cele asupra cărora a fost necesar să fac precizări:

Standard CMOS Features (Caracteristici standard ale BIOS-ului)

IDE Primary Master → Auto (sau altă opțiune)

IDE Primary Slave → Auto (sau altă opțiune)

IDE Secondary Master → Auto (sau altă opțiune)

IDE Secondary Slave → Auto (sau altă opțiune)

Acestea permit montarea hard disk-ului și a unităților optice de tip CD-ROM pe cele două magistrale IDE, în general detectarea se face automat, la unele hard disk-uri mai vechi este însă necesar să se dea parametrii constructivi proprii (CYLS, HEADS, PRECOMP, LANDZONE, SECTORS).

Halt On → All errors (sistemul nu este oprit pentru nici o eroare întâlnită)

→ No errors (sistemul este oprit pentru orice eroare întâlnită)

→ All, but Keyboard (sistemul se oprește pentru orice eroare în afara de tastatură)

Advanced BIOS Features (Caracteristici avansate ale BIOS-ului)

Virus Warning → Disabled/Enabled (dezactivează/activează o alertă de virus în momentul în care o aplicație sau un virus acționează asupra sectorului de boot-are sau a tablei de partii; această opțiune este bine să fie dezactivată la rularea unor aplicații și în special înainte de instalarea sistemului de operare pentru a nu bloca procesul de instalare).

Quick Power On Self Test (POST) → Disabled/Enabled (implicit este activat – enable, micșorând timpul de boot-are prin scurtarea sau evitarea unor verificări)

First Boot Device → Floppy (*) (prima opțiune de boot-are)

Second Boot Device → HDD-0 (*) (a doua opțiune de boot-are)

Third Boot Device → CD-ROM (*) (a treia opțiune de boot-are)

(*) Se poate alege orice opțiune din lista: Floppy, LS120, HDD-0, SCSI, CDROM HDD-1, HDD-2, HDD-3, ZIP100, LAN, USB-FDD, USB-Zip, USB-CDROM, USB-HDD, Disabled. Sistemul va fi inițializat în momentul în care va găsi informațiile de boot-are, iar căutarea pe celelalte medii încețează, chiar dacă și acestea sunt bootabile. Spre exemplu, dacă avem un CD-R bootabil cu un sistem de operare pe care vrem să-l instalăm, iar hard disk-ul este gol, se va alege ca primă secvență de bootare First Boot Device → CDROM.

Security option → System/Setup (pentru varianta System intră în sistem sau în utilitarul de configurație a BIOS-ului doar cu parolă, iar în varianta Setup este necesară parola doar pentru a accesa utilitarul de configurație)

Advanced Chipset Features (Caracteristici avansate ale Cipsetului – de pe MB)

Depinde în mare măsură de versiunea de BIOS, iar modificările este indicat să se facă după manualul plăcii

de bază. Se poate verifica frecvența FSB dacă este setată corect în cazul în care se cunosc proprietățile procesorului. Ca metodă de verificare: frecvența magistralei principale de date FSB x multiplicatorul procesorului dă frecvența acestuia.

Integrated Peripherals (Periferice integrate pe placa de bază)

VIA OnChip PCI Device → De aici se pot activa sau dezactiva anumite facilități existente pe placa de bază. Cel mai ușual exemplu este cel în care avem placă audio integrată pe placa de bază, însă dorim să folosim o placă externă cu performanțe mai bune; în acest caz trebuie dezactivată cea existentă, lucru care se realizează foarte simplu prin selectarea opțiunii Disabled pentru VIA AC97 Audio. AC97 este modulul audio cu care este echipată placa de bază pe care am luat-o drept exemplu, însă opțiunea poate fi găsită cu ușurință și pentru alte modele, în manualul de utilizare fiind specificat cu ce este echipată fiecare.

Super I/O device → Cel mai des trebuie ales un protocol adecvat pentru portul paralel. Alegerea se face în funcție de specificațiile tehnice ale perifericei conectate la acest port. Uzual se folosește EPP (Enhanced Parallel Port) sau ECP (Extended Capabilities Port). În cazul în care aveți o imprimantă, spre exemplu, conectată la acest port și dă erori sau "răspunde" foarte greu deși a fost instalată corect, se va schimba în mod repetat acest protocol până când va funcționa normal imprimanta (este indicat să se reinstaleze și driver-ul după fiecare modificare).

Power Management Setup (Setări pentru administrarea alimentării cu energie)

HDD Power Down → Disabled (nu este foarte indicat să se seteze un timp după care este oprit hard disk-ul, uneori existând posibilitatea ca sistemul să nu mai poată fi "trezit").

Modem Use IRQ → se impune un anumit IRQ atunci când setarea automată generează conflicte.

PnP/PCI Configuration (Configurarea PnP/PCI)

Se va recurge la configurație manuală doar atunci când apar conflicte la alocarea automată.

PC Health Status (Starea de sănătate a PC-ului)

Indică temperatură procesorului, a sistemului (când este prevăzut cu un astfel de senzor), viteza ventilatorului de pe procesor și de pe sistem (dacă există), precum și tensiuni specifice vis-a-vis de niște valori de referință.

Frequency/Voltage Control (Controlul frecvenței/tensiunii)

Nu este indicat să fie setate manual.

Load Fail-Safe Defaults (Încarcă setările implicite sigure)

Load Optimized Defaults (Încarcă setările implicite optimizate)

Set Supervisor Password (Stabilește parola pentru administrator)

Set User Password (Stabilește parola pentru utilizator)

Save & Exit Setup (Salvează și păstrează procesul de setare)

Exit Without Saving (Părăsirea procesului de setare fără a salva modificările)

În felul acesta au fost parcurse toate setările BIOS-ului. Precizez că cele relativ noi prezintă facilitatea live update care permite înlocuirea versiunii de soft cu una mai nouă direct de pe Internet; metoda este simplă însă prezintă și unele riscuri, de aceea o astfel de operațiune se realizează doar după ce a fost făcută o copie de siguranță a versiunii de soft cu care este echipat BIOS-ul.

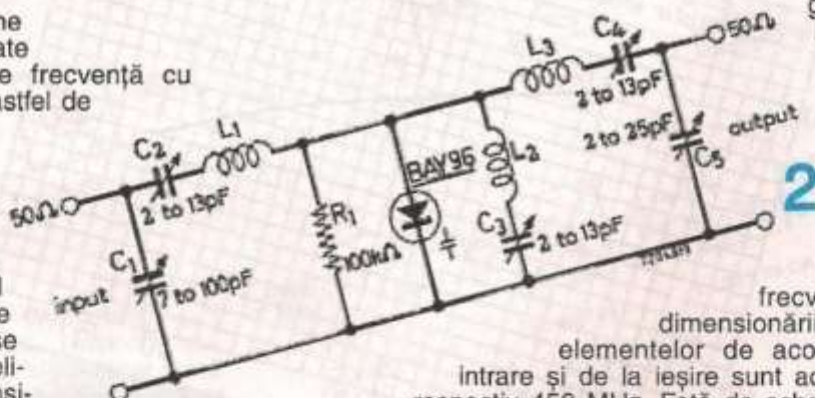
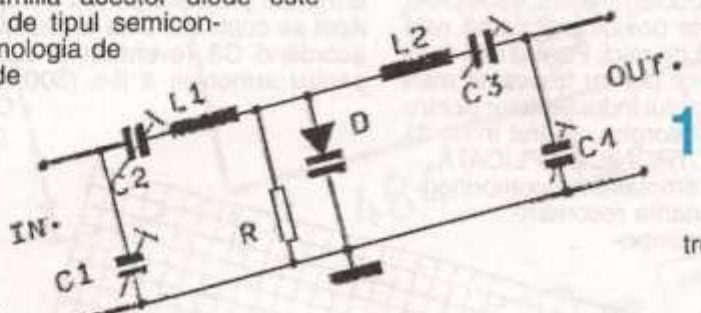
MULTIPLICATOARE de FRECVENȚĂ cu DIODE VARACTOR

ing. GHEORGHE REVENC
O definitie
generală clasifică dic-

O definiție simplă, foarte generală, clasifică diodele varactor, sau varicap, ca fiind dispozitive semiconductoare care prezintă o capacitate a joncțiunii variabilă cu tensiunea de polarizare. Familia acestor diode este destul de mare, funcție de tipul semiconducțorilor folosiți, de tehnologia de fabricație, precum și de destinația varactorilor. Principalele aplicații ale diodelor varactor sunt: acord, modulație de frecvență, multiplicare de frecvență, comutare în înaltă frecvență, la niveluri mici și mari (în emițătoare).

In cele ce urmează ne vom ocupa în exclusivitate de multiplicatoarele de frecvență cu diode varactor. Pentru astfel de aplicații se folosesc diode special proiectate în acest scop, care suportă semnale de amplitudine relativ mare (până la 250 V) și curenți de ordinul amperilor în conducție directă. Funcționarea se bazează pe relația nelineară existentă între tensiunea aplicată și curentul ce se stabilește prin diodă, aceasta funcționând de fapt într-un regim de comutare. De aceea diodele varactor de putere sunt de tipul "cu revenire rapidă" (snapp off diodes), sau de tipul "cu revenire în treaptă" (step recovery diodes). Eficacitatea generării de armonici până la frecvențe foarte mari se datorează faptului că diodele varactor realizează frecvențe de tăiere foarte înalte (zeci de GHz). Deci excitarea dispozitivului cu un semnal sinusoidal va produce în circuit curenți distorsionați, din care, prin circuite acordate adecvat, se pot extrage armonicele dorite. Cel mai frecvent se practică dublarea și triplarea de frecvență, mai rar cuadriplicarea. Pentru multiplicări de ordin superior se preferă multiplicarea succesivă cu mai multe etaje în cascadă.

În figura 1 este redată schema de principiu tipică a



OR

unui multiplicator de frecvență cu dioda montată în derivație.

Această conectare este cel mai frecvent utilizată, deoarece catodul diodei poate fi conectat direct la masă, la șasiu, facilitând astfel disipația termică. Analizând schema, care este deosebit de simplă, distingem două circuite acordate. Circuitul C1, C2, L1 se acordează pe frecvența semnalului incident, iar circuitul C3, C4, L2 pe frecvența armonicii dorite. Rezistența R are rol de autopolarizare, valoarea sa nefiind critică. În literatură se indică pentru R valori cuprinse între $50\text{ k}\Omega$ și $300\text{ k}\Omega$. Valoarea mare pentru R îmbunătățește randamentul multiplicării, dar în cazul semnalelor MA mărește distorsiunile de modulație. Valoarea cel mai frecvent întâlnită pentru R este $100\text{ k}\Omega$. După cum se vede, montajul nu necesită elec-

2
C3
OUT
C4
1

elementelor de acord. Circuitele de la intrare și de la ieșire sunt acordate pe 150 MHz, respectiv 450 MHz. Față de schema din figura 1, mai apare în plus circuitul C3, L2, care se acordează pe armonica a II-a, 300 MHz în cazul de față, și are rolul de a atenua, prin suntare la masă a energiei corespunzătoare, ceea ce îmbunătățește regimul energetic și oferă la ieșire un semnal mai curat. Performanțele montajului sunt ilustrate în graficul din figura 3, unde este reprezentată variația randamentului în funcție de puterea semnalului incident. Astfel, pentru puterea maximă admisă, care conform catalogului pentru dioda BAY96 este de 40 W, se obține la ieșire o putere de 21 W, randamentul fiind de cca 50%. Funcționarea optimă este recomandată pentru $P_{in} = 25$ W, obținându-se un randament de 65%, respectiv $P_{out} = 16$ W. Pentru alte tipuri de diode, randamentul maxim citat în literatura de specialitate este de cel mult 70%. Se poate considera că este un randament acceptabil, deoarece de regulă este

mai dificil de obținut direct o putere de 16 W la 450 MHz, decât 25 W la 150 MHz, iar simplitatea montajului este tentantă.

Desigur că există o variație a performanțelor și în funcție de frecvență. Varactorul BAY96 este indicat pentru multiplicări până la 1 GHz, dar cu rezultate foarte bune l-am experimentat și la 3 GHz (frecvență de tăiere fiind 25 GHz). Valorile inductanțelor pentru montajul din figura 2 sunt: $L_1 \approx 100 \text{ nH}$, $L_2 \approx 20 \text{ nH}$, $L_3 \approx 10 \text{ nH}$. Aceste valori se pot obține astfel: pentru L_1 - 5 spire cu $d = 0,8 \text{ mm}$, $L = 9 \text{ mm}$, $D = 6,3 \text{ mm}$; pentru L_2 - 2 spire cu $d = 2 \text{ mm}$, $L = 10 \text{ mm}$, $D = 6,3 \text{ mm}$; pentru L_3 - 2 spire cu $d = 1 \text{ mm}$, $L = 5 \text{ mm}$, $D = 3 \text{ mm}$, unde d este diametrul conductorului de bobinaj, L este lungimea bobinajului (rezultă pasul bobinajului), iar D este diametrul interior al bobinei. Conductorul utilizat fiind destul de gros, nu sunt necesare carcase, bobina rea făcându-se "în aer". Conductorul din cupru argintat sau chiar din argint este recomandabil. Pentru L_3 , care are inductanță foarte mică, se recomandă o linie realizată dintr-o bară de cupru, eventual argintată, cu lungimea de cca 25 mm, secțiunea de $6,3 \times 5 \text{ mm}$, lipită direct pe anodul diodei, la o înălțime de cca 14 mm față de planul de masă al montajului. În cazul multiplicărilor la frecvențe mai mari, toate inductanțele vor trebui realizate cu linii, deoarece nu este posibil practic să realizeăm bobine cu inductanță atât de mici. Pentru alte variante de realizare a inductanțelor pentru frecvențe mari se poate consulta articolul "Calculul inductanțelor pentru VHF-UHF", de ing. Revenco Gheorghe, apărut în nr. 33 și 34/2004 ale publicației ELECTRÓNICA APLICATĂ.

În figura 4 se exemplifică amplasarea componentelor pe șasiu, aceasta fiind varianta recomandată de catalog. Funcție de componente disponibile, construcțorul amator va putea

realiza și o altă dispunere. De observat, și de respectat, perpendicularitatea axelor bobinelor L_1 , L_2 și L_2 , L_3 , care nu pot fi distanțate prea mult și altfel s-ar realiza un cuplaj inductiv nedorit. Atenție trebuie acordată și trimerilor. Se recomandă trimeri de bună calitate, cu aer/calităț, iar dacă puterea sursei a cărei frecvență dorim să o multiplificăm este mare, va trebui să aproximăm și amplitudinea tensiunilor ce apar la bornele acestor trimeri și să alegem piese corespunzătoare. Astfel, de exemplu, pentru $Z_0 = 50 \Omega$ și o putere a semnalului incident de 50 W rezultă o tensiune pe circuitul de intrare de 50 V valoare eficace. În procesul de acord având în vedere fenomenele rezonante ce se produc, valoarea de vârf a tensiunii la bornele condensatoarelor va putea fi mult mai mare.

Să nu pierdem din vedere nici dissipata termică pe diodă și funcție de putere și de modul de realizare a montajului, să prevedem și un radiator corespunzător.

Dar, întotdeauna există și un dar, pentru ca un multi-

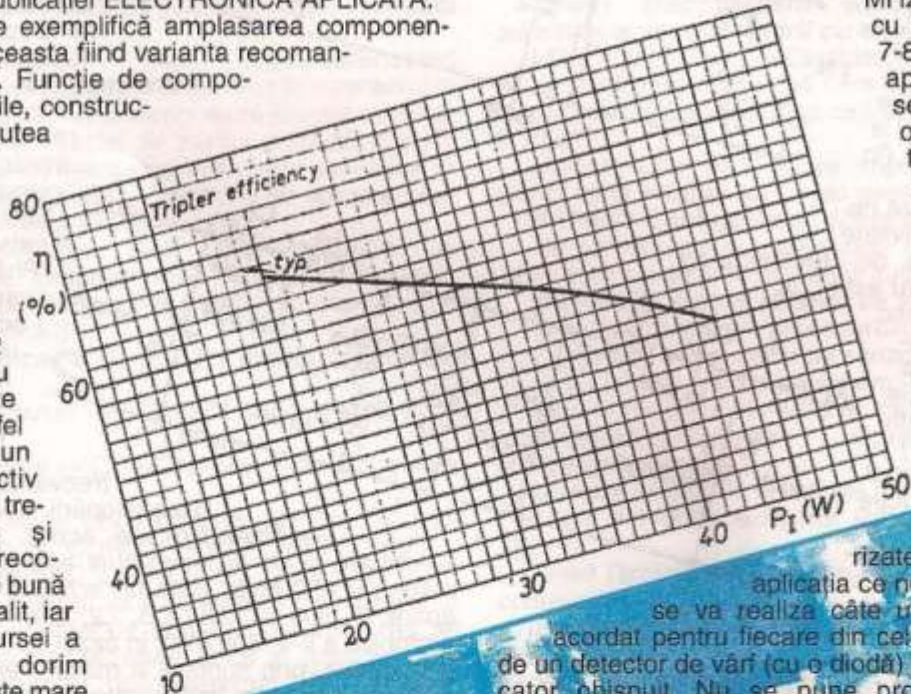
plicitor, atât de simplu ca schematică, să funcționeze la parametrii doriti, circuitele acestuia mai trebuie să fie și acordate, iar aceasta este o etapă destul de laborioasă. Randamentul multiplicării depinde direct de perfectiunea acordului. Deoarece între cele trei circuite nu există o separație bună, ele se vor influența reciproc destul de pronuntat în timpul acordului. Astfel, acordul circuitului L_2 , C_3 va strica acordul circuitului de intrare, iar acordul circuitului de ieșire le va afecta pe primele două. Cea mai elegantă metodă de acord face apel la un analizor de spectru panoramic, pe care putem vizualiza simultan cele trei semnale de interes. Pentru aceasta se conectează la intrare sursa de semnal cu impedanță adaptată corespunzător. Este preferabil să se înceapă acordul cu o putere de excitație mai mică, sub 50% față de cea maximă, urmând a se ajunge la valoarea nominală pe parcursul perfectării acordului. În felul acesta controlăm și temperatura diodei și apreciem eficacitatea radiatorului. La ieșire se conectează sarcina nominală, de asemenea adaptată ca impedanță. Adaptarea corectă la intrare și la ieșire este esențială pentru un acord corect și o bună funcționare. Se cupleză slab analizorul de spectru cu anodul diodei și se acordează C_1 , C_2 , eventual și L_1 (prin apropierea sau depărtarea spirelor), urmărind maximul pentru semnalul incident (150 MHz). Apoi se cupleză slab analizorul la ieșire, pe sarcină, și acordând C_3 (eventual și L_2), se urmărește minimul pentru armonica a II-a (300 MHz). Acordăm apoi C_4 , C_5 , urmărind maximul pentru semnalul util (450 MHz). Se reia procedeul cu răbdare de cel puțin 7-8 ori, până ce, din aproape în aproape, se ajunge la acordul optim, adică amplitudinea minimă pentru armonica a II-a și amplitudinea maximă pentru semnalul incident și armonica a III-a.

3 Dacă nu dispunem de un analizor panoramic, se poate improvisa un set de 3 dispozitive de

acord, particula-

rizate la frecvențele din aplicația ce ne interesează. Astfel,

se va realiza căte un banal amplificator acordat pentru fiecare din cele 3 frecvențe urmate de un detector de vârf (cu o diodă) și un instrument indicator obișnuit. Nu se pune problema sensibilității, deoarece se lucrează cu niveluri mari (volti sau chiar zeci de volti) și nici a etalonării, nici în frecvență și nici în amplitudine, deoarece vom face numai măsurători relative. Dacă circuitele de acord ale celor 3 indicateure selective au fost dimensionate aproape corect, în momentul cuplării cu multiplicatorul testat (în același mod în care ar fi fost cuplat analizorul), vom perfecta acordul acestora pentru indicația maximă, ceea ce achivialează cu etalonarea în frecvență, deoarece ele se vor alătura acordate pe 150 MHz, respectiv pe 300 MHz și 450 MHz (în ipoteza că frecvența semnalului incident este bine cunoscută). Instrumentul indicator poate fi un multimetru obișnuit, comutabil la cele 3 dispozitive ajuta-



toare, sau, dacă ne permitem luxul, 3 instrumente distincte, și atunci ne vom apropia mai mult de situația în care am dispune de un analizor panoramic. Procedeul de acord este același ca și în cazul folosirii analizorului. Practic am folosit cu succes această simplă metodă.

În fotografie (pag. 15) se poate vedea un

montaj experimental după schema din figura 2, pe care l-am realizat pe o plăcuță de circuit dublu placat, cu dimensiunile de 35 x 87 mm (aceste dimensiuni, evident, nu sunt critice și nu intervin în calculul elementelor de acord). Nu au fost necesare piste pe acest placat, deoarece dioda se conectază direct cu catodul la masă prin fixare cu piuliță, iar pentru cei 3 trimeri ce au punct de masă, am ales condensatoare ce se pot conecta tot prin fixare cu piuliță.

Rezultatele obținute au fost comparabile cu cele enunțate mai sus. Pentru puteri sub 10 W nu este nevoie de radiator și suplimentar. Incasetarea plăcuței

într-o cutie metalică din aluminiu, cu contact termic cu placă, respectiv cu catodul diodei, asigură o funcționare bună și pentru o putere de excitare de până la 20 W. De reținut că în acest caz acordul trebuie refăcut, deoarece peretele cutiei, prin capacitatele parazite introduse, vor afecta acordul. Adâncimea cutiei, mai precis distanța de la placă la capacul superior, este bine să fie de cel puțin 30 mm și să se prevadă orificii pentru accesul la trimeri.

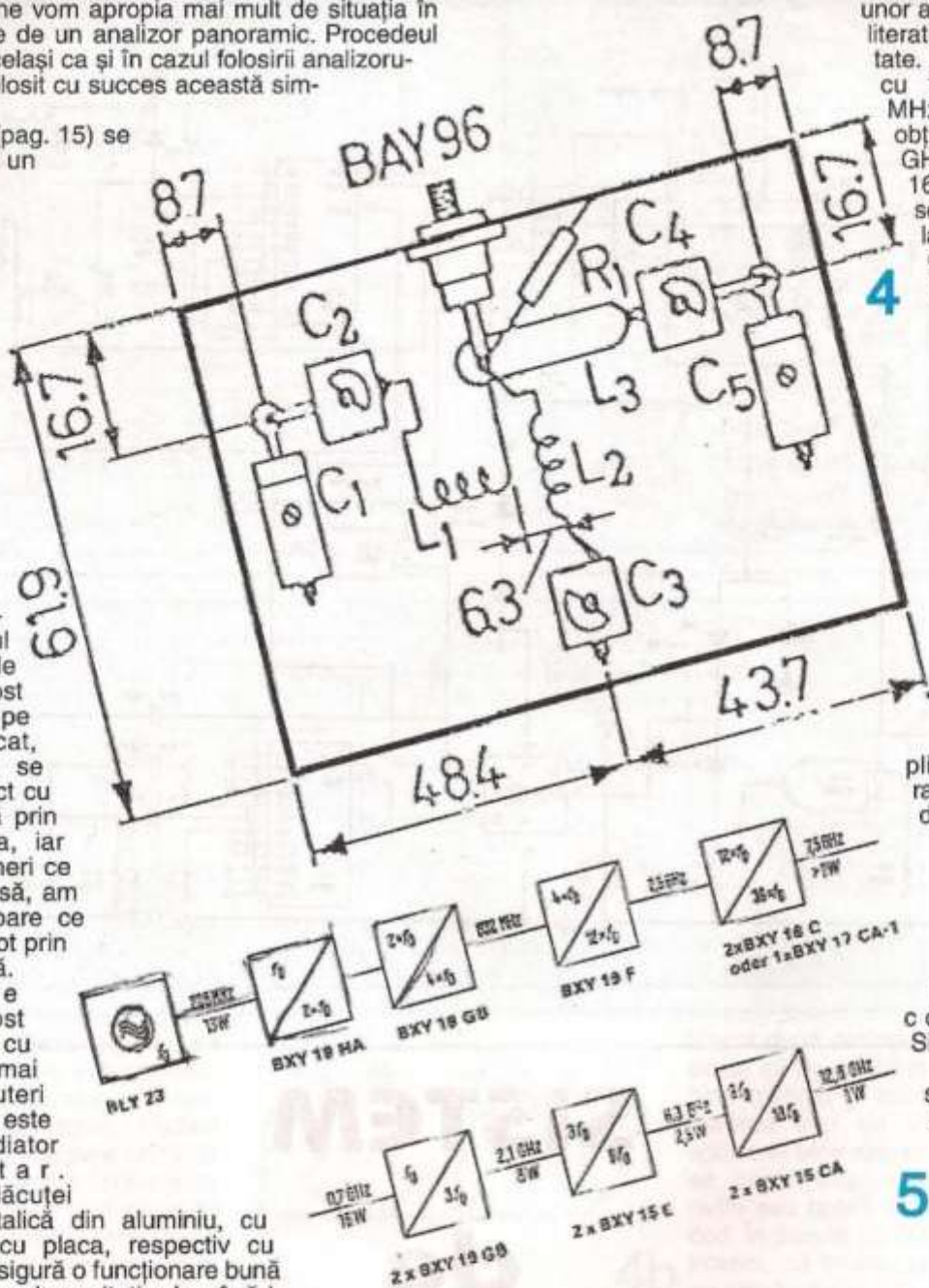
În tabelul alăturat sunt redată spre exemplificare datele tehnice ale unor diode varactor produse de firme foarte cunoscute, de unde se vede diversitatea de putere și de frecvență.

Multiplicatoarele de frecvență cu diode varactor au aplicabilitate pentru obținerea de emițătoare pe frecvențe foarte înalte, plecând de la frecvențe relativ joase, prin multiplicări successive, fără a se folosi alte componente active (amplificatoare) sau surse de alimentare. Pentru a ne face o idee despre eficiența energetică a unor astfel de procesări, în figura 5 sunt redăte

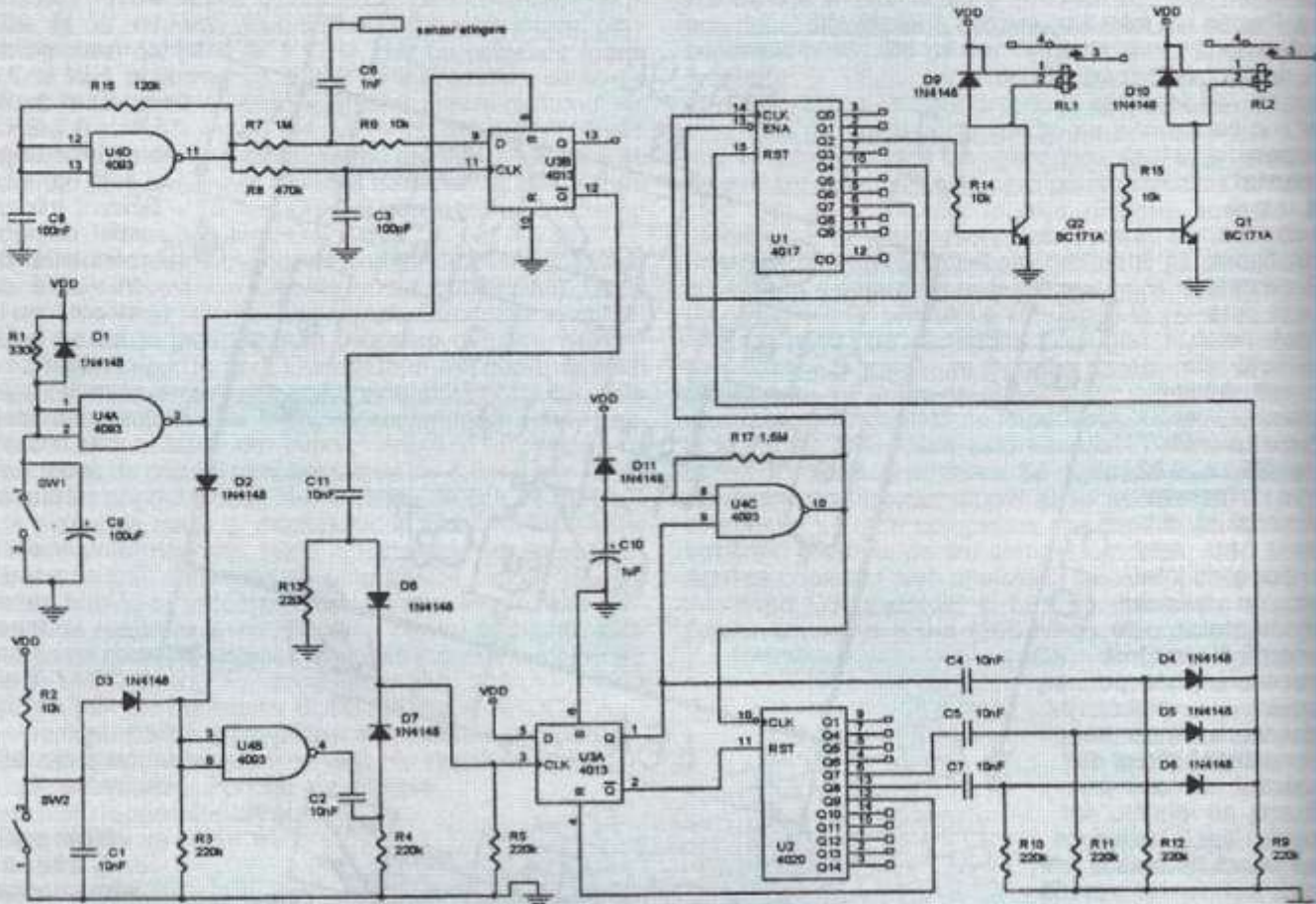
două scheme bloc ale unor aplicații citate în literatura de specialitate. Astfel, plecând cu 13 W la 208 MHz, se poate obține 1 W la 7,6 GHz, sau de la 16 W la 0,7 GHz, se poate ajunge la 1 W la 12,6 GHz. Într-un astfel de lanț, modulația de frecvență se poate face în oricare treaptă a multiplișării, ținând cont de faptul că prin multiplicarea frecvenței se multiplăcă în același raport și deviația de frecvență.

Bibliografie
Catalog semiconducatori Motorola, 1980

Catalog semiconducitori Siemens, 1975;
Catalog semiconducatori Philips, 1985



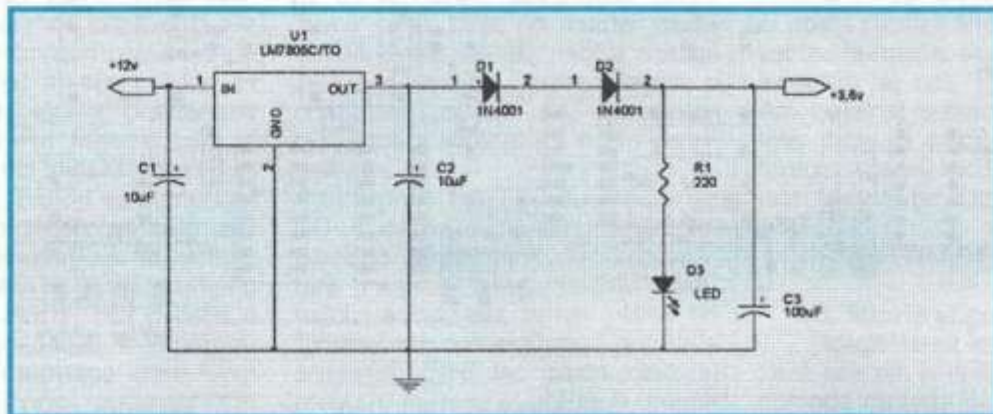
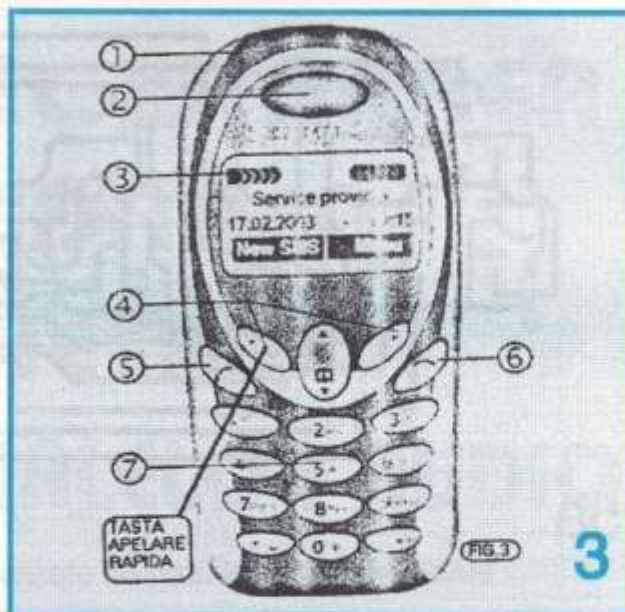
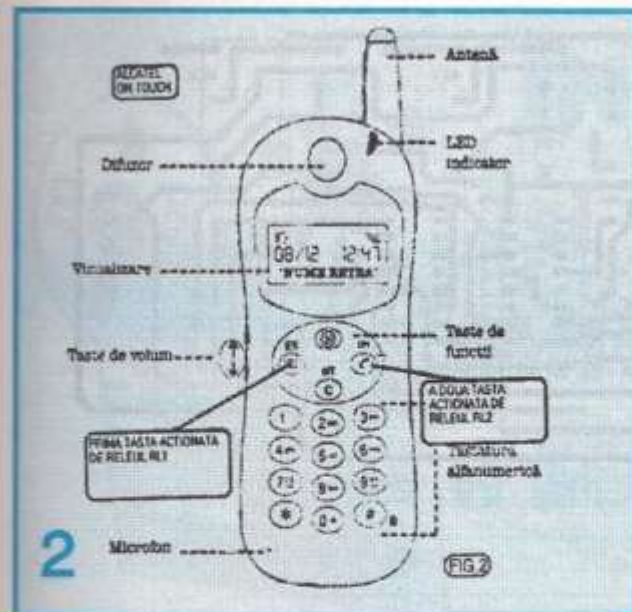
| TIP VARACTOR | FABRICANT | Pmax W | Urmax V | GAMA GHz |
|--------------|-----------|--------|---------|----------|
| BXY15CA | SIEMENS | 2,5 | 50 | 15 |
| BXY16 | " | 3 | 70 | 10 |
| BXY19FB | " | 15 | 105 | 3 |
| BXY19HA | " | 30 | 115 | 2 |
| BAY66 | PHILIPS | 20 | 100 | 1 |
| BAY96 | " | 40 | 120 | 1 |
| BXY27 | " | 10 | 55 | 2 |
| BXY28 | " | 7 | 45 | 4 |
| 1N4386 | MOTOROLA | 100 | 250 | 0,5 |
| 1N4387 | " | 40 | 150 | 0,5 |
| 1N5151 | " | 15 | 75 | 2 |
| 1N5154 | " | 7 | 35 | 8,5 |



1

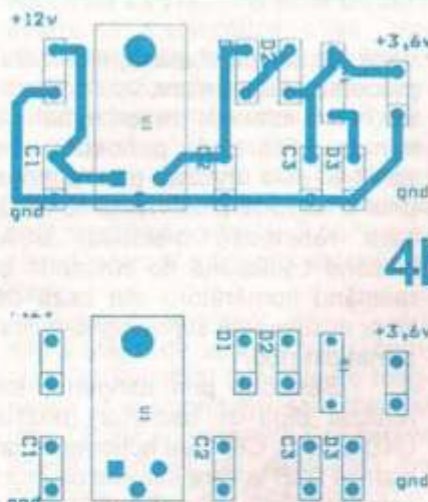
SISTEM de ALARMA prin TELEFONUL MOBIL

CORNEL ȘTEFĂNESCU



4a

Alarma propusă (fig. 1) se poate utiliza în birouri, apartamente sau autoturisme. Montajul este simplu și are un consum redus, utilizând doar patru circuite integrate MOS de uz general și un telefon mobil chiar de veche generație, dar în stare de funcționare. Ea permite conectarea unui număr nelimitat de senzori care posedă un contact normal deschis, toate contactele fiind montate în paralel (SW2). În cazul de față se utilizează contacte mecanice montate la uși, ferestre, dulapuri sau, dacă se dispune, se pot adapta diverse alte tipuri de senzori electronici de mișcare, de fum, de gaz etc., care au de regulă în montaj și un mic releu cu contacte normal deschise/inchise. Sistemul de alarmă permite intrarea-iesirea din spațiul supraveghet, acționând asupra unei intrări temporizate (SW1), cu durată de aproximativ 30s, realizată cu poarta U4A-MMC4093 și R1(330 kΩ), C9(100 µF-16V); prin modificarea valorilor R1, C9 se măreste sau se micsorează

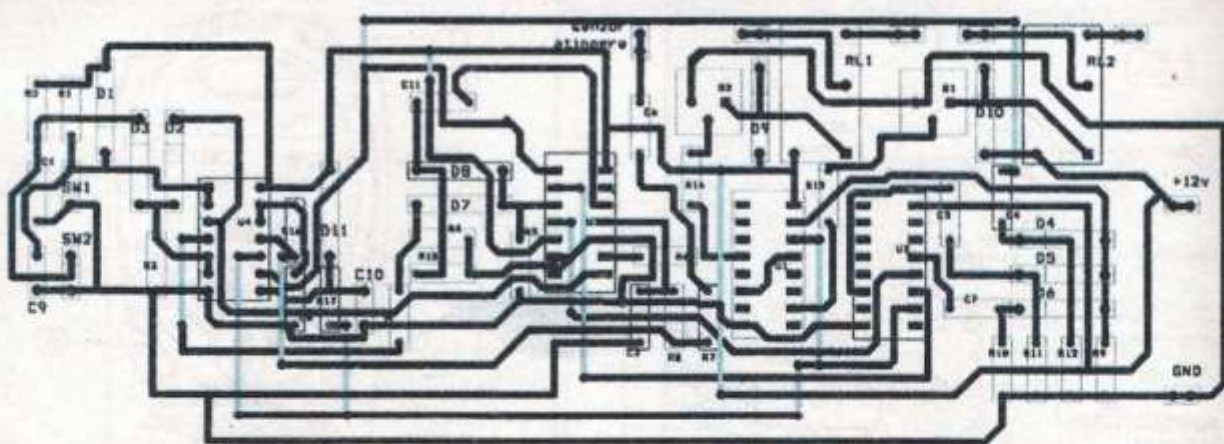


4b

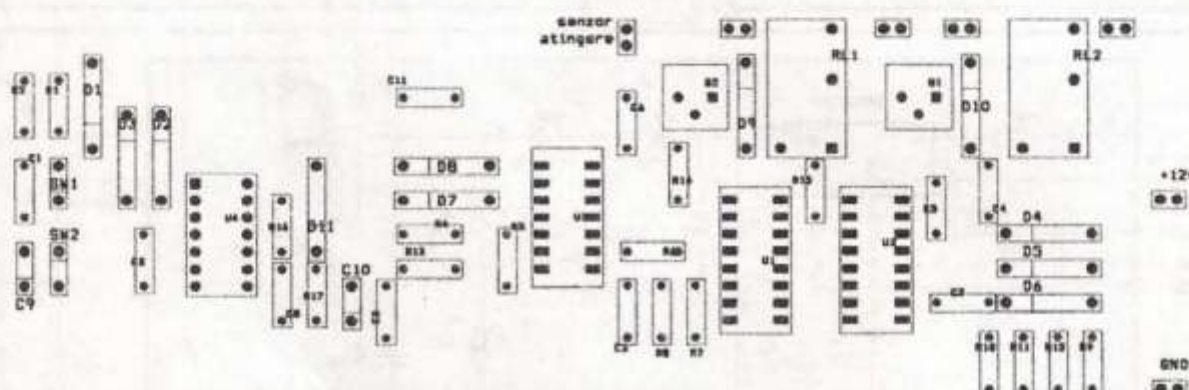
timpul după dorință. Contactul SW1 poate să fie un microcontact REED, bine mascat și acționat de un mic magnet sau un comutator (prin apăsare) bine ascuns. La fel de bine se poate adapta o telecomandă radio sau optică sau o tastatură cu cod. În paralel cu contactul SW1, în interior, se montează un comutator cu două poziții (nu este figurat în schematică) pentru întreruperea funcționării sistemului de alarmă. În afară de cele două intrări de comandă SW1, SW2, montajul mai conține și o intrare sensibilă la atingerea cu mâna, care se conectează la broasca de la ușă (pentru cele metalice nu funcționează).

4c

Montajul a fost conceput să acționeze un telefon mobil de tipul ALCATEL ONE TOUCH (fig. 2), la acționarea două taste consecutiv pen-
-o apăsare scurtă pe tasta AGENDĂ
umărul stabilit la care dorim să fim
-e o apăsare scurtă pe tasta inițiere



5a



5b

apel ON. Cele două acționări se realizează cu contactele normal deschise a două minirelee RL1, RL2, contacte care se conectează prin două fire fiecare, în paralel cu tastele telefonului, operație care necesită multă atenție.

Deci, dacă se pătrunde în zona supraveghetă, este acționat un comutator SW2 sau senzorul de atingere, bistabilul U3A (MMC 4013) este setat și se pornește procesul de alarmare prin pornirea oscillatorului realizat cu poarta U4C (MMC4093) și R17 ($1,5\text{ M}\Omega$), C10 ($1\text{ }\mu\text{F}$) cu perioada de aproximativ 2s. Oscillatorul comandă numărătorul MMC4017, care acționează cele două relee prin intermediul tranzistoarelor Q1 și Q2 (BC171) și în același moment pornește și baza de timp realizată cu circuitul numărător de 14 biți MMC 4020. Baza de timp a fost introdusă din motive de sigu-

ranță, astfel că după apelul inițial procedura de apelare va fi reluată de 3 ori la intervale de aproximativ 2 minute. Sfârșitul perioadei de apelare este marcat prin apariția unui 1 logic la pinul 12-MMC4020, care resetează bistabilul U3A, blocând oscillatorul de comandă și resetând numărătorul din baza de timp, sistemul de supraveghere fiind armat din nou.

Senzorul prin atingere este realizat dintr-un oscillator (poarta U4D și R16, C8) care acționează un bistabil U3B la care intrarea de ceas este întârziată puțin (R8, C3). Când se atinge cu mâna senzorul, intrarea de date D (pin 9) este perturbată și ieșirea bistabilului schimbă starea, declanșând prin circuitul R13, C11 și D8 bistabilul de inițiere apel U3A.

Prinț-o simplă modificare - un relee nu se plantează și se pune un strap între colectoarele tranzis-

toarelor Q1 și Q2 - se poate utiliza un telefon de tip SIEMENS A55 cu acționare asupra unei singure taste, TASTA DE APEL RAPID (fig. 3).

Cei care doresc pot să adapteze un circuit de avertizare sonoră și/sau luminoasă sau pot monta în paralel cu SW2 un BUTON DE PANICĂ, care la apăsare să declanșeze alarmă.

Montajul este alimentat la tensiunea de +12V, cu masa legată la pământ și cu un acumulator în tampon. Pentru alimentarea telefonului mobil (în loc de acumulator) se poate utiliza montajul din figura 4, realizat cu un regulator LM 7805 și două diode 1N4001.

În figura 5 sunt prezentate cablajul și planul de implantare cu componente electronice la scara 1:1.



ÎNREGISTRAREA și REDAREA MAGNETICĂ A SEMNALELOR AUDIO

Pagini realizate de prof. ing. EMIL MARIAN

În urma unor foarte multe soluții ale elevilor mei, și totodată ale constructorilor amatori pasionați de domeniul audio, mi-am propus în acest articol să clarific problemele majore ce privesc înregistrarea și redarea sunetului folosind ca suport informațional banda magnetică. Dacă magnetofoanele au cam dispărut din "arsenalul" ce constituie dotarea firească a unui audiofil, casetofoanele există încă și dețin o răspândire formidabilă în întreaga lume. Deși CD-player-ul "vine puternic din urmă", căpătând o răspândire din ce în ce mai mare, să nu uităm că o casetă magnetică înregistrată este de cel puțin trei ori mai ieftină decât un CD, ambele deținând același program informațional sonor. Aceste considerente economice sunt dublate de raritatea unor imprimate mai vechi care nu se găsesc pe CD-uri, sau nu se pot transpune pe ele decât prin procurarea unei aparaturi ce implică o investiție substanțială (computer cu placă audio performantă, CD-ROM, filtre numerice diverse etc.) ce depășește în condițiile actuale o sumă de cca 25 000 000 lei. "Deocamdată" această sumă nu prea este la îndemâna oricui!

Soluția tehnică cea mai rapidă și cu bune performanțe o constituie utilizarea unor casete magnetice "bene imprimate" în ceea ce privește dinamica semnalului audio, raportul semnal-zgomot, procentul de distorsiuni "de toate felurile" etc.

În mod surprinzător vom consta-

ta că o casetă magnetică audio "sună" mai bine, în foarte multe cazuri, decât un CD, pentru același program muzical sonor. Cauza o constituie modul de procesare numerică a semnalului audio imprimat pe CD.

Nu orice firmă producătoare de CD-uri definește un convertor analogic-numeric performant! El "imprimă" fără greșală "fundamentală" semnalului audio, dar, nu de puține ori "pierde din vedere" așa-numitele armonici, care fac parte dintr-un program muzical și cărora o ureche muzicală le sesizează imediat lipsa. Nedorind să prezint o serie de considerente matematice clare, dar deosebit de complexe, realitatea celor menționate anterior s-a constatat în foarte multe cazuri. Un convertor analogic-numeric al unui program muzical, foarte bun ca performanță audio și totodată la un preț de cost rezonabil continuă să fie "o problemă tehnică" a firmelor de specialitate.

Sunetul "metalic" al CD-ului diferă major de sunetul "cald, complex, învălitor" al unei casete magnetice bine imprimate sau chiar al unui LP "de pe vremuri"! Dar scopul acestui articol nu este nici pe departe de "a face reclamă" casetelor magnetice, ci de a lămuri problemele majore ce privesc înregistrarea și redarea performantă a unui semnal audio folosind ca suport informațional banda magnetică aflată în compozitia unei casete magnetice. Dacă un casetofon este "bene pus la punct" din considera-

tele ce vor fi prezentate ulterior, el poate rivaliza lejer cu un CD-player mass-media, dar care necesită o investiție de cca 5-6 ori mai mare. Am defalcat subiectul pe subcapitole, care să sintetizeze congruent înregistrarea și redarea magnetică a unui semnal de audiofrecvență.

1. ÎNREGISTRAREA MAGNETICĂ

1.1. Istorie și performanțe

Înregistrarea magnetică reprezintă una din cele mai economice și comode metode de stocare a informației sonore utilizată în ultimul deceniu și care permite obținerea unor indici calitativi funcționali deosebit de ridicăți. Ca urmare, casetofonul a devenit un aparat foarte răspândit, permitând stocarea, depozitarea și redarea după nevoie a informației sonore. Avantajele înregistrării magnetice a unui program sunt următoarele:

- calitate bună a înregistrării și redării informației sonore privind banda de frecvență, distorsiunile THD (distorsiuni armonice totale), TID (distorsiuni de intermodulație) și zgromotul de fond;
- durata medie a unei înregistrări continue este de cca 2-3 ore;
- deservirea simplă și rapidă a casetofonului;
- siguranța și fiabilitatea în exploatare;
- posibilitatea redării imediate a informației sonore stocate, fără nici un proces tehnologic suplimentar;
- posibilitatea de a tăia și de a îmbina banda magnetică fără ca

acest lucru să dăuneze înregistrării ulterioare;

- păstrarea în timp a calității unei înregistrări chiar după un număr mare de redări ale informației sonore stocate.

Înregistrarea magnetică a sunetului a fost realizată pentru prima dată în lume de către fizicianul danez Valdemar Poulsen în anul 1898. Aparatul construit de el, numit telegrafon, constă dintr-un cilindru mare de bronz pe care era înfășurat (în spirală) un fir de oțel. Pe acest fir se deplasă un mic electromagnet, care putea fi pus în legătură, după necesitate, cu un microfon, o cască sau o sursă de curent (rețea de curent continuu). Astfel electromagnetul putea să devină succesiv cap de înregistrare, cap de redare sau cap de ștergere. Aceasta se află montat pe un cadru deplasabil pe

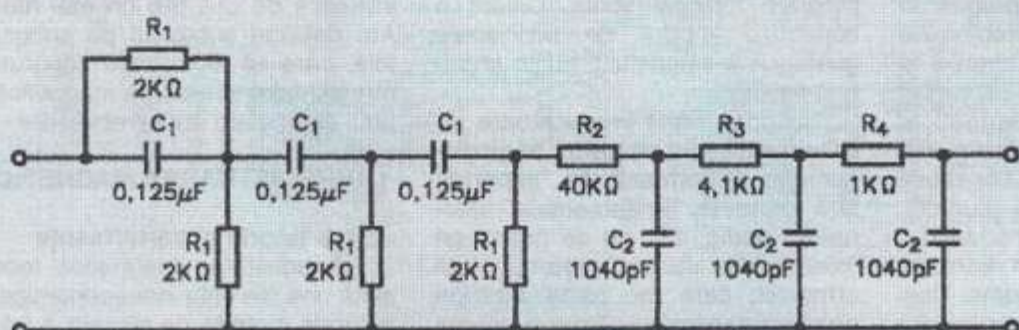
folosit ca purtător al informației sonore. Firul era înfășurat pe un tambur, care se învârtea cu o viteză de cca 2 m pe secundă (durata unei înregistrări nu depășea 50 de secunde). Aparatul utilizează premagnetizarea și ștergerea în curent continuu. În anul 1903 se realizează un aparat care folosea ca purtător magnetic o coroană de oțel de cca 130 mm în diametru. Înregistrarea se făcea în spirală (de la periferie spre centrul coroanei), astfel că viteză unghiulară creștea automat, iar ca urmare a acestui lucru viteză periferică a capului de înregistrare rămânea constantă.

Timp de cca 20 de ani, înregistrarea magnetică a sunetului a rămas la acest nivel tehnic. O dată cu apariția (în perioada anilor 1920) a tuburilor electronice, metoda înregistrării magnetice se per-

ficator prevăzut cu tuburi electrice. Pentru prima dată Karl Stille a introdus corecțiile de frecvență la înregistrare și redare, în scopul îmbunătățirii caracteristicilor de transfer amplitudine-frecvență a programului sonor. O deficiență importantă a blitterfonului o constituie viteza mare a benzii de oțel folosită ca purtător al informației sonore înregistrate (1,2 ... 1,5 m/s). În acest fel o înregistrare de cca 30 de minute implică consumul a cca 2700 m de oțel, ceea ce constituia fizic o greutate importantă.

În această perioadă Karlson și Carpentier propun metoda premagnetizării în curent alternativ de frecvență înaltă, care micșora mult zgomotul de fond și distorsiunile înregistrării. Anii 1922-1935 nu au produs progrese evidente în domeniul înregistrării magnetice. Toate instalațiile fabricate în această etapă se caracterizează printr-o bandă de frecvențe de 50 ... 4000 Hz, cu un nivel de zgomot de cca -30 dB.

În anul 1937, germanul Pfeumer pune bazele unei benzi magnetice asemănătoare cu cea de astăzi (o bandă de hăr-

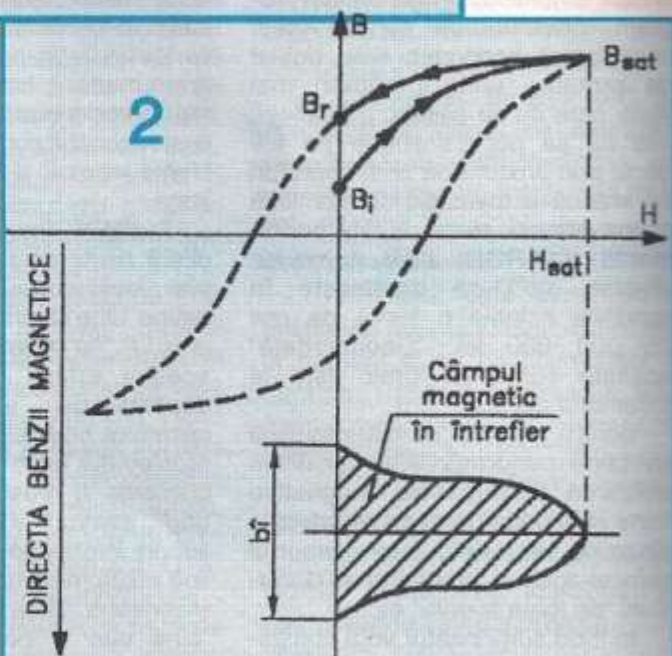


verticală. În timpul înregistrării, redării sau ștergerii, tamburul stătea pe loc, iar în jurul lui se rotea cadrul care conținea capul cu utilizări multiple. Ulterior, în anul 1903, Valdemar Poulsen a perfecționat aparatul introducând (pentru îmbunătățirea calității sunetului redat) premagnetizarea în curent continuu. Datorită faptului că în perioada respectivă tehnica de amplificare a unor semnale electrice slabe nu era cunoscută, telegrafonul a avut o utilizare limitată, fiind folosit doar pentru înregistrarea vorbei. Ascultarea înregistrărilor se făcea folosind o cască.

În anul 1900, Mix și Genest realizează un aparat de înregistrare a sunetului asemănător cu un fonograf. Un fir de oțel de cca 100 m era

funcționează.

În anul 1921, rusul Lazarisvili încearcă să utilizeze ca purtător de sunet o bandă de hârtie pe care a fost dispus inițial un strat de nichel. Ulterior, germanul Karl Stille realizează un aparat destinat înregistrării magnetice și care este perfecționat în timp de englezul Blatter. Blitterfonul utilizează un ampli-



tie acoperită cu un material magnetic pulverizat). Marile avantaje ale benzilor magnetice constau în greutatea și volumul mici, concomitent cu obținerea unor caracteristici de frecvență bune chiar la o viteză mică de deplasare prin fața capetelor magnetice.

In anul 1930 italianul Lignori propune pentru prima dată utilizarea unui cap magnetic de formă toroidală.

Anul 1931 aduce realizarea (în Germania) a primului aparat perfectionat destinat înregistrării magnetice a programelor sonore numit magnetofon. Acesta era prevăzut cu amplificatoare cu tuburi electronice și circuite de corecție a frecvenței. Polarizarea inițială a benzii magnetice se realiza tot în curent continuu. Abia în anul 1941 se introduce pe scară largă (Braunmuhl și Weber în Germania, Kamras și Woolridge în SUA) folosirea curentilor de înaltă frecvență pentru premagnetizare și stergere.

Cu ajutorul acestei metode se mărește dinamica înregistrării și toată se micșorează atât zgomotul de fond cât și distorsiunile THD și TID. Banda de frecvență proprie înregistrării se încadrează în intervalul 30...15000 Hz, iar dinamica semnalului înregistrat devine circa 60 dB. Concomitent, procentajul distorsiunilor THD și TID, măsurate la frecvența de 1000 Hz, scade sub 2%.

1.2. Dinamica înregistrării

Dinamica unui program musical reprezintă raportul dintre presiunea acustică maximă și presiunea acustică minimă a sunetelor interceptate de organul auditiv uman (ureche). Dinamica naturală are de obicei valoarea de circa 50 dB. În tabelul 1 sunt prezentate o serie de exemple privind dinamica surselor sonore.

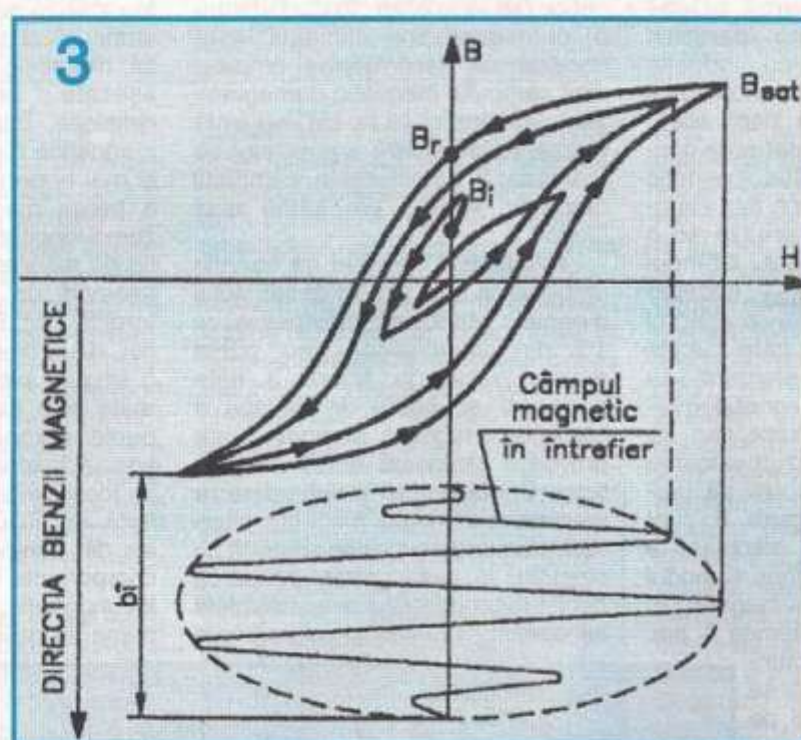
Tabelul 1

| Sursa sonoră | Raportul P _{max} /P _{min} | Dinamica (dB) |
|-------------------------------|---------------------------------------------|---------------|
| Vorba | 20-30 | 25-30 |
| Pian | 168 | 45 |
| Muzica de cameră | 130 | 42 |
| Muzica disco | 250 | 48 |
| Cor și orchestră | 300 | 49 |
| Muzica simfonică | 400 | 52 |
| Ansamblu instrumental complex | 3000 | 70 |

Sistemul de înregistrare nu poate prelua o dinamică oricără de mare a

sistemului (tensiunea ce apare la ieșirea sistemului în lipsa semnalului de intrare). Cu cât valoarea zgomotului față de semnalul obținut la ieșirea sistemului este mai mare, cu atât calitatea sistemului electroacustic este mai redusă. Aprecierea corectă a nivelului de zgomot se face ținând cont de caracteristicile fiziole ale urechii, deoarece semnalele cu frecvență joasă și nivel mic sunt percepute mai slab decât cele cu frecvență înaltă, de același nivel. Datorită acestui fapt măsurarea nivelului de zgomot se face intercalând în circuitul electroacustic un filtru a căruia caracteristică liniarizează modul de percepție al organului auditiv uman.

Schema electrică a unui filtru de acest tip este prezentată în figura 1. Raportul dintre tensiunea de ieșire maximă nedistorionată a sistemului și tensiunea de zgomot măsurată se numește dinamică tehnică a sistemului. Experiența a arătat că cele mai bune sisteme de înregistrare-redare magnetică prezintă o dinamică tehnică de circa 60 dB. Înregistrarea magnetică a sunetului se bazează pe magnetizarea variabilă a unui purtător de material feromagnetic (bandă magnetică) ce se deplasează prin față unui electromagnet (capul de înregistrare), în bobina căruia circulă un curent de audiofrecvență proporțional cu programul informațional sonor ce urmează a fi imprimat. Materialul feromagnetic ce a devenit purtătorul informației sonore capătă o magnetizare remanentă. Pentru a reda informația sonoră înregistrată, banda magnetică se deplasează prin față altui electromagnet (capul de redare), în bobina căruia se induce o tensiune electromotoare de amplitudine variabilă, în funcție de caracteristica magnetică remanentă a benzii înregistrate. Ulterior, semnalul elec-



programului sonor, acest fapt reprezentând o dificultate esențială a înregistrării și redării sunetului (aproape totdeauna dinamica transmisă de un sistem electroacustic rămâne sub valoarea dinamicii naturale). Limitarea dinamicii la sistemele de înregistrare-redare a sunetelor se datorează dificultăților de ordin tehnic. Nivelul maxim de la ieșirea sistemului electroacustic nu poate depăși o anumită valoare, deoarece distorsiunile programului sonor ar depăși limita admisă. În același timp, nivelul minim este dictat de către tensiunea de zgomot a

înregistrare), în bobina căruia circulă un curent de audiofrecvență proporțional cu programul informațional sonor ce urmează a fi imprimat. Materialul feromagnetic ce a devenit purtătorul informației sonore capătă o magnetizare remanentă. Pentru a reda informația sonoră înregistrată, banda magnetică se deplasează prin față altui electromagnet (capul de redare), în bobina căruia se induce o tensiune electromotoare de amplitudine variabilă, în funcție de caracteristica magnetică remanentă a benzii înregistrate. Ulterior, semnalul elec-

tic alternativ este amplificat și redat în difuzor. Se refac astfel programul sonor inițial. Înregistrarea magnetică poate fi stearsă după dorință, iar banda magnetică se poate utiliza la o nouă înregistrare. Stergerea benzii magnetice se poate realiza în două moduri: folosind un câmp magnetic continuu sau unul alternativ. Stergerea cu ajutorul câmpului magnetic continuu constă în magnetizarea până la saturatie a fiecărei particule magnetice elementare care face parte din compoziția stratului feromagnetic dispus pe bandă. Fiecare particula elementară care posedă inițial inducția magnetică remanentă B_i este magnetizată până la valoarea de saturatie B_{SAT} (la trecerea prin fața întrefierului capului magnetic de stergere). După părasirea acestei zone, particula elementară rămâne cu inducția remanentă constantă B_r , oricare ar fi fost valoarea inițială B_i . Deoarece o inducție magnetică remanentă constantă determină un flux magnetic constant, la trecerea prin fața capului de redare nu se generează nici o tensiune electromotoare. Câmpul magnetic continuu H_{SAT} necesar stergerii se poate obține cu ajutorul unui curent continuu care circulă prin capul magnetic de stergere, sau prin intermediul unui magnet permanent care servește drept cap de stergere. În ambele cazuri valoarea câmpului magnetic trebuie să producă saturatie. În figura 2 sunt prezentate modul de efectuare a stergerii în curent continuu și modul de repartiere a câmpului magnetic în zona întrefierului cu lățimea 1 bih.

Stergerea cu ajutorul câmpului magnetic alternativ se bazează pe fenomenul de magnetizare și demagnetizare succesivă a corpurilor feromagnetice. Acest fenomen are loc atunci când corpul feromagnetic se situează într-un câmp magnetic alternativ a cărui amplitudine crește și apoi descrește până la 0. Fiecare element al benzii magnetice care intră în zona întrefierului cu o stare de magnetizare inițială oarecare este supus (în timpul trecerii) unui câmp magnetic alternativ. Amplitudinea câmpului magnetic crește inițial până

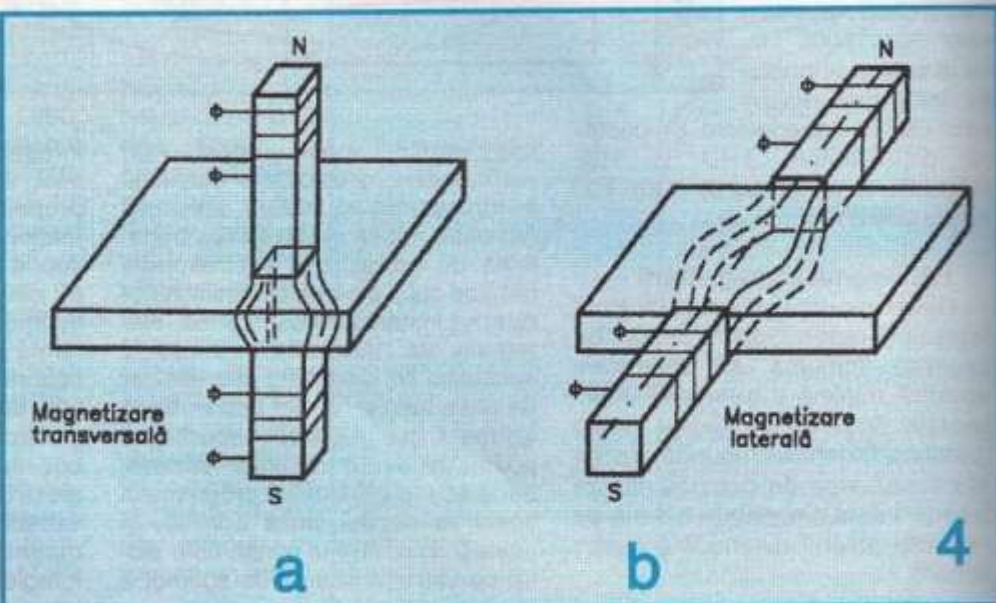
la maxim iar ulterior descrește la 0, datorită repartiției câmpului magnetic din întrefier – figura 3 – și mișcările continue a benzii magnetice prin fața acestuia. Fiecare particula elementară feroasă proprie benzii magnetice este magnetizată inițial până la saturatie prin cicluri de histerezis crescătoare. Ulterior particula magnetică parcurge cicluri de histerezis descreșătoare, fiind demagnetizată până la 0, când părește întrefierul capului magnetic de stergere. Datorită acestui fapt, în momentul trecerii prin fața capului magnetic de redare banda nu induce nici o tensiune electromotoare. În mod practic apare doar o valoare redusă a tensiunii de zgomot datorată structurii benzii magnetice (se va analiza ulterior). Pentru o demagnetizare eficientă este necesar ca descreșterea amplitudinii câmpului magnetic demagnetizant din întrefier să fie cât mai lentă (curba înfășurătoare a punctelor ce marchează amplitudinile câmpului magnetic variabil are forma unui clopot).

Astfel, este necesar ca variația amplitudinii unui maxim al câmpului magnetic variabil să nu depășească 1% din amplitudinea unui punct maxim vecin. În figura 3 este prezentat și modul de variație a câmpului magnetic alternativ care provoacă stergerea benzii magnetice. Condiția de amplitudine a maximelor câmpului magnetic alternativ de stergere trebuie păstrată cu strictețe. În caz contrar, stergera benzii magnetice nu este completă și aceasta rămâne cu o oarecare

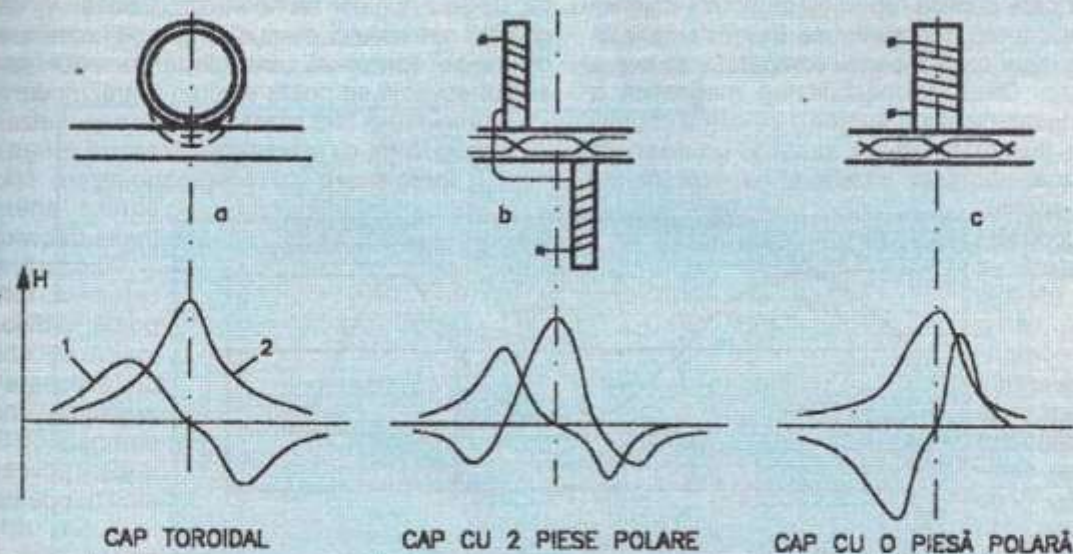
inducție magnetică remanentă. Condiția de descreștere lină a amplitudinii câmpului magnetic demagnetizant din întrefierul capului magnetic de stergere este destul de ușor de îndeplinit dacă frecvența proprie a câmpului magnetic este ridicată. Practic se folosește o frecvență situată în intervalul 50...150 kHz.

1.3. Înregistrarea magnetică propriu-zisă

Magnetizarea benzii magnetice se poate face în trei moduri, și anume: transversal, lateral și longitudinal. Magnetizarea laterală se obține așezând piesele polare ale capului magnetic de înregistrare de o parte și de cealaltă a marginilor benzii magnetice – figura 4. Magnetizarea transversală apare atunci când piesele polare ale capului magnetic de înregistrare sunt așezate una în prelungirea celeilalte, între ele trecând banda magnetică (fig. 4.a). Cel mai simplu și mai eficient mod de magnetizare a benzii magnetice este magnetizarea longitudinală – figura 5. Aceste tip de magnetizare se poate realiza folosind un cap de înregistrare toroidal (fig. 5.a), prevăzut cu întrefier, două piese polare (fig. 5.b) sau o singură piesă polară (fig. 5.c). În toate cele trei cazuri apar și câmpurile magnetice transversale, în special înspre marginile întrefierului. În locul unde liniile magnetice de forță ale fluxului magnetic intră sau ieș din întrefier (muchile acestuia), componenta transversală a câmpului magnetic (1) este maximă, iar numai în mijlocul întrefierului apare



5

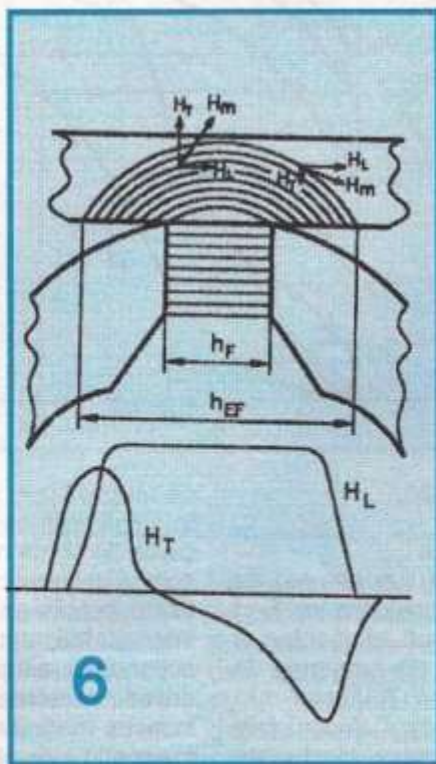


o magnetizare longitudinală pură (2). Analizând în amănunt fenomenele magnetice referitoare la capul de înregistrare toroidal (fig. 5.a), se observă că liniile fluxului magnetic încep să lasă din zona întrefierului chiar înainte de muchile acestuia – **figura 6**. Lungimea efectivă (h_{EF}) practică a circuitului magnetic din întrefier este întotdeauna mai mare decât lungimea fizică (h_F) a întrefierului. Acțiunea componentei transversale a câmpului magnetic destinat magnetizării benzii este deosebit de dăunătoare înregistrării magnetice datorită următoarelor implicații:

- magnetizează transversal într-o direcție nedorită particulele magnetice ale benzii, micșorând energia magnetică remanentă a înregistrării;
 - modifică repartitia câmpului magnetic din întrefier, care pentru realizarea unei bune înregistrări trebuie să scadă rapid spre marginile întrefierului.

Datorită acestor considerente, componenta transversală (H_T) a câmpului magnetic destinat înregistrării magnetice trebuie să fie cât mai redusă. În urma măsurătorilor practice s-a constatat că această componentă nedorită este cu atât mai mare cu cât întrefierul capului magnetic de înregistrare este mai îngust. Acest fapt constituie totodată o piedică serioasă la ștergerea benzilor cu ajutorul capului magnetic obișnuit de ștergere, care au fost

Înregistrate supramodulat. Situația este întâlnită frecvent în practică, atunci când banda este magnetizată prea puternic. În cazul supramodulației apare, pe lângă magnetizarea transversală, și o magnetizare longitudinală (H_L) deosebit de puternică față de cazul normal. În momentul în care se realizează ștergerea benzii magnetice, deoarece capul de ștergere are un întrefier mult mai mare decât capul de înregistrare,



acțiunea de ștergere a benzii magnetice (de demagnetizare) se manifestă numai asupra componentei longitudinale a câmpului magnetic remanent. Acțiunea capului magnetic de ștergere devine insuficientă pentru ștergerea totală a componentei transversale propriei câmpului magnetic remanent. Câmpul magnetic de ștergere influențează această componentă numai în punctele unde liniile de forță ale fluxului magnetic de ștergere ies din întrefier, perpendicular pe suprafața miezului magnetic. În aceste locuri câmpul magnetic de ștergere are o valoare redusă, insuficientă pentru o demagnetizare totală. Rezultatul final este rămânerea benzii magnetice cu o magnetizare transversală. Deoarece capul magnetic de redare are o construcție foarte asemănătoare cu cea a capului magnetic de înregistrare (unele magnetofoane folosesc același cap pentru înregistrare și redare), în momentul redării se preia informația sonoră nedorită rămasă pe banda magnetică deoarece lățimea întrefierului și repartiția câmpului magnetic sunt foarte asemănătoare. O bandă magnetică înregistrată supramodulat se poate șterge complet folosind numai un câmp magnetic de ștergere foarte puternic și cu componente multiple, atât transversale cât și longitudinale. Se poate folosi o bobină alimentată de la rețeaua de curent alternativ. Câmpul magnetic de dis-

persie, puternic și îndreptat în toate direcțiile, realizează acțiunea de stergere totală a benzii magnetice.

Un alt factor care implică repartitia câmpului magnetic în întrefierul capului magnetic de înregistrare este permeabilitatea magnetică a benzii comparativ cu cea a capului magnetic. Dacă permeabilitatea magnetică a benzii nu este destul de mare în raport cu cea a capului magnetic, liniile fluxului magnetic, urmând un drum de reluctanță minimă, părăsesc întrefierul cu mult înainte de locul fizic al acestuia. Apare efectul de lărgire suplimentară a întrefierului efectiv, cumulat cu un câmp magnetic cu componentă transversală mare. Acest fapt este deosebit de dăunător la înregistrarea semnalelor audio cu frecvență mare. În cazul unei permeabilități reduse a benzii magnetice, liniile de forță ale fluxului magnetic părăsesc întrefierul chiar în zona lui fizică, iar înregistrarea benzii magnetice se face într-un mod neficient. De aici rezultă că banda magnetică trebuie să aibă o permeabilitate magnetică relativ redusă pentru efectuarea unei înregistrări magnetice de calitate în ceea ce privește semnalele de audiofrecvență de frecvență înaltă. Totuși, permeabilitatea benzii magnetice nu trebuie să fie nici prea mică, deoarece în acest caz fluxul magnetic util din întrefierul capului magnetic de înregistrare se poate închide prin aer. Din această cauză permeabilitatea magnetică relativă a materialului magnetic propriu benzii magnetice este cuprinsă în interval de circa 5...20.

1.4. Înregistrarea benzii magnetice

O bandă magnetică înregistrată cu un semnal de audiofrecvență sinusoidal se poate considera ca fiind compusă dintr-o serie de mici magneti elementari a căror lungime este egală cu jumătate din lungimea de undă a semnalului înregistrat – figura 7. Acești mici magneti trebuie să producă, în momentul trecerii prin fața capului magnetic de redare, o tensiune electromo-

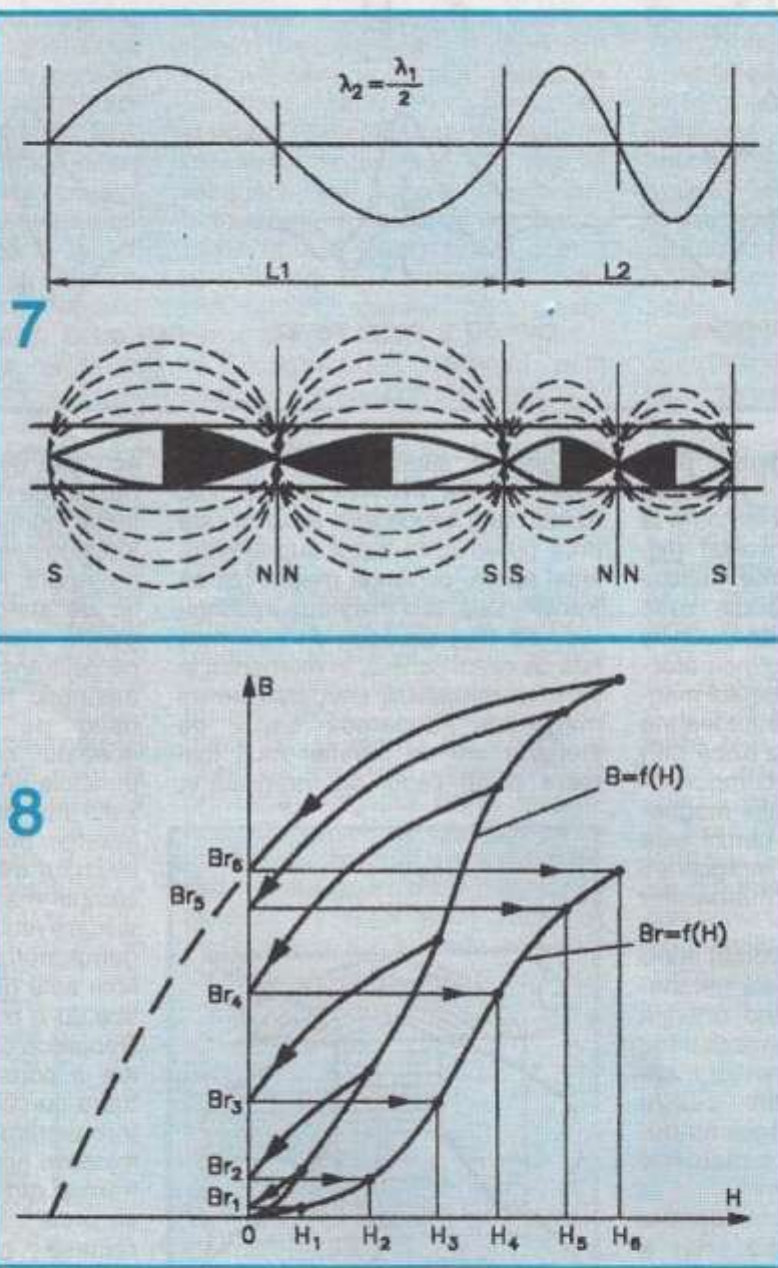
toare care trebuie să fie identică din punct de vedere al modului de variație cu cea a semnalului electric înregistrat inițial. Același lucru se produce și în cazul înregistrării semnalului de audiofrecvență care are o formă de undă complexă. Înregistrarea unui semnal de audiofrecvență se poate efectua în trei moduri:

- înregistrare fără premagnetizare (polarizare);
- înregistrare cu pregmagnetizare de curent continuu;
- înregistrare cu pregmagnetizare folosind un curent alternativ de înaltă frecvență.

Această ordine a expunerii reflectă totodată ordinea cronologică de abordare și perfecționare în timp a problemei înregistrării semnalelor de audiofrecvență folosind banda magnetică.

1.4.1. Înregistrare fără premagnetizare

Orice corp feromagnetic supus unui câmp magnetizant H capătă inițial o inducție magnetică instantanea B . După ce câmpul magnetic dispare, corpul feromagnetic rămâne cu o inducție magnetică remanentă Br , mai mică decât valoarea inițială a inducției magnetice instanțane B . Rezultă că în urma magnetizării, pentru diferite valori ale câmpului magnetic H se obțin o serie de valori ale inducției magnetice remanente Br . În funcție de curba de histeresis de primă magnetizare a corpurii feromagnetic studiat, se poate obține caracteristica de transfer $Br = f(H)$, care stabilește de fapt modul de variație, de la efect la cauză, a fenomenului



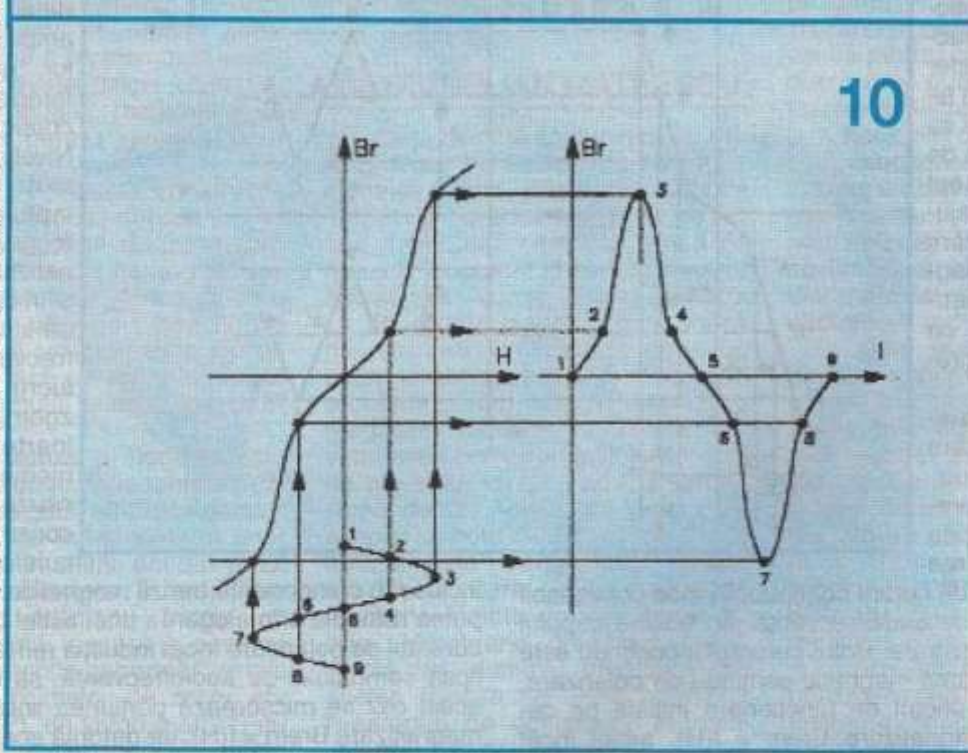
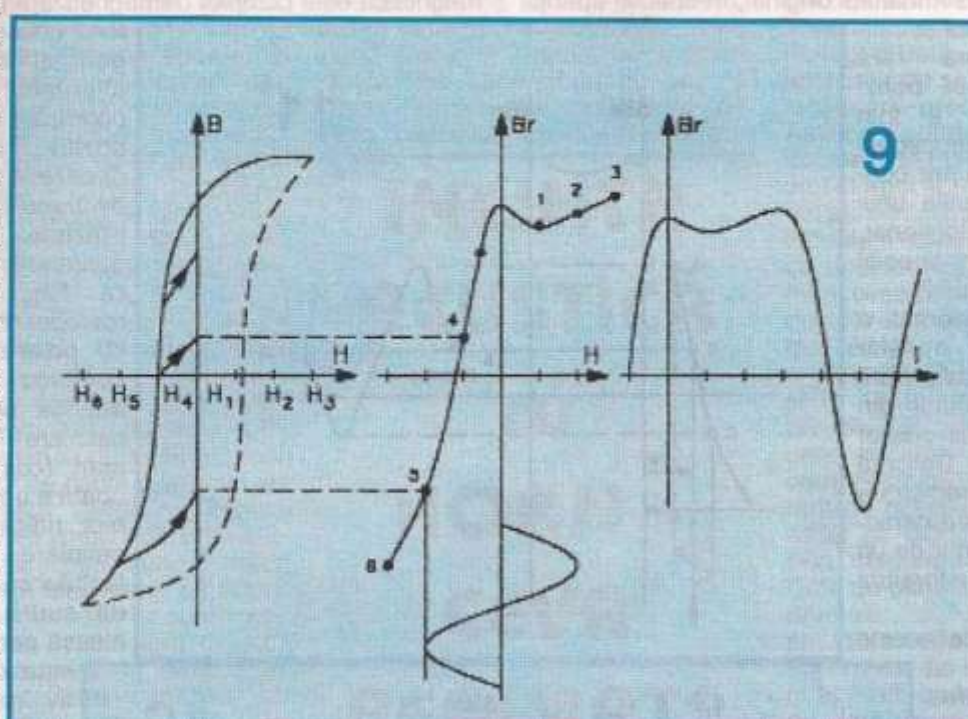
de magnetizare. Cele precizate anterior sunt valabile și în cazul unei benzi magnetizate inițial. Diferența dintre curba de primă magnetizare și caracteristica de transfer constă în faptul că în primul caz curba de primă magnetizare precizează relația dintre inducția magnetică și intensitatea unui câmp magnetic atât timp cât el acționează asupra benzii magnetice, iar în cazul al doilea, caracteristica de transfer oferă relația dintre inducția magnetică remanentă și intensitatea câmpului magnetic, după ce acțiunea acestuia a încremat.

Analizând diagramele din figura 8 se observă că în momentul în care o particulă a benzii magnetice intră în zona întrefierului capului magnetic de înregistrare, dacă intensitatea câmpului magnetic are valoarea H_1 , particula se magnetizează după curba de primă magnetizare, până la valoarea inducției magnetice B_1 . După ce particula magnetică părăsește zona întrefierului, ea păstrează o inducție magnetică remanentă B_{r1} , determinată de o curbă minoră de histerezis. În funcție de valorile $H_1, H_2 \dots H_n$ se obțin valorile $B_{r1}, B_{r2} \dots B_m$. În acest mod se poate construi caracteristica de transfer $B_r = f(H)$. Se observă că diagrama a fost construită pentru particula magnetică elementară a benzii magnetice care a ajuns în dreptul întrefierului cu o magnetizare inițială nulă. În cazul în care particula magnetică din fața întrefierului ar sta pe loc, iar valoarea câmpului magnetic să ar modifica, spre exemplu de la valoarea H_1 la valoarea H_5 , după încreșterea acțiunii câmpului magnetic ea rămâne magnetizată cu inducția magnetică remanentă B_{r5} . Dacă banda magnetică a fost inițial stearnsă folosind un câmp magnetic continuu, adică adusă în starea de saturare, se obține o caracteristică de transfer similară cu cea prezentată în figura 9. Se observă că în acest caz un câmp magnetic H pozitiv, care tinde să ridice valoarea inducției magnetice instantanee B , nu reușește decât să producă variații mici ale inducției magnetice remanente (punctele 1, 2 și 3).

Valorile negative ale câmpului magnetic H tind să depărțeze particulele magnetice ale benzii de starea de saturare, producând variații mari ale inducției magnetice remanente B_r (punctele 4, 5 și 6). Dacă în capul magnetic de înregistrare se aplică un semnal sinusoidal, banda magnetică saturată rămâne cu o inducție magnetică remanentă B_r , similară cu situația prezentată în figura 9. Rezultă că la redare apar distorsiuni neliniare foarte pronunțate, semnalul audio fiind influențat în special de armonica a 2-a. Cazul unei benzii magnetice cu inducție remanentă 0 (stearnsă cu ajutorul unui câmp magnetic alternativ) are caracteristica de transfer $B_{rem} = f(H)$ prezentată în figura 10.

Dacă la bornele capului magnetic de înregistrare se aplică un semnal electric sinusoidal, inducția magnetică remanentă B_r din banda magnetică prezintă formă de undă din figura 10. Se observă că ea este puternic distorsionată, fiind prezentă în mod special armonica de ordinul 3. Acest lucru se datorează caracteristicii de transfer neliniare, deformată puternic în jurul originii axelor rectangulare ale diagramei $B_{rem} = f(H)$.

Analizând cele expuse anterior, se desprind urmă-



toarele concluzii:

- înregistrarea fără polarizare a unei benzi magnetice care nu a mai fost înregistrată inițial sau care a fost stearsă folosind procedeul de ștergere în curent alternativ implică apariția unor distorsiuni importante ale formei de undă a semnalului original, în special apariția armonicii de ordinul 3;

- înregistrarea fără polarizare a unei benzi magnetice care a fost stearsă folosind procedeul de ștergere în curent continuu implică apariția unui semnal total distorsionat, fiind prezentă în special armonica de ordinul 2;

- forma distorsionată a caracteristicii de transfer $Brem = f(H)$ se datorează în special inflexiunii din apropierea originii axelor rectangulare. Datorită acestui fapt, o înregistrare fără polarizare este caracterizată în mod sigur de un coeficient de distorsiuni pronunțat.

Tinând cont de aceste considerente, se impune mutarea punctului de funcționare inițial pe caracteristica de transfer $Brem = f(H)$ în așa fel încât înregistrarea să prezinte un minim de distorsiuni. Acest lucru se face cu ajutorul polarizării inițiale a benzii magnetice (premagnetizare), înainte ca aceasta să fie înregistrată.

1.4.2. Înregistrarea cu polarizare de curent continuu

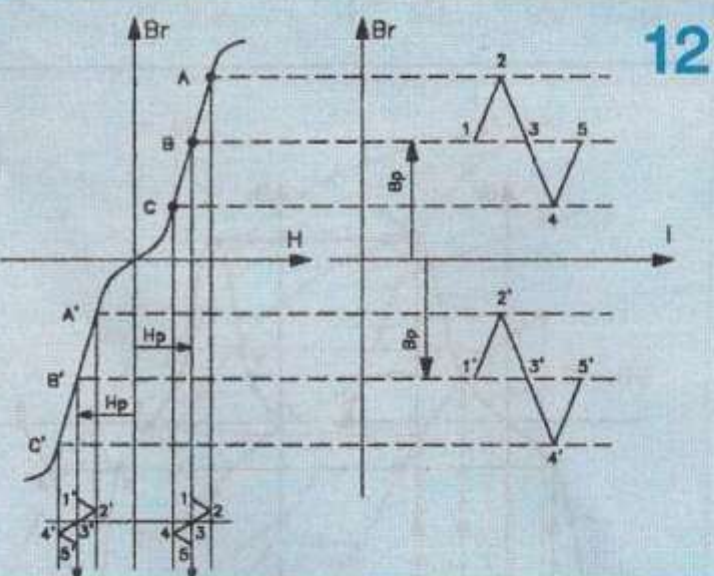
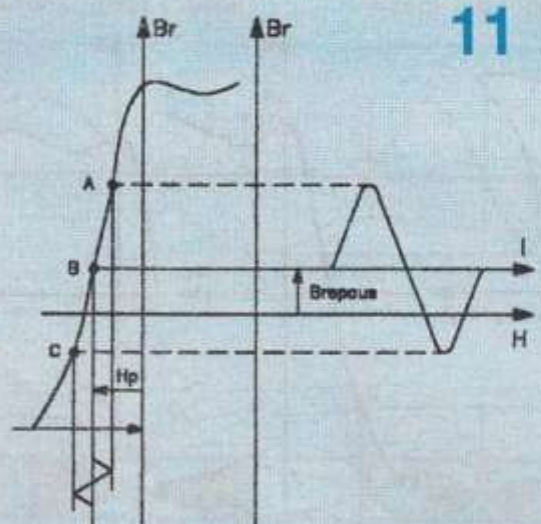
Acest tip de înregistrare se obține prin suprapunerea unei componente de curent continuu, în mod convenabil alese, curentului de audiofrecvență din bobina capului magnetic de înregistrare. Rolul curentului continuu este de a genera un câmp magnetic continuu de polarizare, care determină punctul de funcționare inițială pe caracteristica de magnetizare $Brem = f(H)$, astfel încât intervalul de variație a inducției magnetice remanente $Brem$, determinată de curentul alternativ, să se situeze într-o porțiune liniară (vezi figura 11). Dacă se utilizează o bandă magnetică ce a fost stearsă inițial prin aducerea în stare de saturatie (cu un câmp magnetic continuu constant generat de un curent continuu), punctul de funcționare se alege în mijlocul porțiunii liniare a caracteristicii de transfer $Brem = f(H)$ folosind un câmp mag-

netic de polaritate negativă. Curentul datorat semnalului de audiofrecvență, suprpus curentului de polarizare, creează în banda magnetică o inducție magnetică remanentă proporțională cu acesteia, situație în care distorsiunile neliniare sunt mult mai reduse. Dacă banda magnetică este complet demagnetizată (stearsă cu ajutorul unui câmp magnetic generat de un curent alternativ), curentul de polarizare se poate alege pozitiv sau negativ, deoarece caracteristica de transfer $Brem = f(H)$ prezintă două porțiuni aproape liniare (vezi figura 12).

Dezavantajele metodei de înregistrare cu polarizare în curent continuu constau în apariția unor distorsiuni neliniare THD destul de mari (cca 10%) și totodată a unui nivel de zgomot ridicat. Distorsiunile neliniare apar datorită faptului că forma porțiunii de curbă $Brem = f(H)$ aleasă pentru funcționare este doar aproximativ rectilinie, iar o dată cu creșterea amplitudinii semnalului audio destinat înregistrării, crește și coeficientul THD. Nivelul mare de zgomot se datorează faptului că banda magnetică este magnetizată inițial, chiar și în cazul lipsei semnalului de audiofrecvență. Acest lucru provoacă un zgomot de fond foarte neplăcut în momentul redării, din cauza neomogenității constructive a particulelor magnetice

inclusă în compoziția benzii magnetice. Neajunsul să se putea remedia prin alegerea unei astfel de valori pentru curentul de polarizare încât inducția remanentă $Brem$, în lipsa semnalului de audiofrecvență, să fie nulă, dar în acest caz se micșorează porțiunea liniară a curbei de magnetizare $Brem = f(H)$, iar datorită acestui fapt trebuie micșorată amplitudinea semnalului audio util. În această situație în mod sigur crește raportul semnal-zgomot, dar concomitent este micșorată și dinamica înregistrării. Datorită acestor considerante, metoda înregistrării cu polarizare în curent continuu nu a avut o extindere prea mare, fiind înlocuită aproape exclusiv de înregistrarea cu polarizare în curent alternativ de înaltă frecvență.

(Continuare în nr. viitor)



Scopul articolului prezentat în cele ce urmăzează îl va forma și introducerea necesară înțelegerii acestei abordări privind incintele acustice. În urmă cu ceva timp (cam 30 de ani), posibilitățile de documentare în unele domenii erau relativ limitate, în domeniul acusticii situația fiind și mai dificilă datorită slabiei abordării a unei probleme considerate periferice, atenția fiind concentrată pe "produția de bunuri materiale". Accesul la "cultura Hi-Fi" era limitat la câteva date provenite din puține cărți aflate în biblioteci, iar evoluția la zi a fenomenului era reflectată de prospectele și revistele puține care treceau granitete.

După 1989 speram ca interesul unui mare număr de constructori amatori să se îndrepte și către documentare pentru abordarea unor lucruri noi. Constat cu părere de rău că cei interesați sunt puțini și, deși numărul celor ce caută informații pe Internet crește, anumite lucruri (neconuoșterea limbilor de circulație internațională, lipsa cunoștințelor tehnice etc.) îi blochează pe tinerii de azi în abordarea unor construcții care, mai ales în condițiile de azi, le-ar ușura accesul la muzică în condiții de calitate capabile să depășească nivelul mediu. E adevarat că aceasta presupune abordarea serioasă a problemelor, studiul unor fenomene fizice, chiar utilizarea unui aparat matematic de nivel mediu pentru găsirea unor soluții adecvate.

In ceea ce privește construcția de incinte acustice, abordarea de lucruri noi înseamnă de fapt reluarea unor soluții vechi, datând din anii 1920-1940. Pentru a lămuriri de ce o întoarcere în timp de peste 60 de ani reprezintă un progres și nu un regres, vom face o trecere în revistă a istoriei hornului acustic, pe scurt horn.

Statutul actual al hornului este influențat puternic de recentele dezvoltări în designul amplificatoarelor cu tuburi și de îmbunătățirea unor componente. În ultimii ani s-a putut observa o renaștere a amplificatoarelor echipate cu triode cu încălzire directă, în clasă A, ceea ce a redus în atenția generală "vechile soluții" ale incintelor de mare eficiență (cu SPL de valori mari). S-au redescoperit astfel calitățile uitate ale acestor incinte: pe lângă eficiență mare, acuratețea armonică a tonului, detalierea semnalului la nivel înalt, microdinamica, răspunsul tranzient exceptional, distorsiunile foarte reduse în toată gama de putere.

Scurt istoric al triodei și hornu-

ului. Vom urmări evoluția lor comună pentru că cele două elemente sunt practic imposibil de disociat.

Inventarea în 1923 a triodei a permis amplificarea semnalelor electrice până la valori care au făcut posibilă auditia lor într-o cameră. Acest lucru a fost posibil în 1927, când Wente și Thuras, doi ingineri de la Bell Laboratory, au pus la punct driverul de compresie cu horn, cunoscut sub numele de dri-

tere de ieșire foarte mare, atenția acusticienilor s-a îndreptat către îmbunătățirea soluțiilor celor mai eficiente de construcție a incintelor acustice, baza fiind hornul.

Driverele cu radiație directă, utilizate azi în cvasitotalitate, au fost îmbunătățite substanțial de Rice și Kellogg o dată cu evoluția materialelor utilizate și în primul rând a perfecționării producției de magneti. Astfel s-a putut trece de la utilizarea bobinelor la magnetii permanenti din oțel și apoi la magnetii de ferită sau din pământuri rare. În același timp, și tuburile electronice au evoluat, astfel că acestea au putut furniza puteri mari, ceea ce a permis utilizarea traductoarelor acustice cu eficiență mai redusă.

Apariția în 1947 a tranzistorului și în 1949 a circuitului integrat a constituit începutul unei noi ere, în care eficiența amplificatoarelor a compensat defectele difuzoarelor cu radiație directă. Fabricanții au putut astfel să reducă dramatic costurile prin utilizarea acestor difuzoare. Cota de piață a hornurilor s-a redus dramatic, o lungă perioadă fiind prezente doar în sistemele de sonorizare din teatre, cinematografe și aplicații unde eficiența mare era de dorit, în ciuda volumului mare. Trecând în revistă argumentele pro și contra pentru cele două tipuri de traductoare, putem sublinia următoarele aspecte:

- hornurile oferă o dinamică ridicată, nedepășită de alte tipuri de incinte; efectul stereofonic este mult mai pregnant și se prezintă pe o arie mai extinsă; distorsiunile armonice se limitează la maximum 25% din distorsiunile unei incinte pentru audiofilii cu radiator direct;

- cele mai multe radiatoare directe manifestă o compresie puternică a contrastelor dinamice și au o arie de imagine stereofonică mult mai redusă. În plus, se manifestă pregnant o colorație datorată compresiei dinamice: la puteri mari, atât frecvențele joase, cât și cele înalte au o tendință de alunecare spre mijlocul benzii audio, ceea ce se traduce printr-o creștere a nivelului mediilor;

- incintele cu radiatoare directe (difuzoare obisnuite) necesită amplificatoare de puteri mari pentru a reda cât de căt corect dinamica semnalului audio. Nu se pune problema utilizării unor amplificatoare cu tuburi pentru audiofilii, cu puteri mici, pentru că incintele vor "suna" reținut, neimplicat, sters.

Cum funcționează un horn? Hornurile au mai multe calități pentru care revin mereu în atenția con-

INCINTA ACUSTICĂ CU HORN - CEVA PERIMAT?

Ing. AURELIAN MATEESCU

Într-o perioadă de 20 de ani, între 1923 și anul inventării driverului, pentru audierea semnalelor electrice a fost utilizat un traductor format dintr-o bobină cu miez de fier și o membrană care era atrasă de miezul bobinei, adică ceva asemănător vechii căști telefonice! La acea dată magnetii permanenti nu oferă un camp magnetic puternic, din care cauză se folosea o bobină pentru crearea unui camp magnetic suficient. În schimb, driverul avea bobina mobilă din fir plat de aluminiu, ca un traductor profesional de azi! Acestui traductor i s-a asociat un horn care să eficientizeze functionarea traductorului peste nivelul la care acest traductor funcționa înainte de inventarea triodei. Membrana driverului era o calotă de aluminiu inversată (ca aceleia folosite de Jean Mahul la tweeterele ce echipează incintele JMLab!) Cei doi ingineri au echipat driverul și cu o piesă centrală cu rolul de dispersie în vederea păstrării fazelor corecte în banda de lucru. Dispusă între membrană și gâtul hornului, piesa permitea undelor sonore să formeze un front de undă coerent în gâtul hornului.

Deoarece trioda nu oferea o pu-

structoarelor și a iubitorilor muzicii. Hornul este un transformator al impedanței acustice. Atunci când o membrană vibrează, se creează unde de presiune în fața sa, unde percepute de ureche ca un sunet. Datorită densității diferite dintre membrană și aer, ca mediu de transmisie a sunetului, cuplarea celor două medii nu este ușoară, fapt care se poate traduce ca o diferență (neadaptare) de impedanță. Membrana vibratoare are o densitate mai mare (impedanță mai mare), în timp ce aerul, cu o densitate mai mică, prezintă o impedanță mai mică. Din fizică se știe că viteza de propagare a sunetului este mai mare în mediile cu densitate mai mare. Hornul acționează ca un mediu de tranziție, un intermediar între cele două medii aflate în discuție, creând o impedanță acustică ridicată pentru funcționarea în bune condiții a traductorului, respectiv membrana vibratoare. În acest fel, prin adaptarea celor două impedanțe diferite se poate îmbunătăți randamentul de transfer al puterii acustice către aer.

Simplu exprimat: un horn este un tub a cărui secțiune crește exponential; terminația de secțiune mică se numește gât (horn throat – lb. engleză), terminația de secțiune mare se numește gură (horn mouth). Traductorul (membrana vibratoare) se plasează la gâtu hornului, unde, prin vibrație, se generează unde de presiune ridicată, cu amplitudine mică, într-o arie redusă ca suprafață. Pe măsură ce undele de presiune încep să se deplaseze în lungul tubului către gura hornului, presiunea scade, iar amplitudinea undelor crește, obținându-se o amplificare eficientă. Această amplificare se obține cu distorsiuni foarte mici, sub cele generate de traductoarele convenționale, răspunsul tranzistorului este mult mai rapid și se obțin presiuni acustice superioare traductoarelor convenționale. De ce?

Distorsiunile mai mici la aceeași valoare a presiunii acustice sunt ușor de explicat. Distorsiunile generate de un traductor sunt direct proporționale cu mărimea (suprafața) membranei. Pentru aceeași valoare a SPL, un traductor convențional are o arie mai mare pentru a egaliza presiunea unui traductor cu horn. În plus, la excursii mari ale membranei, distorsiunile cresc, deci un traductor încărcat cu horn va genera un nivel mai mic de distorsiuni decât un traductor electro-mecanic.

Răspunsul tranzient mai rapid



este o consecință fizică a diferenței de dimensiuni. O membrană mai mică este mai ușoară, de aceea accelerează și decelerează mai rapid, ceea ce se traduce printr-un răspuns tranzient mai bun. Excursiile mici ale membranei ajută la obținerea unui răspuns rapid.

Valorile mari ale SPL pentru o putere determinată aplicată au o explicație la fel de simplă. Bobinele traductorului, cu diametre mici, folosesc eficient fluxul magnetic în care lucrează. Această creștere a eficienței traductorului permite lucrul mai ușor al amplificatorului care îl deservește și, în consecință, traductorul răspunde mai bine la vârfuri de semnal și creșteri rapide de putere, astfel că hornul va produce o presiune acustică mai mare la aceeași putere aplicată și, de asemenea, va produce o presiune acustică mai mare înainte de a distorsiona semnalul reprobus.

Toate avantajele prezentate mai sus au făcut ca, în ciuda unor gabarite mai mari, a unor construcții mai complicate, a unei proiectări mai dificile uneori, hornurile să nu dispară, în prezent fiind din nou din ce în ce mai prezente în realizările de vîrf ale unor firme de renume.

Incintele cu horn actuale utilizează principiile clasice de proiectare și, folosind îmbunătățirile tehnologice apărute în timp, asigură o redare curată și dinamică a muzicii. Acestea sunt capabile să lucreze cu amplificatoare de putere mică, echipate cu tuburi sau semi-conductoare, dar și cu amplificatoare cu puteri nominale de sute de wati, putând fi asociate oricărui sistem HI-FI, fără compresii de dinamică și cu un răspuns în frecvență corect la orice nivel, comparativ cu cele mai multe incinte convenționale.

ÎMBUNĂTĂȚIREA PERFORMANȚELOR CASETOFONULUI

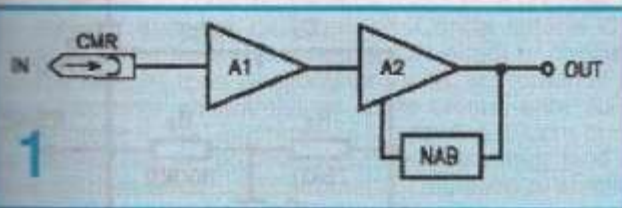
Prof. ing. EMIL MARIAN

Casetofonul reprezintă un aparat electroacustic care preia informația audio stocată pe banda magnetică a unei casete imprimate și o transformă într-un semnal audio, ce urmează ulterior a fi amplificat și în final transformat în oscilații sonore ce reflectă programul muzical sonor initial. Desigur că un casetofon perfectionat poate realiza și transformarea inversă, și anume program muzical sonor – imprimare pe bandă magnetică. Procedurile de imprimare – redare a sunetului au fost prezentate în revista TEHNIUM, cu lux de amânat. Din analiza materialelor prezentate până acum s-a constatat faptul că dificultatea esențială o reprezintă imprimarea și redarea nedistorionată a sunetelor de frecvență înaltă. Deși norma internațională, universală în lume, ce prevește imprimarea și redarea unui program muzical sonor de pe bandă magnetică – norma NAB – reglementează și, evident, îmbunătățește imprimarea și redarea sunetului, acest lucru nu este suficient pentru păstrarea unei adevărate fidelități sonore. Spectrul de frecvență al unui program muzical sonor complex reprezintă o combinație multiplă de sunete cu frecvențe

prezentate în figura 2. Acest sistem "suferă" însă de un inconvenient esențial: o dată cu uzura întrerierului capului magnetic de redare CMR, el nu mai poate "preluă" corespunzător informația sonoră ce privește semnalele de frecvență înaltă. Deși "informația" care privește frecvențele înalte este bine "menționată" pe banda magnetică, preamplificatorul de redare "nu o mai citește"!

O primă ameliorare o conține schema-bloc prezentată în figura 3. Se observă că "în paralel" cu CMR a fost amplasat un condensator C_x . Să nu uităm faptul că, din punct de vedere electric, CMR reprezintă de fapt o bobină cu miez de fier. Am obținut în final un circuit LC_x , care automat prezintă o impedanță maximă în zona frecvenței de rezonanță. Deci, în această zonă, semnalul audio "cules" de pe banda magnetică prezintă automat o amplitudine mai mare, tocmai în zona frecvențelor înalte! Dimensionarea capacitatii condensatorului C_x se face astfel încât, o dată cu uzura inevitabilă în timp a CMR, circuitul LC_x "să-si facă treaba"! Practic, condensatorul C_x va prezenta o capacitate de ordinul sutelor de picofarazi (maxim $1\text{--}2\text{ nF}$). Pentru un calcul precis, nu strică să măsură inductanța CMR, după care, pentru dimensionarea condensatorului C_x , se alege frecvența de rezonanță $f_{CR} = 22\text{ kHz}$, iar capacitatea C_x rezultă imediat din relația $f_{CR} = 1/2\pi \sqrt{LC_x}$. În acest fel prelungim "durata de viață" a casetofonului cu cca $1\text{--}2$ ani, fără intervenții suplimentare pretenioase!

O altă modalitate de rezolvare a problemei este



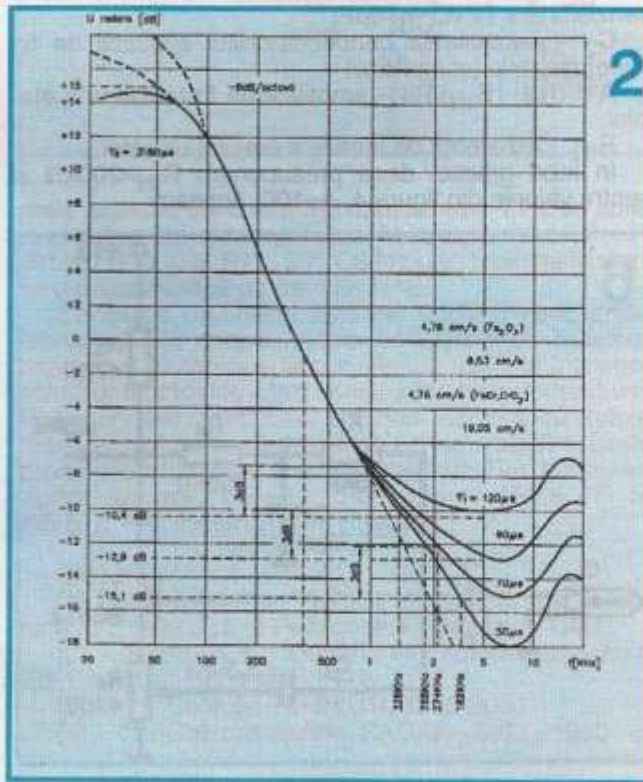
ioase, medii și înalte. Atenuarea, și nu de puține ori, lipsă sunetelor de frecvență înaltă, frustrează decisiv o înregistrare magnetică bună, pe care casetofonul nu este în stare să o pună în adevărată ei valoare.

În acest articol mi-am propus să prezint o serie de modalități practice de îmbunătățire a performanțelor unui casetofon deja realizat – industrial – folosind o serie de adaptări și modificări nepretențioase asupra preamplificatorului de redare din casetofon. Datele problemei sunt următoarele:

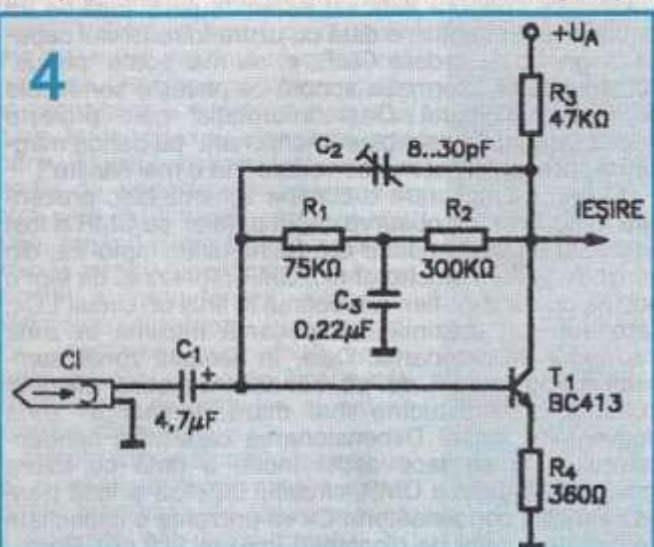
- casetofonul definește o parte mecanică bună, în special partea mecanică a derulării de tip PLAY;
- casetofonul nu prezintă posibilitatea ca banda magnetică să fie antrenată în timp cu viteze diferite (are regulator electronic de turăție);
- capul magnetic de redare nu prezintă o uzură foarte accentuată, fiind poziționat corect față de banda magnetică.

În caz contrar, eforturile noastre de a îmbunătăți performanțele casetofonului devin din start inutile.

Schema bloc a unui amplificator de redare pentru capul magnetic CMR din dotarea casetofonului este prezentată în figura 1. Se observă prezența a două amplificatoare, A1 și A2. Primul amplificator, A1, ridică initial nivelul semnalului electric furnizat de capul magnetic de redare, CMR, iar al doilea amplificator, A2, realizează corecția NAB a semnalului audio preluat de pe banda magnetică, în conformitate cu diagramele



prezentată în schema electrică din figura 4. Alegerea configurației schemei electrice se bazează pe utilizarea efectului MILLER, și anume creșterea capacității virtuale a unui condensator prin conectarea lui într-o buclă de reacție amplasată între intrarea și ieșirea unui etaj de amplificare. În cazul schemei electrice prezentate în figura 4, condensatorul de reacție C_2 este amplasat între baza și colectorul tranzistorului T_1 , polarizat de grupul R_1, R_2, C_3 . Condensatorul C_3 previne rein-toarcerea componentei alternative a semnalului amplificat, preluat de la CMR, la intrarea acestui etaj amplificator.



cator de tensiune. În acest fel se evită apariția unei reacții pozitive de tensiune, de bandă largă, ce ar perturba în mod sigur buna funcționare a amplificatorului (instabilitate, oscilații etc.). Capacitatea de intrare virtuală bază-emitor a tranzistorului T_1 se poate determina conform relației:

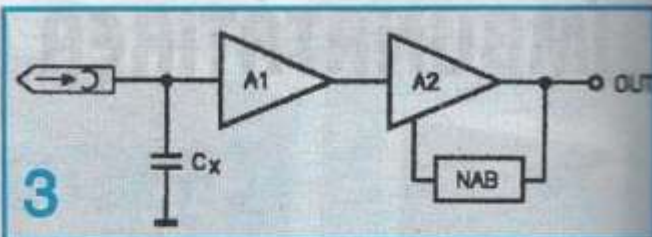
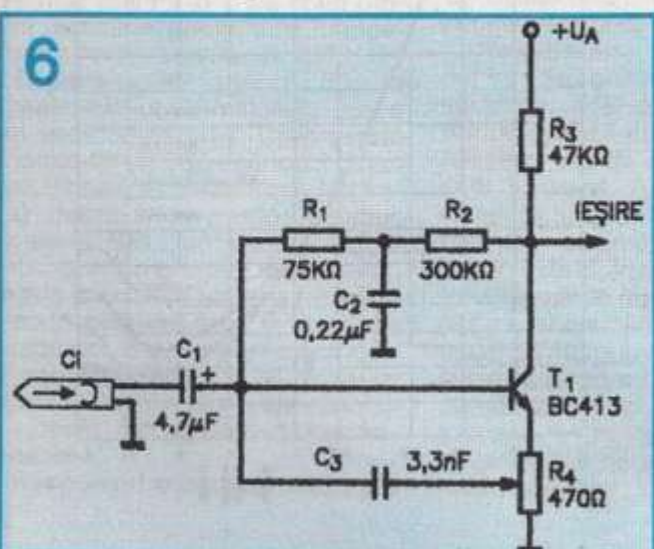
$$C = (C_{CB} + C_2) (A-1), \text{ unde}$$

C_{CB} – capacitatea intrinsecă colector-bază a tranzistorului T_1 ($C_{CB} \approx 6 \text{ pF}$)

C_2 – capacitatea condensatorului ajustabil de tip trimer ceramic (obligatoriu)

$A = (R_3 || R_{IN}) / R_4$ – amplificarea în tensiune a etajului

R_{IN} – rezistența de intrare a etajului următor
în mod practic, dacă presupunem $R_{IN} = 200 \text{ k}\Omega$ și pentru valorile din figura 4, $A \approx 100$, obținem:



$$Cx = [6 + (8 \div 30)] \cdot (100 - 1) \approx 1386 \div 3564 \text{ pF}$$

Se observă că gama de valori pentru condensatorul Cx este pe deplin acoperitoare pentru acordarea circuitului rezonant LC_x de intrare al preamplificatorului.

O altă variantă în ceea ce privește obținerea unui circuit rezonant LC de intrare este prezentată în figura 5. Conform acestei configurații a schemei, valoarea finală a condensatorului Cx este dată de relația:

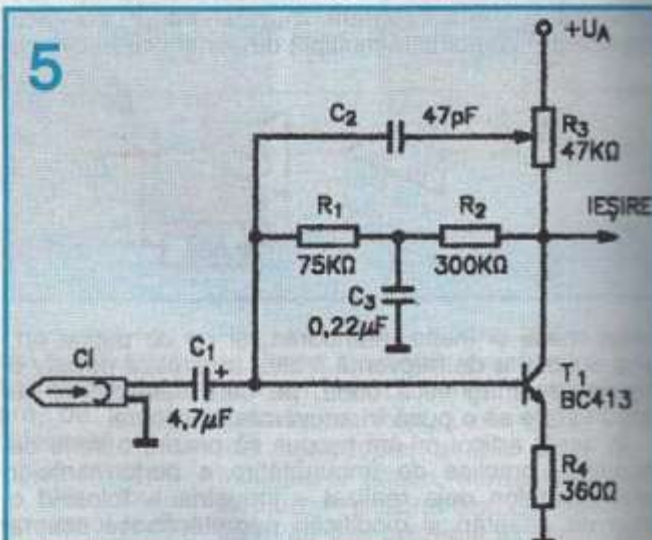
$$Cx = (C_2 \delta_0 + C_{CB})(A-1), \text{ unde}$$

$\delta = (0+1) - \text{coeficientul de transmisie dat de acționarea potențiometrului } R_3$

$$Cx = [47(0+1) + 6] \times (100 - 1) = 549 \div 5346 \text{ pF}$$

Se observă că, și în acest caz, plaja de variație a capacității virtuale de intrare Cx este acoperitoare pentru stabilirea frecvenței de rezonanță a circuitului de intrare LC_x propriu grupului CMR- Cx .

O altă variantă de rezolvare a problemei, evident atunci când etajul de intrare conține tranzistoare, o reprezintă schema electrică din figura 6. De această dată potențiometrul semireglabil R_4 , amplasat în emi-



torul tranzistorului T_1 , oferă rezolvarea problemei. Reglajul de capacitate este impus de condensatorul C_3 , amplasat între cursorul potențiometrului R_4 și intrarea montajului.

Capacitatea condensatorului C_3 se dimensionează conform relației:

$$C = C_3(1 - \delta \times k), \text{ unde } \delta = (0+1)$$

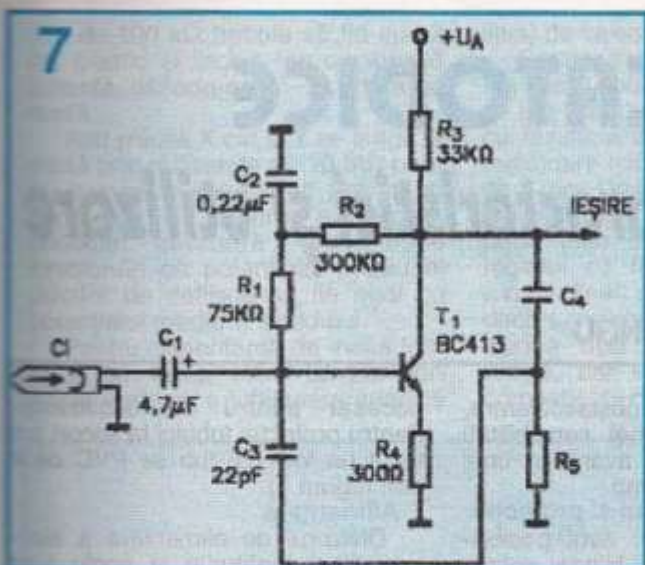
k – coeficientul de transmisie al etajului amplificator, prin circuitul emitor ($k \leq 10$) – $k \approx 0,6$

Rezultă imediat:

$$Cx = 3300[1 - (0+1) \times 0,6] = 3300 \div 1300 \text{ pF}$$

Atunci când cursorul potențiometrului R_4 este la masa montajului, capacitatea condensatorului Cx va fi maximă. Odată cu "mișcarea" cursorului potențiometrului R_4 " spre emitor", capacitatea Cx scade, până la cca 40% din valoarea inițială. Această variantă oferă posibilități mai restrâns de reglaj al circuitului rezonant LC_x , dar mai sigure!

7



Precizez că variantele constructive practice prezentate până acum, referitor la ameliorarea performanțelor CMR, dă rezultate dacă acesta este "relativ bun" și are pierderi foarte mici (vezi pierderile în fier și cele datorate uzurii întrefierului). Dar ce ne facem cu un CMR "obișnuit"? În acest caz trebuie să folosim mijloace "mai dure". Variantele constructive prezentate până acum trebuie suplimentate de către reacția pozitivă subunitară, aplicată cu grijă și precauțiunile necesare (altfel amplificatorul începe să oscileze).

O soluție practică de aplicare a unei reacții pozitive suplimentare în zona frecvențelor înalte este prezentată în schema electrică din figura 7. Condensatorul C3, inclus în bucla de reacție pozitivă subunitară își execută funcția doar în zona frecvențelor înalte. În momentul în care frecvența semnalului de ieșire crește, spre zona frecvențelor înalte, reactanța lui scade. Acest lucru duce la mărirea reacției pozitive subunitare, rezultatul fiind în final mărirea amplitudinii semnalului de ieșire al amplificatorului, în zona frecvențelor înalte.

Prezența grupului C4, R5 face ca, de la o anumită frecvență din zona frecvențelor înalte, coeficientul de transmisie al acestui grup să crească. Rezultatul este creșterea capacității virtuale de intrare Cx, iar urmarea este micșorarea frecvenței de rezonanță a grupului de intrare L, C. Se menționează faptul că reacția pozitivă subunitară se alege astfel încât să nu apară posibilitatea de oscilație a etajului de intrare. În urma acestui "aranjament" al schemei electrice, este majorată eficiența circuitului rezonant L, Cx în ceea ce privește compensarea pierderilor din CMR la frecvențe înalte. Constanta de

temp a grupului C4, R5 se alege astfel încât să fie îndeplinită relația:

$$\tau = C4R5 \leq 1/2\pi f_c, \text{ unde}$$

f_c = frecvență limită superioară din banda audio redată de casetofon (cca 18kHz).

Pentru un acord fin al frecvenței f_c , condensatorul C3 se poate înlocui cu un condensator ajustabil de tip trimer (ceramic).

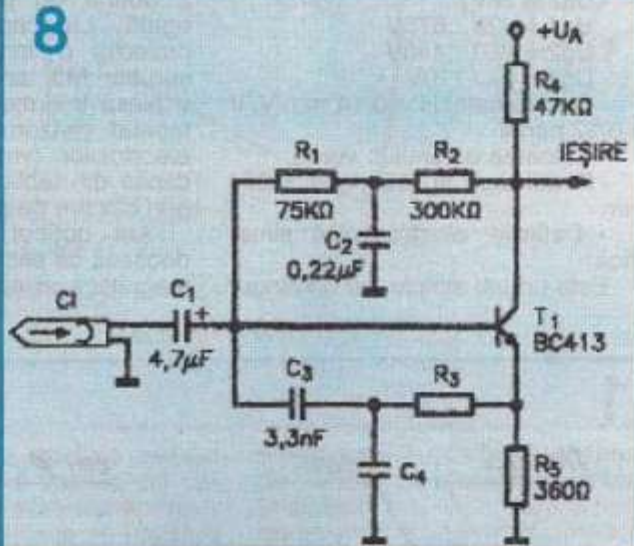
O altă variantă de compensare a pierderilor la frecvență înaltă este schema electrică prezentată în figura 8. În acest caz, parametrii elementelor constitutive proprii rețelei de compensare se dimensionează conform relației:

$$C4R5 = 1/2 \pi f_c$$

Se observă imediat că se utilizează efectul de separare a capacității față de rețea de tip filtru trece-sus realizată cu ajutorul grupului C4, R3.

In figura 9 este prezentată schema electrică a unui preamplificator de redare realizat cu tranzistoare, conform schemei bloc prezentate în figura 1. Prima amplificare în tensiune se realizează cu ajutorul etajului amplificator ce conține tranzistorul T1. Amplificarea este de cca 45dB. Se remarcă imediat prezența condensatorului C3, care realizează compensarea de frecvență în zona frecvențelor înalte. Semnalul de intrare amplificat se

8



preia galvanic din colectorul tranzistorului T1 și se aplică la al doilea etaj de amplificare, în baza tranzistorului T2. Grupul R10, C6, R11, C7, C8 impune preamplificatorului o caracteristică de transfer NAB.

Concluzia articolului este că, folosind niște artificii tehnice relativ simple, putem transforma un casetofon relativ bun în altul foarte bun. Pentru usurința înțelegerei soluțiilor tehnice de către constructorul amator de audiu Hi-Fi, am prezentat doar scheme electrice cu tranzistoare. Modul de lucru este însă perfect valabil și pentru preamplificatoarele cu circuite integrate. Dar, pentru a le aplica eficient, constructorul amator TREBUIE SĂ INVESTE tehnica circuitelor integrate.

BIBLIOGRAFIE

- [1] - DASCĂLU D., TURICI I. s.a., Circuite electronice, Ed. Didactică și Pedagogică, București, 1981
- [2] - MARIAN E., Depanarea radiocasetoanelor, Ed. Cantemir, București, 1997
- [3] - *** - Colectia TEHNIMUM, 1990-2000
- [4] - *** - Colectia revistei RADIO - C.S.I., 1990

TUBURILE CATODICE

OR/100/2 (B 10 S1) - Caracteristici și utilizare

Ing. I. LUNGU

Piesa principală a oricărui osciloscop este tubul catodic. Variația tuburilor catodice este foarte mare, dar posibilitățile de alegere foarte mici, deoarece nu se fabrică în țară și importurile sunt practic inexistente.

Un tub relativ răspândit este cel notat în titlu, fabricat în fosta R.D.G. și are următoarele caracteristici:

- $U_f = 4V$; $I_f = 0,9 A$
- $U_{a2} = 2kV$
- $U_{a1} = 425 \dots 675 V$
- $U_{g2} = 360 \dots 440 V$
- $U_{g1} = 0 \dots -110 V$
- Sensibilitate: $H = 0,14 \text{ mm/V}$; $V = 0,17 \text{ mm/V}$
- Culoarea ecranului: verde
- Dimensiuni: $\Phi 103 \text{ mm}$, $L = 254 \text{ mm}$
- Deflexie: electrostatică simetrică

Este un tub simplu, cu un singur

spot, fără anod de postaccelerare, are dezavantajul unei sensibilități relativ mici, dar și avantajul unui spot fin și stabil în timp.

Măsuri de ecranare și protecție

Deoarece nu am avut posibilitatea executării unui blindaj sofisticat din permalloy, am folosit o țeavă de oțel $\Phi 114 \times 4 \text{ mm}$ cu lungimea de 250 mm, strunjită la exterior la 110 mm și curătată la interior pentru a obține un perete de grosime egală. La capătul anterior am proiectat o flansă, montată cu 4 șuruburi M3, iar la capătul posterior o piesă intermediară pe care este montat divizorul de alimentare a electrozilor (vezi figura 1) și un capac din tablă de 1 mm, realizat prin călcare pe strung (druckbank).

Am obținut astfel un blindaj deosebit de eficient față de câmpuri magnetice exterioare, lucru absolut

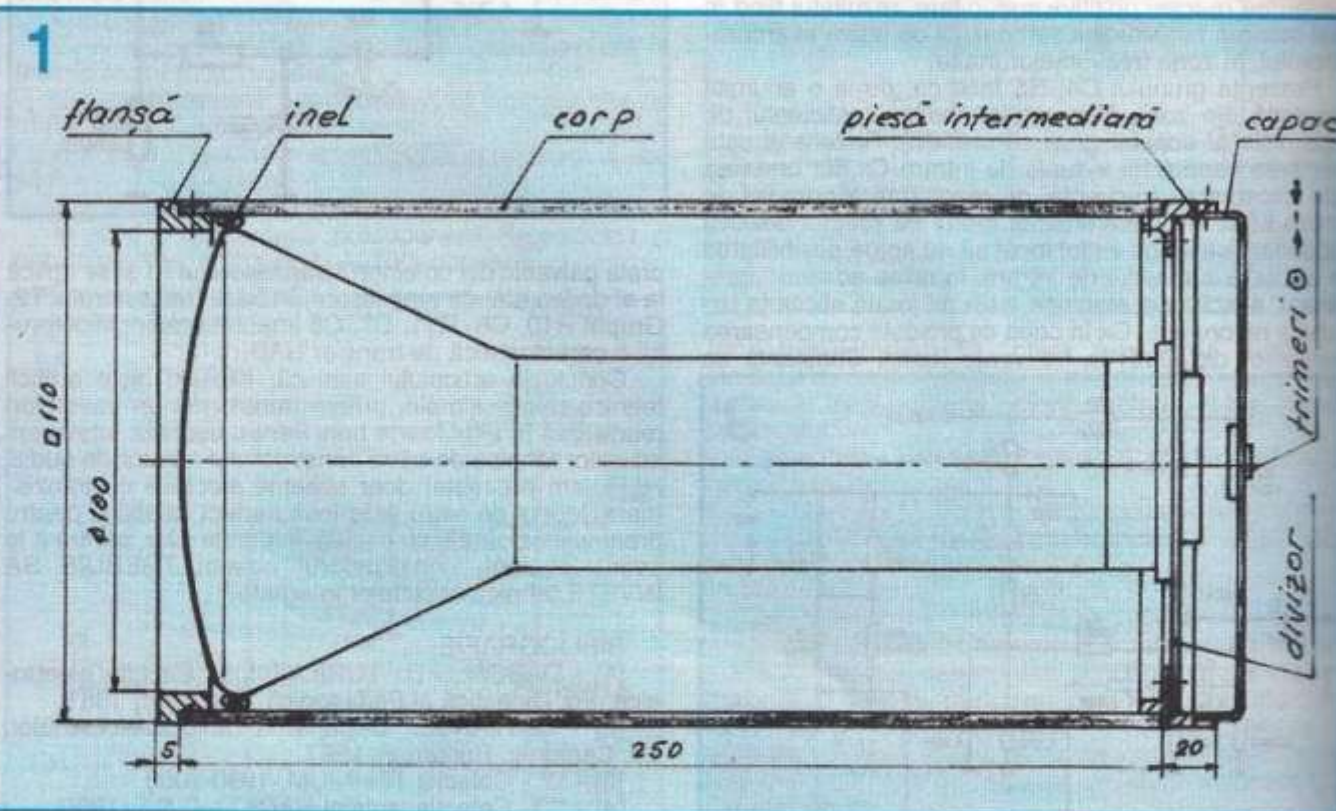
necesar pentru un osciloscop. Pentru protecția tubului la șocuri am făcut un inel din tub de PVC de 4 mm (figura 1).

Alimentare

Divizorul de alimentare a electrozilor și legăturile la soclu sunt prezentate în figura 2. Săgețile de lângă semnele x și y arată sensul deplasării spotului pe ecran dacă pe electrozi respectivi se aplică un potențial pozitiv.

Alimentarea de 2 kV fiind făcută cu tensiune stabilizată, am amplasat reglajele de focalizare și astigmatism pe capacul din spate, deoarece am constatat că o dată reglate, nu trebuie umblat la ele decât foarte rar și nu era cazul să încarc inutil panoul frontal, pe care pentru tub rămâne numai butonul de luminozitate.

Potențiometrul de reglaj strâns



cire de $100\text{ k}\Omega$ trebuie să fie cu ax din plastic și închis într-o carcăză izolantă, aflându-se la -2kV față de masă.

Atât plăcile X cât și Y se leagă la masă prin rezistențe de $10\text{ M}\Omega$ pentru a avea o impedanță definită și constantă și pentru a asigura condiția necesară unei bune funcționări ca potențialul mediu al plăcilor de deflexie să fie egal cu potențialul mediu al anodului.

Pentru alimentarea de înaltă tensiune am folosit initial un transformator vechi cu o înfășurare anodică

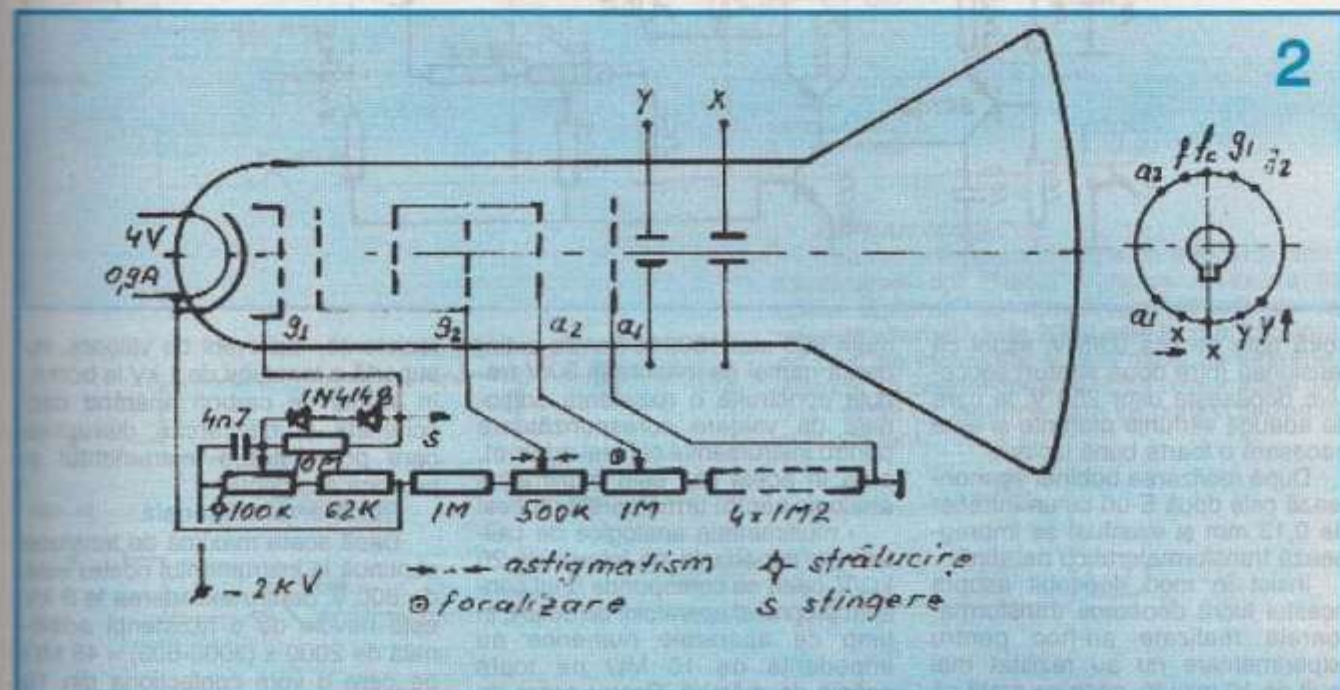
filtraj de valoare redusă.

Pentru tranzistoarele de putere am folosit două P 217A (rusești), dar se pot folosi și ASZ 15 sau ASZ 18 cu rezultate la fel de bune și două radiatoare mici din tablă de aluminiu de 2 mm . Un termistor CTN fără terminale, fixat pe radiator și izolat cu două foite de mică, controlează regimul de funcționare al tranzistorului final din stabilizator astfel: dacă tranzistorul se încălzește, tensiunea U_{BE} scade și curentul I_B crește, dar această creștere este compensată de scăderea rezistenței

scade cu $500\ldots600\text{ Hz}$ în sarcină.

Înaltă tensiune poate fi reglată cu potențiometrul P1 în limitele $1\ldots2,3\text{ kV}$.

O atenție deosebită trebuie acordată realizării transformatorului cu ferită de care depinde esențial buna funcționare. Se va proceda astfel: pe un miez prismatic din plastic sau metal de $7,3 \times 7,3\text{ mm}$ se pune un strat de celofan de la pachetele de tigări, peste care se bobinează în $4\ldots5$ straturi o bandă de hârtie de scris lată de cca 25 mm , unsă cu răsină epoxidică transparentă



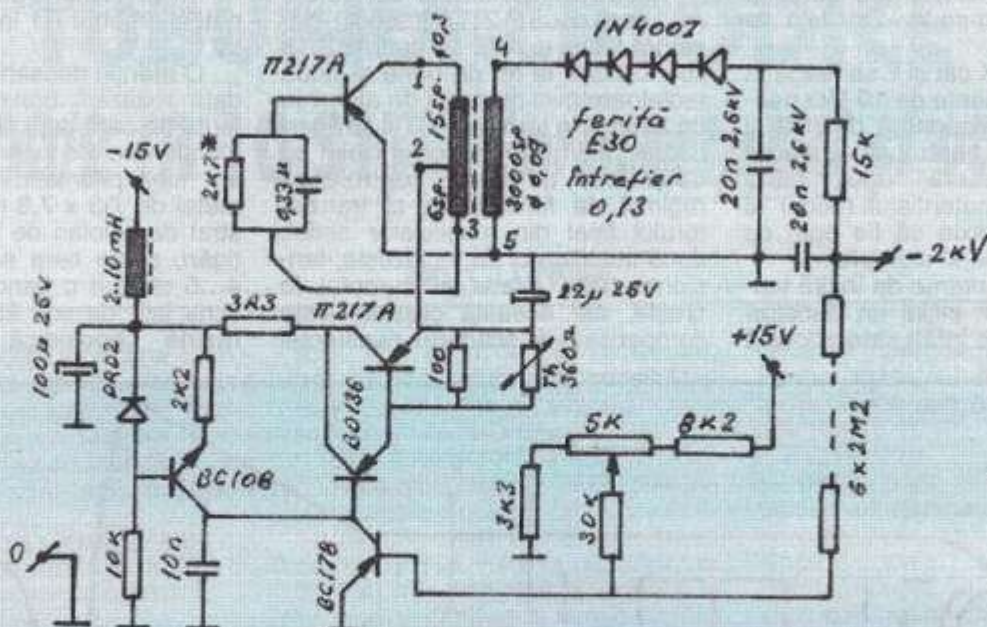
de $2 \times 320\text{ V}$ și un triplor de tensiune, dar montajul și condensatoarele de filtraj necesare ocupau aproape jumătate din cutie, iar tensiunea avea fluctuații destul de mari. Apoi am găsit o schemă mai bună în [2] și am trecut la adaptarea ei pentru tensiunea de 2 kV necesară tubului. Montajul (vezi figura 3) este compus dintr-un stabilizator regabil, alimentat cu -15 V printr-un drosel cu miez de ferită de $2\ldots10\text{ mH}$, pentru a nu transmite sau primi oscilații nedorite, un oscilator cu un tranzistor PNP de putere și un transformator cu ferită E30. Un divizor de tensiune alimentat cu $+15\text{ V}$ servește la reglajul tensiunii înalte. Această construcție are următoarele avantaje:

- s-au folosit aproape exclusiv materiale recuperate;
- asigură o tensiune stabilă și regabilă;
- sursa suportă scurtcircuite accidentale;
- se folosesc condensatoare de

termistorului, care reduce situația la normal. Datorită împrăștierii caracteristicilor, atât ale tranzistoarelor cât și ale feritelor, este necesară o mică tatonare în felul următor: rezistența notată cu * se înlocuiește cu o rezistență de $2\text{ k}\Omega$ în serie cu un potențiometru de aceeași valoare. Se regleză potențiometrul la jumătatea valorii, se alimentează montajul printr-un ampermetru pus pe scara de $0,5\text{ A}$ și din trimerul P1 se regleză înaltă tensiune la cca 2 kV . Se manevrează cu atenție potențiometrul (de obicei înspre scăderea valorii) astfel încât consumul montajului să fie minim ($0,15\ldots0,16\text{ A}$ în gol și de $0,2\ldots0,25\text{ A}$ în sarcină), oscilatorul să funcționeze stabil și tranzistorul să se încălzească cu cel mult 35°C peste temperatură ambientă. Se măsoară rezistența și se înlocuiește cu o rezistență fixă de valoare cât mai apropiată posibil. În funcție de ferită, frecvența de oscilație se situează între 13 și 18 kHz în gol și

amestecată cu cantitatea necesară de întăritor. Se recomandă utilizarea unei rășini mai lente, care la temperatură normală să se întărească în $2\ldots3$ ore. După întărirea completă a rășinii se scoate carcasa și se îndepărtează celofanul. Din placat (preferabil sticlostratitex) de $1,6\text{ mm}$, de pe care s-a îndepărtat folia de cupru, se taie cu traforajul cu pânză de tăiat metal trei pătrate de $19 \times 19\text{ mm}$, cu gaură pătrată cu dimensiunile egale cu exteriorul carcasei de hârtie de pe miez. Se construiește prin lipire cu epoxi o carcasă cu două secțiuni cu dimensiunile din figura 4. În secțiunea mică se bobinează înfășurările primare, iar în cea mare secundarul, bobinând spiră largă spiră fiecare strat și între ele punând câte un strat de hârtie subțire tăiat cu mare atenție la o lățime cu cca $0,5\text{ mm}$ mai mare decât lățimea secțiunii mari a carcasei, astfel încât să nu existe posibilitatea ca două spire din straturi diferite să se atingă. Tensiunea pe

3



spiră este de cca 0,85 V, astfel că tensiunea între două straturi successive depășește ușor 250 V, la care se adaugă vârfurile aferente și este necesară o foarte bună izolare.

După realizarea bobinei se montează cele două E-uri cu un întrefier de 0,13 mm și eventual se impregnează transformatorul cu parafină.

Insist în mod deosebit asupra acestui lucru deoarece transformatoarele realizate ad-hoc pentru experimentare nu au rezistat mai mult de 10 minute, ceea ce arată că nu am exagerat cu măsurile de siguranță cerute.

Pentru că la data experimentării (1982) nu aveam condensatoare cu tensiunea de peste 2 kV (nu se găsesc nici astăzi prea ușor) pentru C5 și C6 am utilizat câte două condensatoare cu hârtie de 0,056 μF/1300 Vc.c. legate în serie.

Transformatorul se așează pe două tubule din plastic (cât mai elastice) și se fixează pe placa de circuit cu fir de nylon de pescuit cu grosimea de 0,3-0,5 mm.

Și condensatoarele se leagă două câte două în același mod.

Sursa se ecranează într-o cutie de tablă legată la masă. Filamentul tubului se află la -2 kV față de masă și trebuie izolate foarte bine atât firele de alimentare cât și înfășurarea de pe transformator față de celelalte înfășurări.

Măsurarea tensiunii înalte

Multimetrele existente, indiferent de tipul lor, au posibilitatea de a măsura tensiuni continue de maxi-

mum 600 sau 1000 V. Pentru extinderea gamei de măsură la 3 kV trebuie construită o rezistență adițională de valoare corespunzătoare pentru instrumentul cel mai adecvat, care în acest caz este multimetrul analogic pentru următoarele motive:

- multimetrele analogice de calitate au impedanță de intrare de 20 kΩ/V, ceea ce corespunde unui consum propriu al aparatului de 50 μA, în timp ce aparatele numerice au impedanță de 10 MΩ pe toate scările de măsură. Pentru scara de 1000 V existentă obișnuit la aceste instrumente rezultă o impedanță de intrare de două ori mai mică, deci un consum propriu dublu, ceea ce duce la mărirea erorii de măsură ținând cont de curentul capabil al alimentatorului;

- există tendință de a proceda simplist, gândind că dacă pentru 1000 V rezistență este de 10 MΩ se mai adaugă încă două rezistențe de 10 MΩ în serie și problema este rezolvată simplu. Acest mod de a proceda este periculos pentru că o

rezistență, indiferent de valoare, nu suportă o tensiune de 1 kV la borne, în stratul de carbon apărând mici scintilații și descărcări disruptive care pot distruga instrumentul și provoaca accidente.

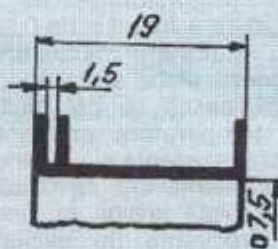
Rezistență adițională

Dacă scara maximă de tensiune continuă la instrumentul nostru este de 600 V, pentru extinderea la 3 kV este nevoie de o rezistență adițională de $2000 \times (3000-600) = 48 \text{ M}\Omega$ pe care o vom confectiona din 10 rezistențe de 4,7 MΩ; 1% și o rezistență de 1 MΩ; 1% legate în serie. Sirul astfel format va fi prevăzut la un capăt cu un vârf de test și la celălalt cu o bucăță în care să intre banana cablului negativ al aparatului de măsurat. Tot sistemul se introduce într-un tub de plastic de la o cariocă veche de culoare roșie sau galbenă cât mai stridentă, pentru a ne atrage mereu atenția că lucrăm cu o tensiune periculoasă, și în care se toarnă rășină epoxidică transparentă.

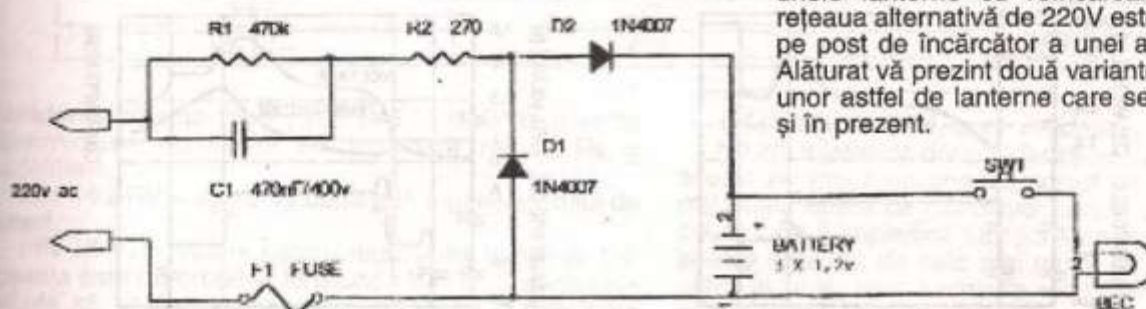
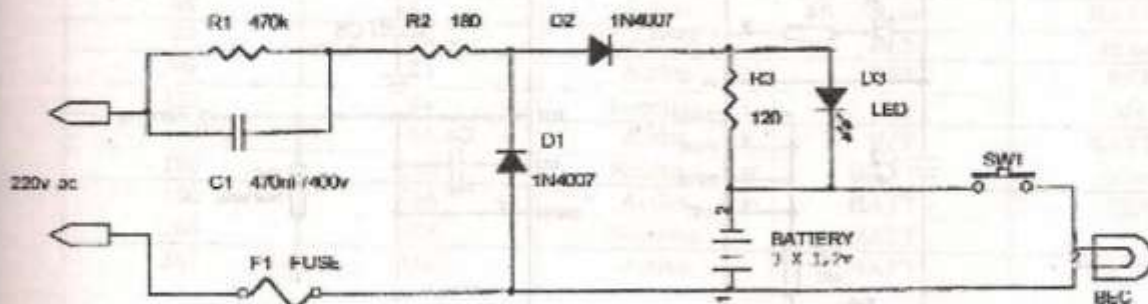
Bibliografie

1. A. Georgescu; I. Golea, Catalog de tuburi electronice, E.T. 1957
2. M. Bășoiu; C. Costache, 20 scheme electronice pentru amatori, E.T. 1980
3. Normatest 2000 Gebrauchsanleitung
4. Digital multimeter HC 3500 T Operator's Manual

4



CITITORII ÎNTREABĂ – SPECIALIȘTII RĂSPUND



EUGEN POP, TIMIȘOARA

Unele date și scheme solicitate de dv. au fost prezentate în revista TEHNİUM nr. 3/2004.

Alăturat vă prezentăm un încărcător rapid, sigur și fiabil, dedicat atât acumulatoarelor Cd-Ni cât și celor Ni-MH.

Încărcătorul este bazat pe circuitul integrat specializat MAX 713 (712), la care pinii de configurare sunt conectați pentru o încărcare rapidă cu un curent egal cu capacitatea C, cu protecție în durata de încărcare maxim 90 minute, cu detectorul -dV/dt (delta peak) activat, dar cu circuitul de control al temperaturii dezactivat. Acest încărcător este utilizat pentru încărcarea a 4 sau 5 elemente, având o tensiune de intrare minim 10V și maxim 20V. Trecerea de la încărcarea rapidă la cea de menținere se face automat de detectorul -dV/dt (-10mV pentru 4 elemente sau -12,5V pentru 5 elemente) sau când timpul de încărcare prestabilit a fost atins.

Prin descrierea circuitului MAX713/712 se poate adapta montajul la necesitățile specifice utilizatorului:

- numărul de elemente inseriate de la 1 la 16, în funcție de tensiunea de alimentare;
- regim de încărcare cu curent constant C/4 până la 4C;
- oprirea încărcării rapide la detectarea căderii de tensiune -dV/dt și trecerea automată în regim de încărcare de întreținere C/16;
- protecție în timp dacă nu este sesizată căderea de tensiune;

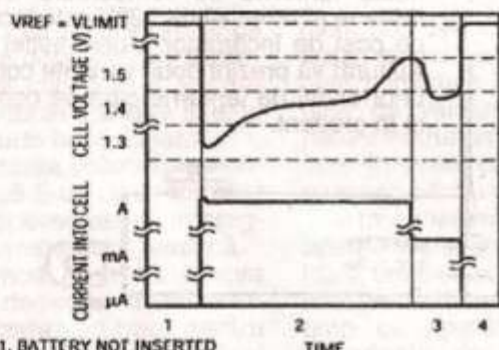
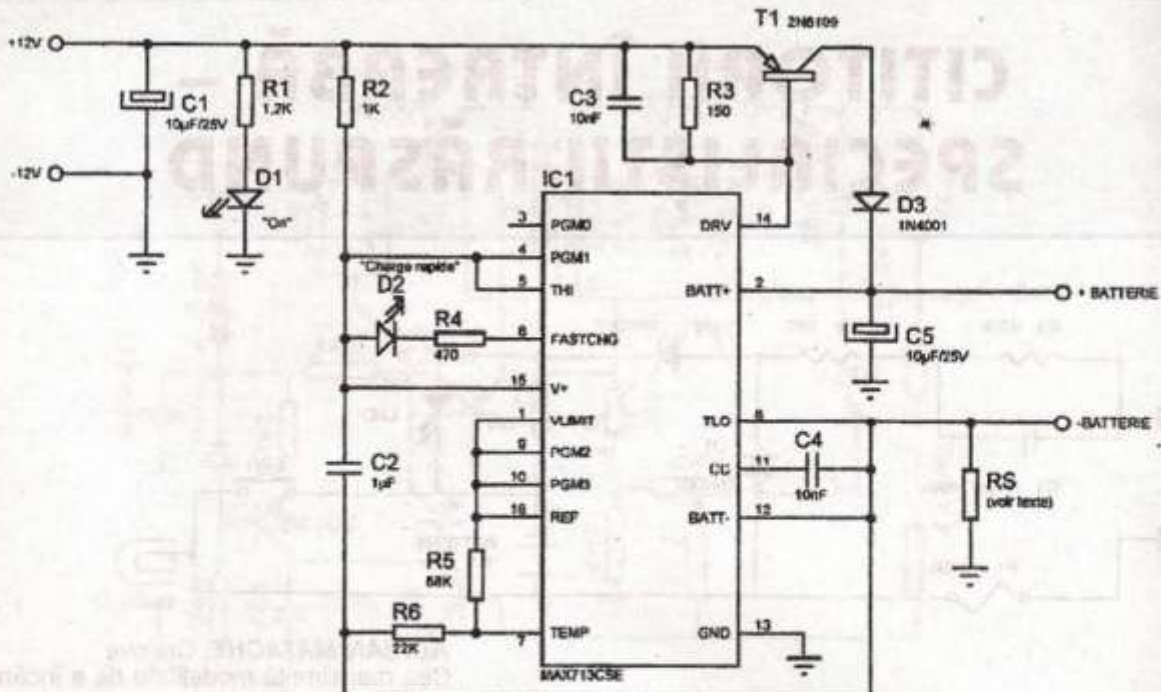
ADRIAN MATACHE, CRAIOVA

Cea mai simplă modalitate de a încărca acumulatoarele tip "pastilă" care se utilizează în unele lanterne cu reîncărcare directă de la rețeaua alternativă de 220V este tocmai folosirea pe post de încărcător a unei astfel de lanterne. Alăturat vă prezint două variante constructive ale unor astfel de lanterne care se comercializează și în prezent.

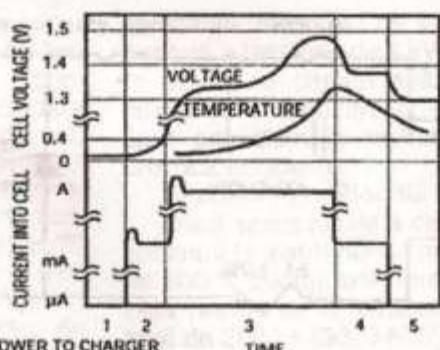
- Încărcare posibilă într-o fereastră de temperatură.
PIN1 VLIMIT – definește tensiunea maximă pe element; tensiunea bateriei nu poate să fie mai mare decât VLIMIT X Nr. de elemente. Tensiunea pe acest pin nu poate depăși 2,5V și se conectează de obicei la pinul REF.

Tabel 1

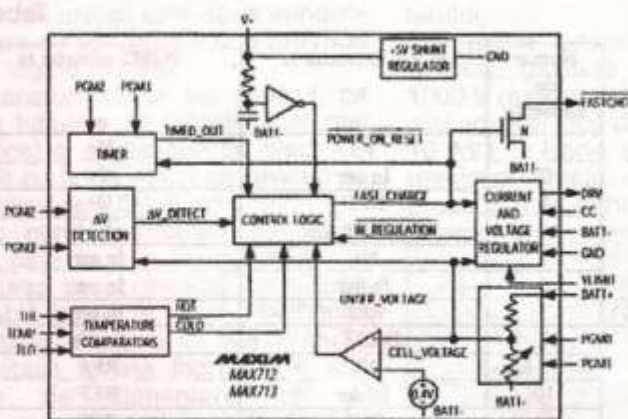
| Nume de elemente | PGM1 conectat la | PGM2 conectat la |
|------------------|------------------|------------------|
| 1 | V+ | V+ |
| 2 | In aer | V+ |
| 3 | REF | V+ |
| 4 | BATT- | V+ |
| 5 | V+ | In aer |
| 6 | In aer | In aer |
| 7 | REF | In aer |
| 8 | BATT- | In aer |
| 9 | V+ | REF |
| 10 | In aer | REF |
| 11 | REF | REF |
| 12 | BATT- | REF |
| 13 | V+ | BATT- |
| 14 | In aer | BATT- |
| 15 | REF | BATT- |
| 16 | BATT- | BATT- |



1. BATTERY NOT INSERTED
2. FAST CHARGE
3. TRICKLE CHARGE
4. BATTERY REMOVED



1. NO POWER TO CHARGER
2. CELL VOLTAGE LESS THAN 0.4V
3. FAST CHARGE
4. TRICKLE CHARGE
5. CHARGER POWER REMOVED



PIN2 BATT+ = conectarea polului pozitiv al acumulatorului.

PIN 3, 4 PGMO și PGM1 = definesc numărul de elemente din acumulator. Se programează după tabelul 1.

Numărul de elemente trebuie respectat pentru că aceasta condiționează tensiunea de intrare a convertorului A/D intern. Aceasta din urmă este limitată între 1,4V și 1,9 V, fiind egală cu BATT+/Nr. de elemente. Orice depășire a limitelor conduce la dezactivarea detectorului $-dV/dt$. Numărul de elemente determină și tensiunea de alimentare a încărcătorului, care trebuie să fie superioară cu cel puțin 1,5V tensiunii bateriei la sfârșitul încărcării.

PIN 5, 6 și 7 THI, TLO, TEMP = pinii detectorului de temperatură (în schemă nu este utilizat). Acești pini se pot conecta la către un termistor plasat în apropierea acumulatorului. Încărcarea rapidă este posibilă dacă temperatura $TEMP > TLO$ și opriță dacă $TEMP > THI$.

PIN 8 FASTCHG = ieșire care indică încărcare rapidă; poate comanda un LED.

PIN 9, 10 PGM2, PGM3 = definesc timpul maxim alocat încărcării rapide după tabelul 2. PGM3 are influență și asupra regimului de întreținere (tabelul 3).

PIN 11 CC = intrare de compensare a buclei de curent constant.

PIN 12 BATT- = conectarea polului negativ al acumulatorului (nu este masa încărcătorului).

PIN 13 GND = masa generală a circuitului.

Tabel 2

| Temperatură (minute) | Interval de măsură -dV/dt (secunde) | Detectia -dV/dt | PGM3 conectat la | PGM2 conectat la |
|----------------------|-------------------------------------|-----------------|------------------|------------------|
| 22 | 21 | Neactiva | V+ | In aer |
| 22 | 21 | Activă | V+ | REF |
| 33 | 21 | Neactiva | V+ | V+ |
| 33 | 21 | Activă | V+ | BATT- |
| 45 | 42 | Neactiva | In aer | In aer |
| 45 | 42 | Activă | In aer | REF |
| 66 | 42 | Neactiva | In aer | V+ |
| 66 | 42 | Activă | In aer | BATT- |
| 90 | 84 | Neactiva | REF | In aer |
| 90 | 84 | Activă | REF | REF |
| 132 | 84 | Neactiva | REF | V+ |
| 132 | 84 | Activă | REF | BATT- |
| 180 | 168 | Neactiva | BATT- | In aer |
| 180 | 168 | Activă | BATT- | REF |
| 264 | 168 | Neactiva | BATT- | V+ |
| 264 | 168 | Activă | BATT- | BATT- |

Tabel 3

| PGM3 conectat la | Regim de incarcare rapida | Regim de incarcare de intretinere |
|------------------|---------------------------|-----------------------------------|
| V+ | 4C | IFAST / 64 |
| In aer | 2C | IFAST / 32 |
| REF | C | IFAST / 16 |
| BATT- | C/2 | IFAST / 8 |

Rezistența plasată între pinul BATT- și GND permite determinarea curentului de încărcare rapidă $R_s = 0,25V/I_{fast}$.

PIN 14 DRV = ieșire de comandă a generatorului de curent.

PIN 15 V+ = intrare pentru regulatorul intern de 5V; aceasta este raportată la tensiunea BATT-. Curentul I_{V+} trebuie să fie limitat între 5 și 20mA de o rezistență externă $R = (U_{in}-5V)/1V$.

PIN 16 REF = ieșire tensiune de referință internă de 2V.

Montajul prezentat nu poate pleca în încărcare rapidă dacă tensiunea pe acumulator nu este de minimum 0,4 X Nr. de elemente, în caz contrar pleacă în încărcare lentă și când se atinge pragul trece automat în încărcare rapidă. Variația de tensiune $-dV/dt$ este definită la 2,5 mV pe element, ceea ce este convenabil pentru acumulatoarele Cd-Ni și pentru majoritatea celor Ni-MH. Circuitul MAX 712 poate detecta o valoare de 0V/dt specifică acumulatoarelor Ni-MH, deci când sesizează că tensiunea pe acumulator nu evoluă, oprește încărcarea rapidă și comandă încărcarea de întreținere.

CORNEL ȘTEFĂNESCU

MARIAN CAZBIR, Brașov

Circuitele integrate au reguli clare în ceea ce privește utilizarea, între care:

- respectarea unor configurații precise ale cablajelor (quadripl), anumite grosimi ale pistelor, amplasarea unor componente critice etc.;

- cablarea corectă a montajului, trasee de semnal ecranate etc.

Vă recomand să mai căutați un desen de circuit imprimat, preferabil cel recomandat de producătorul CI.

Atenție la toate aceste detalii, dar și la eventualele greșeli care pot conduce la distrugerea CI.

GABRIEL ALDEA, com. Brădeanu, jud. Buzău

Nu am înțeles ce dorîți să faceți cu CD-ROM-ur! Dacă acesta nu mai funcționează corect pe calculator, nu îl veți putea utiliza ca CD-player pentru un motiv simplu: cauza care îl impiedică funcționarea corectă nu dispără și este datorată de cele mai multe ori calității grupului optic. În plus, sunt necesare modificări de soft pentru interfațarea cu o comandă complet manuală.

Difuzorul de 40W/4 ohmi și diametrul de 160 mm este un woofer? Dacă nu, cum vreți să-l utilizați la un subwoofer? La diametrul acesta nu puteți spera un rezultat fulminant în ceea ce privește reproducerea frecvențelor joase.

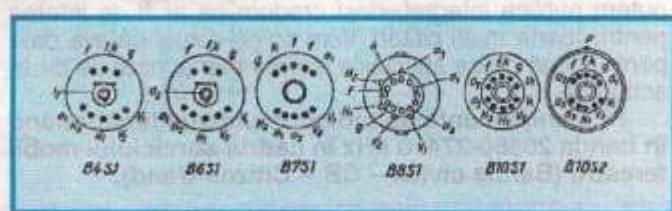
Pentru că datele de care dispuneți sunt insuficiente, ca o recomandare generală, utilizați difuzorul respectiv într-o incintă închisă cu volumul de aproximativ 15 litri.

Scheme de filtre active vor apărea în paginile revistei în numerele următoare, dar puteți găsi și în numerele mai vechi, ca și sub formă de kit gata realizat la magazinele specializate.

Ing. AURELIAN MATEESCU

Domnul ISTRATE - istratei@yahoo.com

În cataloagele de care dispunem nu apare tubul catodic cu indicativul B7S4-01, existând în schimb indicativul B7S1. În speranță că acesta este de fapt tubul catodic ce vă interesează, vă transmitem datele solicitate și conexiunile la soclu: este un tub catodic cu



ecranul de culoare verde, de persistență medie, cu performanțe superioare la focalizare, diametrul 71 mm, lungimea 162 mm, Uf = 4V, If = 0,85A, Ua1 = 400V, Ua2 = 160-280V (valoarea max. admisibilă 1kV), Ic = 50µA, Rg = 1,5MΩ, sensibilitatea SH = 0,08 mm/V, Sv = 0,10 mm/V, amplitudinea maximă a semnalelor pe plăcile de deflexie V și H fiind de 500V.

Domnul Orban Zoltan, Cluj

1. Toată admirarea noastră pentru pasiunea dumneavoastră de colecționar de aparițe radio-TV, dar regretăm că nu avem informații despre existența unui club al celor "contaminanți" de această pasiune, deși suntem siguri că există mulți colecționari în acest domeniu. Vă sugerăm să apelați la radioamatori, printre care există foarte mulți nostalgiici ai epocii tuburilor electronice. Federația Română de Radioamatorism găzduiește în paginile revistei sale lunare "Radiocomunicații și Radioamatorism" o mică rubrică de publicitate, în care radioamatorii pot face schimb de piese și aparițe specifice acestei activități. Această publicație este dispusă să publice și un anunț de genul celui de interes pentru dv., cu condiția de a fi succint și la obiect. Aceasta poate fi contactată la P.O.Box 22-50 RO-014780 București, sau tel./fax 021/3155575, sau e-mail: yo3kaa@allnet.ro. Dacă dorîți scheme ale unor radioreceptoare mai vechi, sunt șanse să vă putem ajuta. Vă mai informăm că F.R.R. are bunul obicei de a organiza la București, de câteva ori pe an, o întâlnire a radioamatorilor din toată țara, unde, pe lângă unele comunicări, înmânări de diplome, schimb de experiență și alte activități specifice, se organizează și un târg original, în cadrul căruia radioamatorii fac schimb sau comercializează componente, subansambluri sau chiar aparițe specifice activităților radioamatoricești și nu numai, și unde tuburile electronice sunt încă în vogă.

2. La cea de a doua întrebare nu vă putem da un răspuns în deplină cunoștință de cauză. Nu ați precizat tipul televizorului, și oricum, dacă la televizorul dv. s-au manifestat defecțiunile menționate, nu se poate face o generalizare.

3. Destinația și condițiile tehnice de utilizare a spectrului radio sunt reglementate de acte normative emise de instituțiile autorizate din România, corelate cu normele internaționale din acest domeniu. Utilizarea acestui spectru presupune autorizarea funcționării, printre altele și în scopul protecției canalelor alocate pentru o anumită activitate. Au fost totuși alocate o multitudine de benzi de frecvență de la 9kHz până la 25GHz, ce pot fi folosite fără licență, dar în aplicații bine stabilite și în condiții tehnice restrictive. În România, cel mai recent act normativ în acest domeniu este Decizia nr. 62/25.01.2005 a Inspectoratului General pentru Comunicații și Tehnologia Informației, publicată în Monitorul Oficial al României, partea I, nr. 138 din 15.02.2005, document ce poate fi consultat și pe INTERNET la adresa www.igcti.ro. Decizia nr. 62 cuprinde în anexe benzile de frecvență, făcând trimitere la interfața radio (RO-IR nr....), unde se găsesc condițiile tehnice respective. și aceste documente se găsesc la adresa de mai sus. Materialul este foarte voluminos (necessită cel puțin 2 dischete pentru a fi descărcat de pe INTERNET) și ar ocupa întreg spațiul revistei, motiv pentru care nu-l putem publica integral, deși credem că ar fi de interes pentru foarte mulți cititori. Vom spicui totuși câteva date pentru două dintre aplicațiile expres menționate de dv. în scrisoare.

14. Echipamente de radiocomunicații funcționând în banda 26960-27410 kHz în cadrul serviciului mobil terestru (Banda civică – CB – Citizen Band):

Banda de frecvențe Interfața radio
26960-27410 kHz*) RO-IR 014

*) Cu excepția frecvențelor 26995 kHz, 27045 kHz, 27095 kHz, 27145 kHz și 27195 kHz (care sunt rezervate pentru dirijarea modelelor).

În interfața radio IR 014 se prevede că pentru funcționarea cu MF, modul F3F, P ≤ 4W e.r.p., pentru MA, modul A3E, P ≤ 1W e.r.p., iar pentru modul J3E, P ≤ 4W e.r.p., ecartul de frecvență fiind de 10kHz pentru toate modurile de lucru.

15. Echipamente de radiocomunicații profesionale pentru mică distanță (Professional Mobile Radio-PMR 446):

Banda de frecvențe Interfața radio
446-446,1 MHz RO-IR 015

În interfața IR 015 se prevede că această bandă se folosește în serviciul mobil terestru, în modurile de lucru F3E sau G3E, cu P ≤ 0,5W e.r.p., cu un ecart de 12,5 kHz.

Precizăm că e.r.p. înseamnă puterea efectiv radiată de antenă.

Veți găsi în documentul menționat condițiile de lucru și pentru microfoane fără fir, pentru telecomenzi, pentru alarme și multe alte aplicații, începând din domeniul VLF și până în SHF.

Ing. GHEORGHE REVENCO

LIVIU RĂDESCU, Dr. Tr. Severin

Schema dv. este destul de "veche", complicată ca montaj practic și reglajele necesită cunoștințe teoretice "complexe". Recomand utilizarea circuitelor integrate specializate. Oricum, cât de curând voi publica un material referitor la dublarea puterii audio.

CRISTIAN STANCU, electromaniac _@hotmail.com

Datele transformatorului sunt foarte exacte! Recomand citarea cu mai multă atenție a articolului.

Smiez = 25 cm².

D. GEORGE, Iași

1º Tranzistorul T1 are h21E prea mare! Oricum, măriți valoarea lui R3 = 47 kΩ (100 kΩ).

2º i_Q = 20 mA (nu mai mult).

3º Pentru "linia audio" preconfigurată, recomand un amplificator audio cu circuit integrat specializat (sunt o mulțime).

4º Sursa de tensiune UA = 24V trebuie să fie stabilizată. Altfel "finalele SUPER-G" nu prea merg.

B. COSTIN, București

Recomand o amplă documentare teoretică în electronică; în caz contrar, rezultatele practice nu vor fi decât mediocre.

Se verifică (la compresorul dinamic) punctul static de funcționare al tranzistorului T1 și se modifică valoarea rezistenței colector-bază (pe schemă 1MΩ) până ce în colector obținem o tensiune de 6V (sursa având 12V). Oricum, recomand abordarea unei scheme mai perfecționate, care să conțină un circuit integrat.

Recomand un mixer competent, cu circuite integrate.

Comutatoarele surselor de semnal se realizează cu circuite integrate specializate, deoarece cele mecanice se uzează rapid și provoacă numai necazuri.

CONCLUZIE: Ați abordat o construcție complexă, pentru care nu sunteți pregătiți teoretic. Aprofundați fiecare etaj funcțional, și ulterior puteți realiza montajul final.

Prof. ing. EMIL MARIAN

Construcții din materiale recuperate

STABILIZATOR VARIABIL de ÎNALTĂ TENSIUNE

Ing. I. LUNGU

Alimentatorul descris mai jos debitează o tensiune stabilizată variabilă între 60 și 350 V (eventual 400 V) la un curent maxim de cca 100 mA și este prevăzut cu protecție la suprasarcină și indicație optică. Cu excepția tranzistorului final BUX 84 (800V; 2A; 40W), toate celelalte piese au fost recuperate din diverse montaje.

Tranzistoarele 13001 au fost recuperate de la lămpi economice arse și ridică câteva probleme. Se știe că un tranzistor are factorul de amplificare β cu atât mai mare cu cât baza este mai subțire, ceea ce nu este cazul tranzistoarelor de înaltă tensiune. Dacă tranzistorul final "de firmă" are un factor acceptabil de cca 20, tranzistoarele 13001, fabricate cine știe unde prin Asia, trebuie sortate pentru că am găsit exemplare cu $\beta = 5$, valoare total necorespunzătoare (necesar minimum 10), iar terminalele sunt fie în ordinea B, C, E, fie invers (fig. 1). Înainte de montare este necesară identificarea terminalelor cu multimetrul și măsurarea factorului β .

Tot datorită factorului de amplificare mic este necesar ca tranzistorul final să fie un dublet. Acesta nu poate fi un Darlington simplu, deoarece în caz de suprasarcină excesivă curentul prin tranzistorul T3 poate depăși cu mult curentul admisibil (200 mA pentru 13001) și străpungerea lui duce la defectarea catastrofă a montajului. Rezistența de limitare de 2,2 k Ω nu poate fi majorată pentru că nu ar mai asigura curentul necesar bazei tranzistorului T4.

Alimentarea montajului se poate face fie direct din rețea, fie printr-un transformator de separare ridicător de tensiune, de putere corespunzătoare. Primul mod de alimentare este de evitat, deși poate oferi o putere limitată numai de tranzistorul final și o tensiune mult mai puțin dependentă de sarcină, deoarece tensiunea maxim obținabilă nu depășește 300V și montajul este legat galvanic cu rețeaua, putând provoca accidente grave, dat fiind că experimentările de orice fel se fac de obicei cu piesele întinse pe masă, fără cutie sau alte măsuri de protecție.

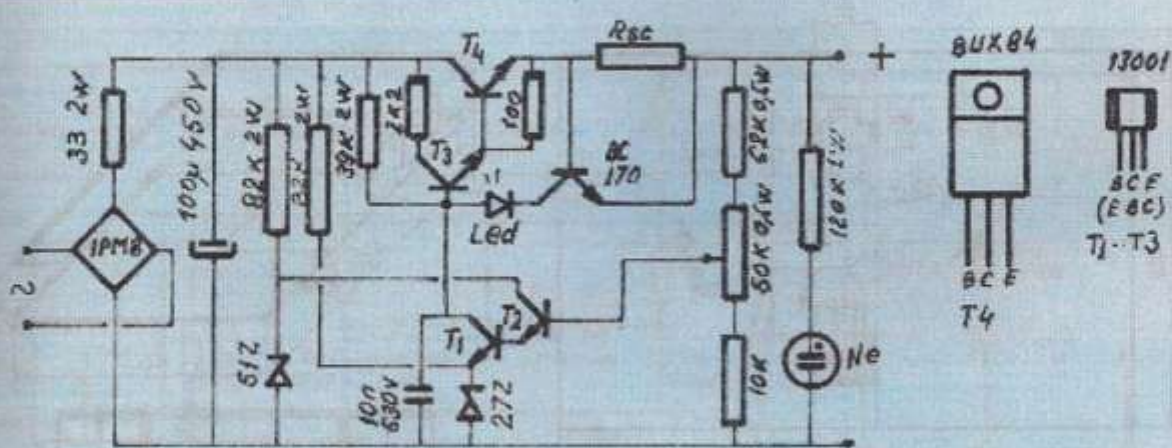
Tensiunea limită este dictată de condensatorul electric, care în general este de 400V. Condensatoarele

de 450V se găsesc mai greu, iar cele de 500V sunt rare. Transformatorul de separare (recuperat de la un aparat vechi cu tuburi) trebuie să asigure puterea necesară și în secundar o tensiune eficace U stabilită astfel încât $U \times 1,41 \leq 0,9 U_e$, unde U_e este tensiunea de funcționare a condensatorului electric, și va fi prevăzut cu o siguranță în primar. La nevoie se vor scoate spire de pe înășurarea secundară. În nici un caz tensiunea limită redresată nu trebuie să depășească tensiunea admisă de condensator.

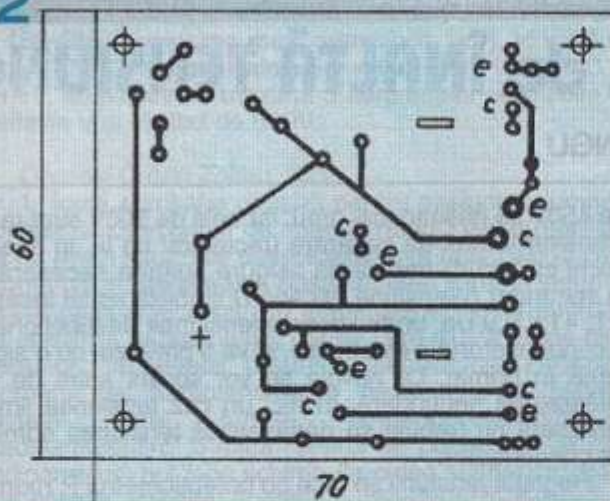
Reglajul tensiunii se face cu potențiometrul P, montat într-un divizor de tensiune care asigură un consum de cca 3% din curentul nominal, pentru a evita vârfurile de tensiune la funcționarea în gol. Tensiunea de ieșire scade la mișcarea cursorului înspre rezistență de 62 k Ω și crește în sens invers. Se va lega astfel ca tensiunea să crească la mișcarea cursorului în sens orar.

Protecția la suprasarcină (de scurtă durată) este asigurată de tranzistorul T5 (care poate fi orice tranzistor NPN de mică putere) și rezistența Rsc, iar rezistența curentului admis este indicată prin aprinderea LED-ului (roșu). Protecția funcționează astfel: curentul de alimentare care trece prin rezistență provoacă la capetele ei o cădere de tensiune egală cu valoarea ei înmulțită cu valoarea curentului. Când această cădere de tensiune depășește 0,65 V, tranzistorul T5 începe să conducă, deturneză o parte din curentul de bază necesar dubletului T3, T4, iar tensiunea livrată va scădea și LED-ul se va aprinde. Deci valoarea rezistenței Rsc va fi $0,65 / I$, unde I este curentul maxim care poate fi debitat de montaj. Pentru o valoare de 6,8 Ω , curentul limită va fi de cca 95 mA.

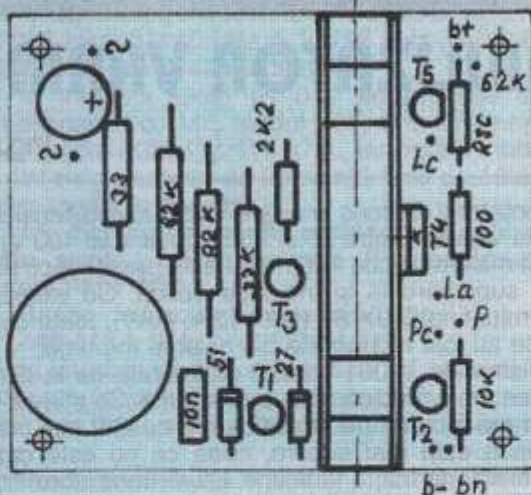
La ieșire s-a montat un bec cu neon, în serie cu o rezistență de limitare, care indică prezența înaltării tensiuni. Becurile cu neon se aprind la tensiuni cuprinse între 60V și peste 350V, în funcție de construcție, și va trebui sortat unul care să se aprindă la cca 60V, iar rezistența de limitare se va dimensiona corespunzător. Becul va fi legat astfel încât să se aprindă electrodul cel mai vizibil. În curent continuu, la orice tub cu descărcare în gaze



2



3



luminează electrodul legat la catod.

Desenul cablajului imprimat, văzut dinspre piese (prin transparentă) este indicat în figura 2 și dispunerea pieselor în figura 3. La punctele desenate pe figura 3 se vor lipi fire de culori corespunzătoare (negru pentru - și roșu pentru +) de $0,14 \text{ mm}^2$, semnificația inscripțiilor fiind: b – borna minus, b+ borna plus, La anod LED, Lc catod LED, P o cosă a potențiometrului, Pe cursorul potențiometrului.

Montajul a fost executat selecționând piesele cu dimensiunea minimă din cele avute la dispoziție, iar cablajul este foarte compact. Deci se recomandă a se trece la execuția lui numai după ce ne-am convins că piesele disponibile intră în dimensiunile din desene. Rezistențele de putere se vor monta la 3-4 mm deasupra cablajului. Rezistența de $62 \text{ k}\Omega$ se montează la cosa corespunzătoare a potențiometrului și la punctul marcat, unde se va lega și rezistența de limitare a becului cu neon, celălalt capăt al becului fiind legat la punctul bn.

Radiatorul tranzistorului final a fost recuperat dintr-un televizor defect și fiind improbabil să se găsească unul la fel, desenul lui a fost indicat în figura 4. Poate fi executat din tablă de cupru, aluminiu sau alamă de 0,8-1 mm sau înlocuit cu un altul de cca 100 cm^2 .

Decupajele indicate pe desenul desfășurării se vor face practicând găuri de 1 mm în colțurile dreptunghiul-

ilor $8 \times 9 \text{ mm}$ și tăind cu traforajul cu pânză de tăiat metal formele indicate în figură. Radiatorul se va monta în găurile alungite vizibile în figura 2. După lipirea pieselor, cablajul se va acoperi cu lac nitro pe partea conductoarelor imprimate și se va monta pe 4 antretoaze din teavă de $\varnothing 5 \text{ mm}$ cu lungime potrivită și fixat cu șuruburi M3 în găuri filetate direct în tabla cutiei.

Tot ansamblul se va monta într-o cutie din tablă de oțel construită cu panou de montaj conform indicațiilor din numărul 1/2005 al revistei. Dimensiunile cutiei depind de mărimea transformatorului de separare și a potențiometrului. Pe panoul de montaj se vor fixa două bucăți $\varnothing 4 \text{ mm}$, cu capete bine izolate, de culoare negru, respectiv roșu, LED-ul, becul cu neon și potențiometrul, prevăzut cu butonul lui de actionare. În panoul frontal se vor face găurile corespunzătoare.

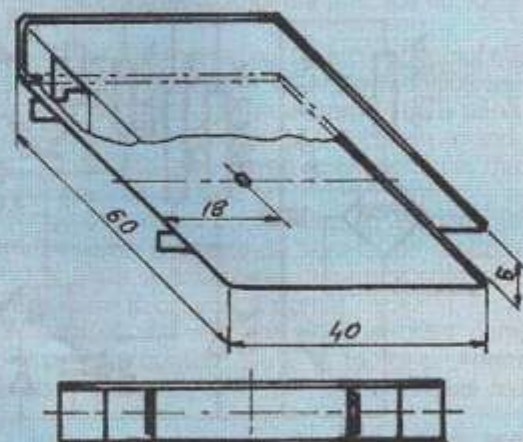
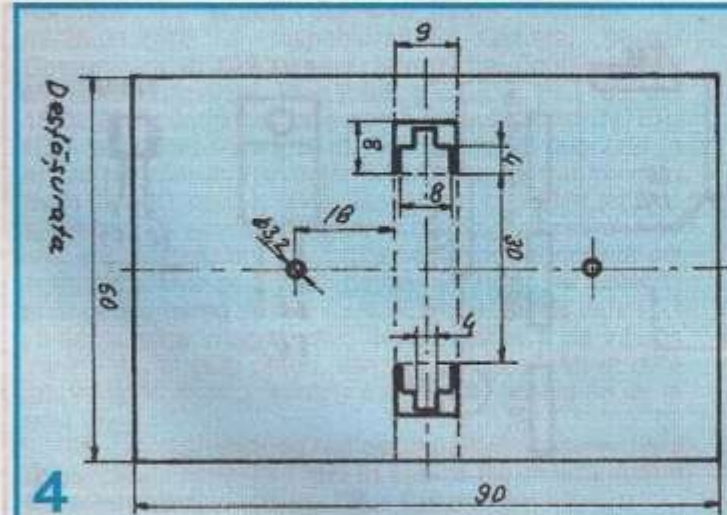
Se va verifica funcționarea stabilizatorului și a protecției și pe cutie se va marca cu vopsea roșie semnul de înaltă tensiune.

Se va avea în vedere faptul că tranzistorul final disipează maximum de putere la tensiunea minimă reglată.

Bibliografie

I. Ristea, C.A. Popescu, Stabilizatoare de tensiune, E.T., 1984
Colecția Tehnium

4



Eu și TEHNİUM

DAN STROESCU, Drobeta Turnu Severin

Stimată redacție,
Vreau să încep adresând salutul meu, cuvinte elogioase la adresa redacției și colaboratorilor, cât și Sărbători fericite pentru Crăciun și Anul Nou.

Toată stima pentru longevitatea revistelor, pentru rezistența acestora în timpul "ierii" comuniste, pe parcursul celor 20 de ani, cât și pentru faptul că articolele de mulțumire și propagandă ceaușistă au lipsit aproape total. Îmi închipui că obligativitatea apariției acestora a făcut mai multe publicații să "strângă din dinți" și să își mânjească primele pagini cu nenumărate majuscule pentru ca revistele lor să supraviețuască; îmi dau seama că nu a fost ușor. Pe lângă aceste considerente, permiteți-mi să remarc și faptul că multe articole din "Tehnium", dacă tovarășii ar fi fost cu 5 secunde mai "deștepti", ar fi putut fi considerate "subversive", mai ales cele referitoare la tehnici moderne, la automatizări, telecomunicații, în speță articolele ce apăreau în almanah, în care era vorba despre compact-disc, despre realizările cercetării occidentale sau

americană, cât și acele articole în care era vorba despre televiziunea în culori, într-o perioadă în care mulți români nu puteau decât să viseze la un receptor AN cu circuite integrate etc.

Oricum, multe din acele articole, acum – după 15-20 de ani – le găsesc, cu surprindere, interesante și actuale.

Dejîn o foarte mică parte din colecția "Tehnium", numere dispărute, puse cu multă grijă în ordine cronologică, dar cu foarte multe "găuri", începând cu 1980 până în prezent. Cred că nu trece o zi abînându-mă să răsfoiesc câteva pagini.

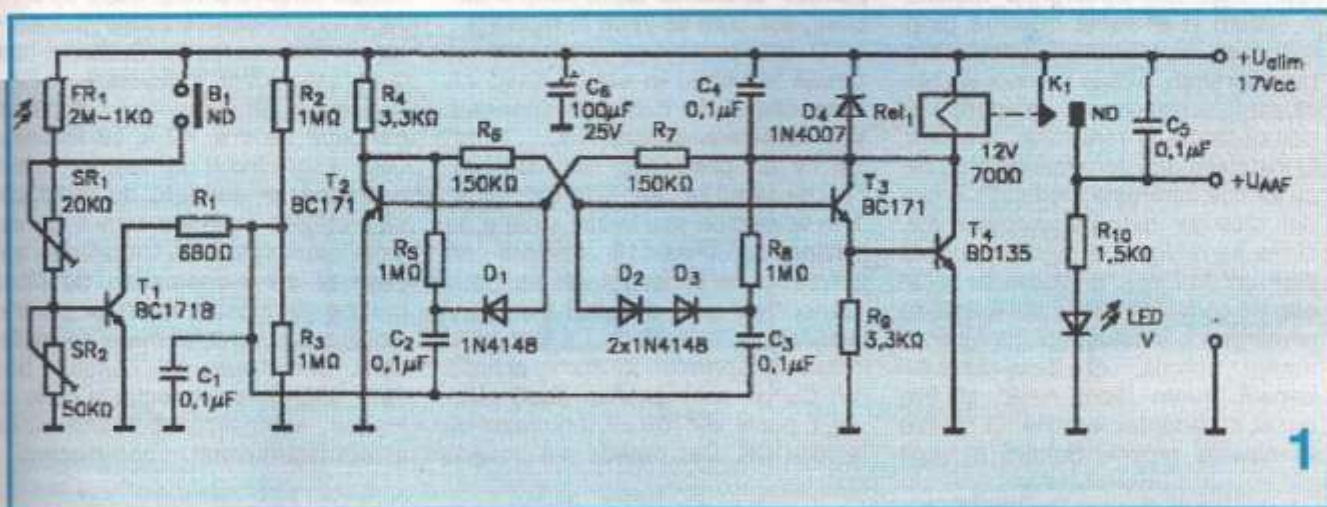
Un mare regret survine din faptul că n-am avut suficientă voință pentru a învăța matematică și fizică atât căt mi-ar fi trebuit ca să intru la o facultate de electronică. Dar înclinațiile tehnice mi-au rămas, pasiunea rămas, cele două mai trebuie doar cultivate prin exercițiu. Din păcate, "marile înfăptuirile" se lasă așteptate din motive obiective și nu numai.

Totuși, câteva montaje am făcut, începând cu clasicul radio fără

baterii din clasa a șaptea, la care am lucrat jumătate din vacanța de vară, până la o mulțime de montaje care așteaptă și acum să fie asamblate, module, mai ales audio, altele ce țin de automatizări (simple), însă e destul de frustrant atunci când vezi niște scheme grozave, de mare performanță, care chiar se pot realiza și în regim de amator, bineînteleles cu multă atenție și dăruire, dar constați ba că n-ai de unde să procuri acele piese, ba că un tranzistor costă aproape un milion și ai nevoie de opt bucăți etc.

Aș vrea să revin la revistă, cu regretul apariției destul de greoaie, că și cu cel al apariției sale comprimate (3 în 1); știu că și dumneavaastră aveți aceleași regrete, aşa că nu insist.

În ce privește calitatea articolelor, mă pot declara mulțumit, cu "amendamentul" că poate totuși ar trebui mai mult spațiu alocat pentru montaje simple, abordabile în regim de amator. Mi se par foarte lăudabile abordările teoretice în care apar explicații și calcule de principiu, cred că acestea stau la baza înțelegerei fenomenelor. E clar că subiecte pre-



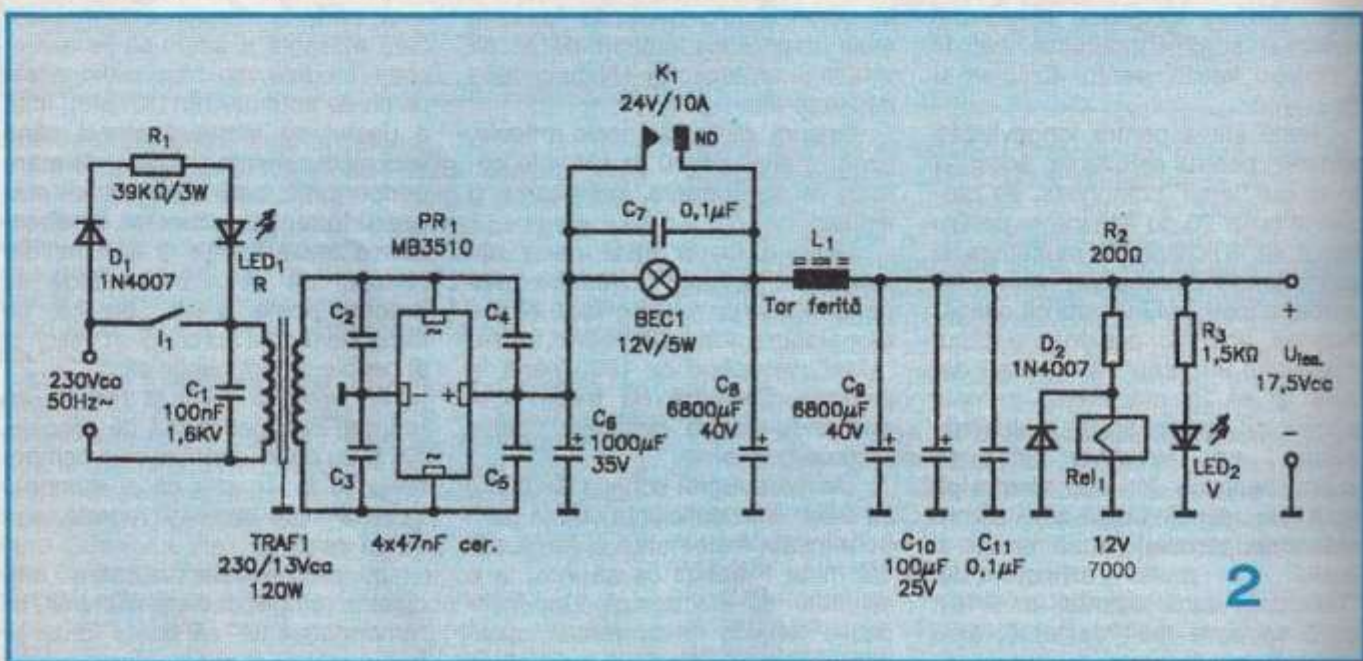
cum "Tranzistorul bipolar" sau "Amplificatoare operaționale" nu mai pot fi reluate pe larg, așa cum au fost deja prezentate în paginile revistei, dar cred că un mic spațiu alocat pentru "abecedar-iști" nu ar fi o idee chiar rea, prezentări succinte, principiul de funcționare, nu neapărat foarte multă matematică, dar niște montaje simple și edificatoare pentru înțelegerea unui fenomen ca "blocare", "saturatie", "comutare" etc. s-ar putea face.

Legat de cele de mai sus, vă pot da un exemplu din propriile pro-

aproape de la sine din paginile "Tehnium"-ului. În numerele 12/89 și 1/90 se prezintă un montaj de "Telecomandă pornit-oprit" având la bază principiul circuitului basculant bistabil.

Am intervenit în schema originală cu minime modificări, prin introducerea fotorezistorului și a butonului normal-deschis, cât și prin scăderea rezistenței din colectorul tranzistorului de comutare T_1 de la $1\text{k}\Omega$ la 680Ω . O a doua problemă s-a pus în privința emițătorului, care trebuia să fie o sursă de lumină,

că n-a fost deloc OK. Aburii lui Bachus au ars într-o seară traf-ul. Dar tot e bine că uneori nervii creați de pagubă îți aduc și inspirația salvatoare: o protecție – sigur, dar o fuzibilă – nul! Nu e comodă, trebuie calibrată (cine oare se duce până în oraș să cumpere?) și ei habar nu au să facă treaba asta când nu sunt eu acolo... Atunci e simplu! O protecție automată, și cu indicator optic – să-l vadă toată lumea. Noroc cu traf-ul sălăpe pe care l-am făcut acum câțiva ani, dintr-un radio pe lămpi, după rebobinarea secundarului îmi dă



2

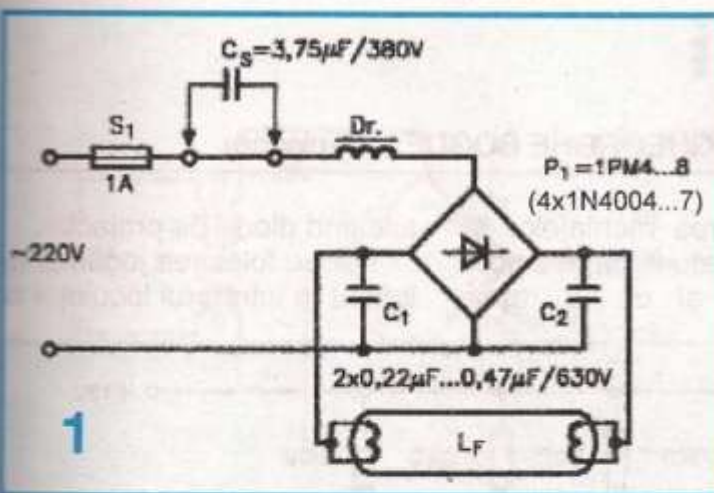
bleme ce a trebuit să le revolz: în componența unui amplificator audio, mi-am pus problema (bineînteleas, din comoditate) deconectării acestuia de la distanță. Condiții: cheltuială minimă, eventual (ceea ce a și fost cazul) piese obținute din recuperări, nepretențioase, intervenție minimă în sistem și eficiență maximă (prin atingerea scopului și funcționare bună în timp). Având ipoteza și concluzia, urmau – evident – demonstrația și realizarea practică. O instalație de telecomandă clasică, cu lumină infraroșie modulată, ieșea din discuție datorită complexității. Urma să realizez un agregat format dintr-un emițător, un receptor și un etaj de comandă - totul sună atât de pretențios... și totuși soluția este nu numai simplă, ci de-a dreptul banală. N-am făcut nimic altceva decât să adaptez o schemă simplă la nevoile proprii. Soluția a venit

ceea ce a ridicat o altă dificultate: interacțiunea senzorului cu lumina ambientă. Interacțiunea am anihilat-o printr-o asamblare adecvată a senzorului pe panoul frontal, iar sursa de lumină, grație progresului tehnologic, este nimic altceva decât un pointer LASER. Ieftin-simplu-eficient, aș cum se vede în figura 1.

O altă provocare am avut-o în timpul facultății, în cămin. Cred că este destul de cunoscut vacarmul din camerele căminăștilor... Ateam un TV AN chinezesc, fără carcasa, "vai de capul lui", dar extraordinar de bun la meciuri sau la filme, când se strângă vreo 10 oameni să privească la un ecran cât palma... Dane, treci și fă o sursă! Bun: 12V alimentare, e evident. La iluminare maximă, aparatul consumă cca 18 W. Cu un trafo dintr-un (fost) pick-up, o punte și $4700\mu\text{F}$, am crezut că e totul OK. Dar repede s-a dovedit

12,5 V= în gol și 11,7= la cca 100 W. E bun! Dar îmi trebuie o protecție ieftină, simplă și eficientă! Ce am? Am un trafo, am o punte de 35 A (cam... mărișoară), am un releu de 12 V=/ 700Ω , am două "butelii" de $6800\mu\text{F}/40\text{V}$ și un bec de 12 V/5 W. Dar pe lângă punte și trafo, ce-ar fi dacă să protejea și "butelile" la încărcare? Iată varianța realizată de mine, prezentată în figura 2.

Releul anclanează după o perioadă de cca 1,2 s, iar în cazul unui scurtcircuit la ieșire, releul declanșează suficient de rapid că să protejeze puntea și traf-ul. Cu valurile din schemă se protejează eficient și condensatoarele de filtraj printr-o temporizare, căt și printr-o limitare a curentului mare de încărcare, prin filamentul becului, bec care, afăndu-se conectat în serie cu ieșirea, semnalizează foarte vizibil avaria (scurtcircuit / suprasarcină).



1

Refolosirea tuburilor fluorescente este o problemă de actualitate din următoarele motive:

- tuburile uzate, care din păcate încă nu se recuperează în mod eficient, conțin o cantitate de mercur, metal deosebit de toxic;

- refolosirea lor este indicată și din considerente economice, durata de viață a unui tub "ars" folosit în montajele prezentate în continuare poate fi uneori egală cu a unui tub nou;

- articolul publicat în Tehnium nr. 11/1991 a prezentat un interes deosebit pentru cititorii revistei; trebuie menționat faptul că în revista germană ELEKTOR nr. 1/1992 a apărut un articol asemănător.

Montajul prezentat în figura 1 necesită câteva precizări.

1. Unele corpușe de iluminat folosesc pentru limitarea curentului un circuit serie $C_S - Dr$, datorită utilizării unor bobine de soc cu inducție mai mică. În acest caz este obligatorie folosirea condensatorului serie, lipsa sa provocând creșterea curentului în circuit, uzura rapidă a tubului și, în timp, arderea bobinei.

2. Montajul corect executat poate folosi tuburi de 14-40 W în combinație cu droselele corespunzătoare.

3. Condensatoarele C_1 și C_2 pot avea valori cuprinse între $0,22-0,47\mu F / 630V$.

4. Unele tuburi de 40 W, în condițiile scăderii temperaturii sub $18^\circ C$, nu funcționează corespunzător.

Montajul prezentat în figura 2 reprezintă o adaptare a invertorului folosit în unele "becuri economice", în scopul folosirii tuburilor fluorescente "arse". După cum se observă, modificările se referă la scurcircuitarea, pe placa invertorului, a punctelor de conectare a filamentelor tubului.

În scopul îmbunătățirii funcționării, se recomandă ca în funcție de puterea tubului folosit, condensatorul de filtraj C_1 și tranzistoarele utilizate să aibă valorile propuse în figura 2. Menționez aceasta deoarece din considerante de reducere a costurilor, C_1 are valori inferioare unei funcționări optime; din aceleși considerante, socul SRF, notat pe schemă L_1 , uneori lipsește. Se recomandă realizarea sa prin bobinarea a cca 30 de spire sârmă Cu-Em 0,15-0,25 mm pe un miez de ferită cu $L = 10$ mm și $\Phi = 2-3$ mm. După bobinare, socul se rigidizează cu nitrolac, după care se introduce în un tub de PVC, conectându-se ca în figura 2.

Datorită costului redus al "becurilor economice" de fabricație CHINA (cca 35 000 lei), se justifică adaptarea lor în scopul folosirii în corpurile de iluminat de 14, 20 sau 40 W, obținându-se astfel un răndament luminos mult mai bun decât în cazul "becului economic" datorită suprafetei radiante mai mari.

Avându-se în vedere tensiunile de lucru mari, montajul va fi bine izolat (se poate folosi chiar carcasa originală din material plastic, eliminându-se socul E27).

Datorită faptului că invertorul radiază energie electromagnetică, se recomandă ca acesta să fie ecranaț, asigurându-se o ventilație corespunzătoare. Se recomandă încă o dată luarea tuturor măsurilor de protecție corespunzătoare.

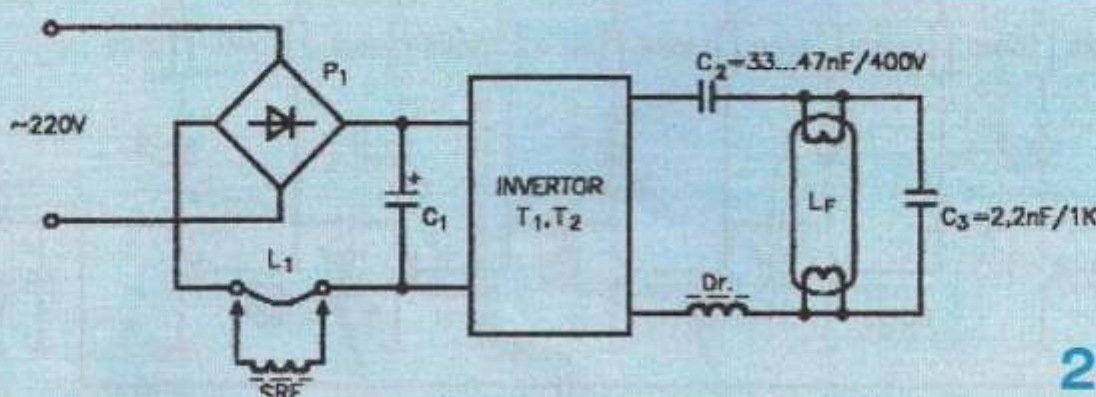
$$1. L_F = 14 \text{ W}: C_1 = 3,3 \mu F / 400V; T_1 = T_2 = M \times 13001$$

$$2. L_F = 20 \text{ W}: C_1 = 4,7 \mu F / 400 V; T_1 = T_2 = M \times 1301$$

$$3. L_F = 40 \text{ W}: C_1 = 10 \div 22 \mu F / 400 V; T_1 = T_2 = M \times 1302 \div M \times 13003$$

DIN NOU DESPRE REFOLOSIREA TUȚURILOR FLUORESCENTE

Ing. BARBU POPESCU



2

Jocuri de lumini pentru BRADUL de CRĂCIUN

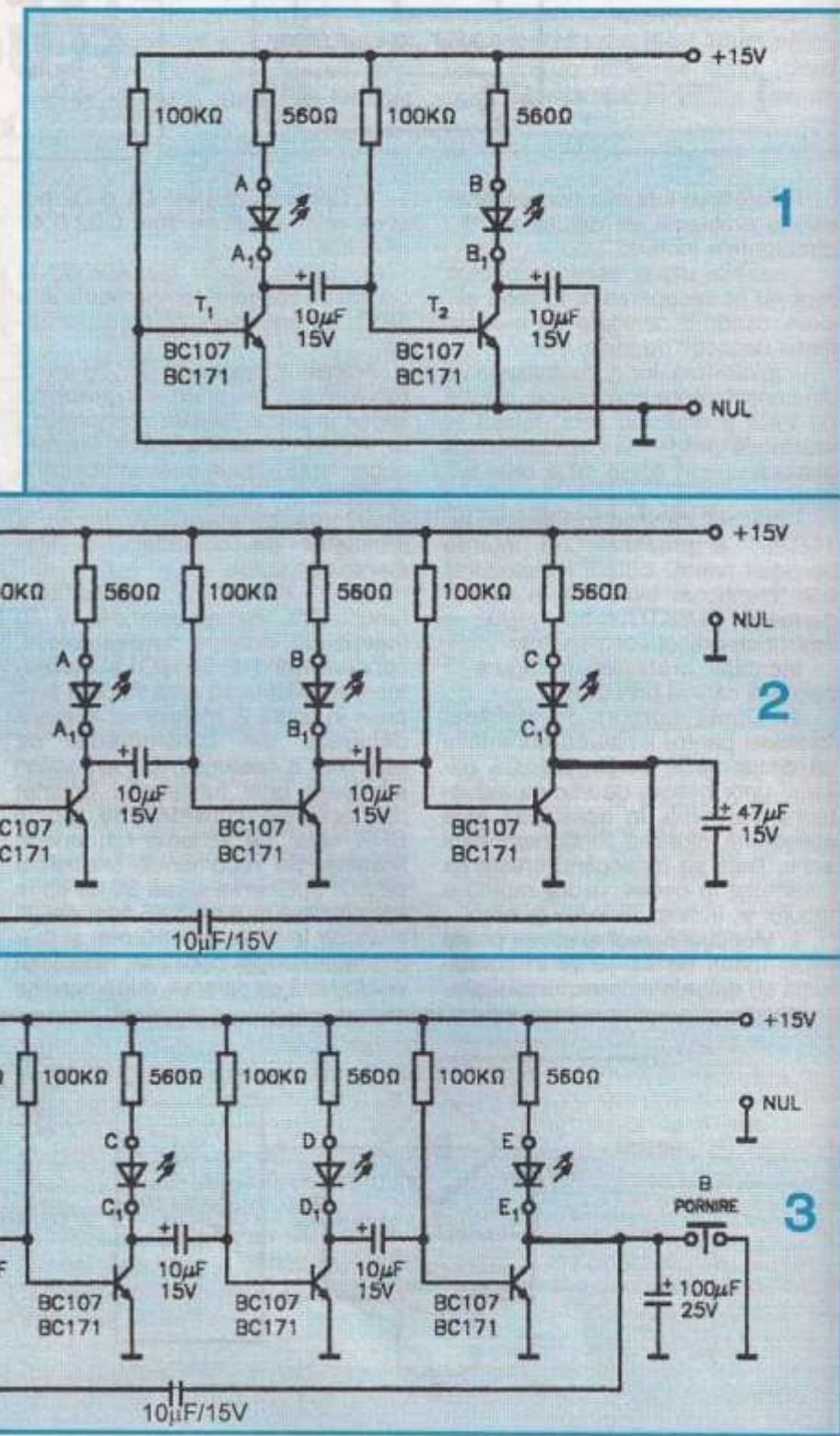
În cele ce urmează propun construcția mai multor montaje electronice cu diferite jocuri de lumini care sper că vor fi foarte bine venite cu ocazia sărbătorilor de Crăciun. Aceste montaje propuse de mine pot fi folosite cu succes de copiii care vor merge cu steaua de Crăciun. Ele se aplică pe stea, atât în centrul ei, cât și pe colțurile stelei, creând un aspect foarte plăcut pentru cei din jur care o privesc.

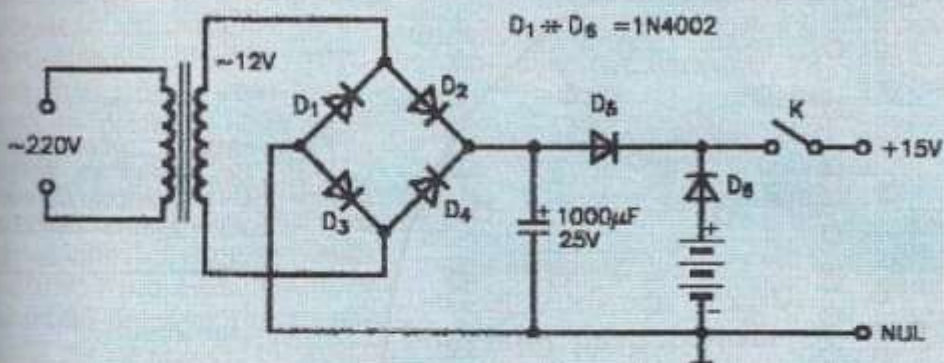
Alimentarea montajelor se face de la baterii, dar ele pot fi alimentate și de la rețea,

folosind diode de protecție.

Pentru folosirea jocurilor de lumini în interiorul locuinței se

GHEORGHE BOGDEA, Timișoara





Dioda D₅ blochează închiderea curentului prin condensatorul de filtraj

Dioda D₆ blochează închiderea curentului de la redresor prin baterii

pot efectua diferite modele de aplicare practică după cum urmează:

- forma unui brăduț tăiat la traforaj din placaj (fig. 5);
- forma unei jumătăți de cerc (semicerc) confectionat din placaj, textolit, PAL melaminat etc. (fig. 6);
- forma unei case executată la traforaj.

Pe conturul brăduțului se practică orificii unde se introduc LED-urile cu vârfurile spre față, executându-se conexiunile pe spatele brăduțului (conexiuni cât mai scurte și culori de fire care nu ies mult în evidență).

LED-urile pot fi de toate culorile existente, iar formele pot fi rotunde, dreptunghiulare, pătrate etc.

Aranjarea LED-urilor se face ținând cont de locul unde se aplică și respectând anumite legi și culori ale naturii.

Avantajul montajului pe care îl propun este acela că pe fiecare braț se pot monta mai multe LED-uri,

atât în serie cât și în paralel, ceea ce permite mărirea

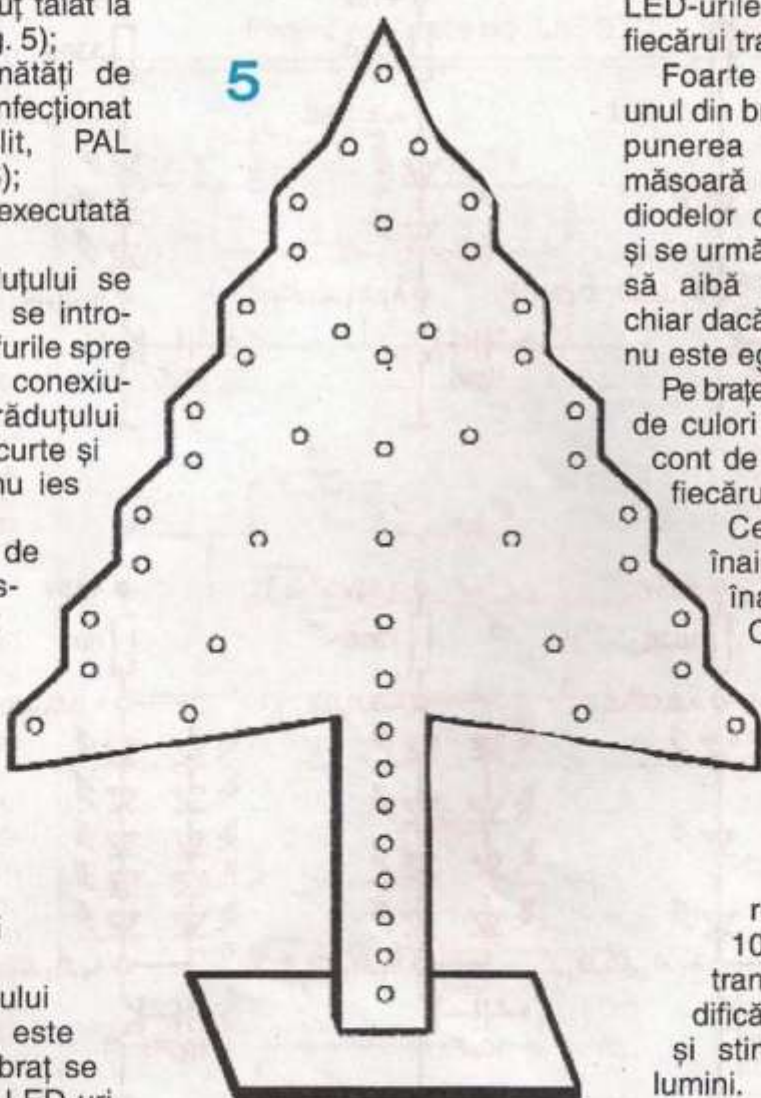
numărului de LED-uri modificând numai valorile rezistențelor conectate în serie cu LED-urile, din colectorul fiecarui tranzistor (fig. 7).

Foarte important! Dacă unul din brațe nu se aprinde la punerea în funcționare, se măsoară rezistența directă a diodelor conectate în paralel și se urmărește ca fiecare braț să aibă aceeași rezistență, chiar dacă numărul LED-urilor nu este egal pe brațe.

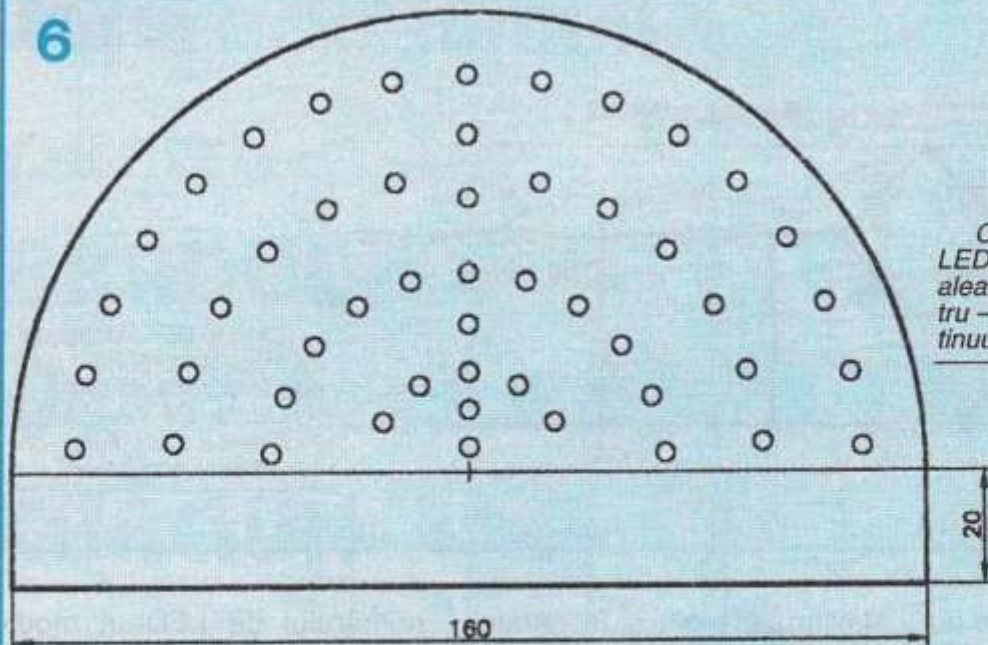
Pe brațe se pot monta LED-uri de culori diferite, dar se ține cont de curentul de lucru al fiecarui LED.

Cele explicate mai înainte sunt stabilite de înaintașii noștri KIR-CHOFF și OHM, prin legile stabilite de ei.

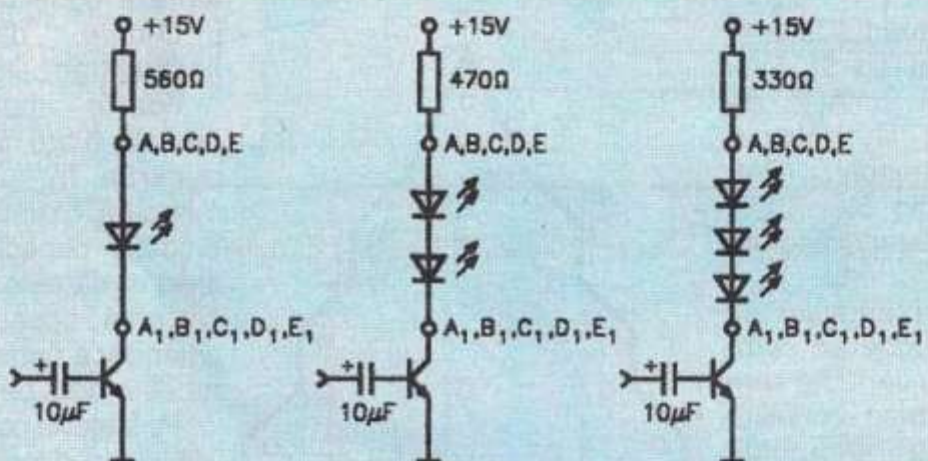
Prin modificarea valorii condensatoarelor de cuplaj din bazele tranzistoarelor și a valorii rezistențelor de $100k\Omega$ tot din baza tranzistoarelor, se modifică ritmul de aprindere și stingere a jocului de lumini.



6

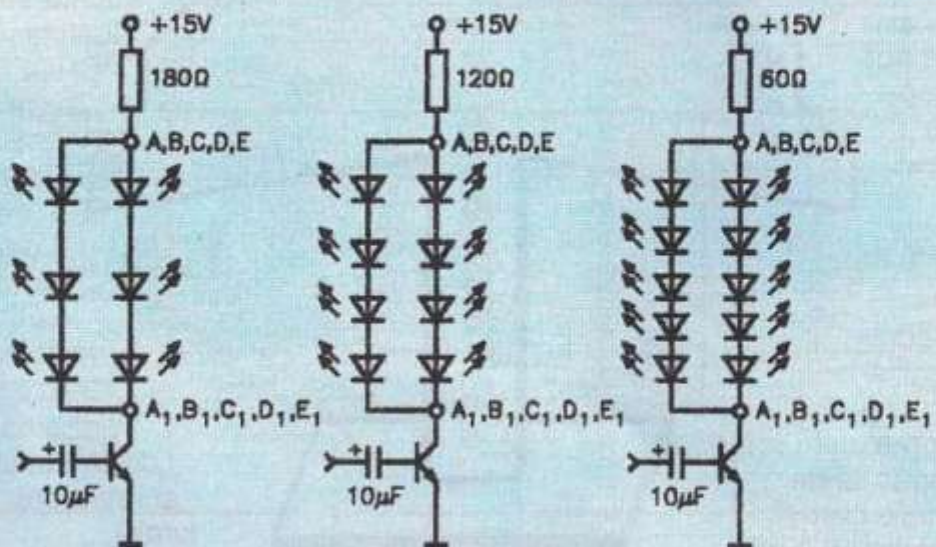


Cerculetele simbolizează LED-uri. Pe cercuri se aprind aleator LED-urile, iar cele din centru – verticale – sunt aprinse continuu.



Modul de conectare a grupurilor de LED-uri din colectoarele tranzistoarelor

7



În revista Tehnium nr. 3/2003, la pag. 9, a fost prezentat pentru constructorul începător un adaptor ohmmetru simplu. Schema, reprodusă în figura 1, este interesantă în principiu, dar, după părerea mea, este utilă mai mult în cazul măsurării de rezistențe de valori mici, de ordinul ohmilor sau al zecilor de ohmi, unde este nevoie de mai multă precizie. Pentru alte situații de uz curent, utilizarea AVO-metrului obișnuit este suficientă.

Pe de altă parte, dacă analizăm mai atent considerațiile tehnico-teoretice referitoare la acest dispozitiv, vom ajunge la o concluzie interesantă. Se specifică în mod expres că diodele D₁ și D₂ trebuie sortate pentru a fi identice, astfel încât numai atunci, când reglând pe R ca să avem $R = R_x$, vom obține la ieșire o tensiune $U_o = 0$.

Pe baza acestei proprietăți, dacă inversăm "logica" fenomenului, înseamnă că pentru $R = R_x$, deci două rezistențe inițial cunoscute și egale, vom avea $U_o = 0$ numai atunci când diodele D₁ și D₂ sunt echivalente, altfel spus identice la caracteristici.

Iată cum același dispozitiv poate fi utilizat cu succes de această dată ca sortator de diode. Pentru aceasta, trebuie să avem pregătite două rezistențe egale, așa cum pentru măsurat rezistențe trebuia să

dispunem de două diode identice. În felul acesta adaptorul în sine poate îndeplini două funcții utile. Pentru măsurarea rezistențelor trebuie să utilizăm potențiometrul cu scală, iar în cazul diodelor vom utiliza o diodă ca etalon de comparație.

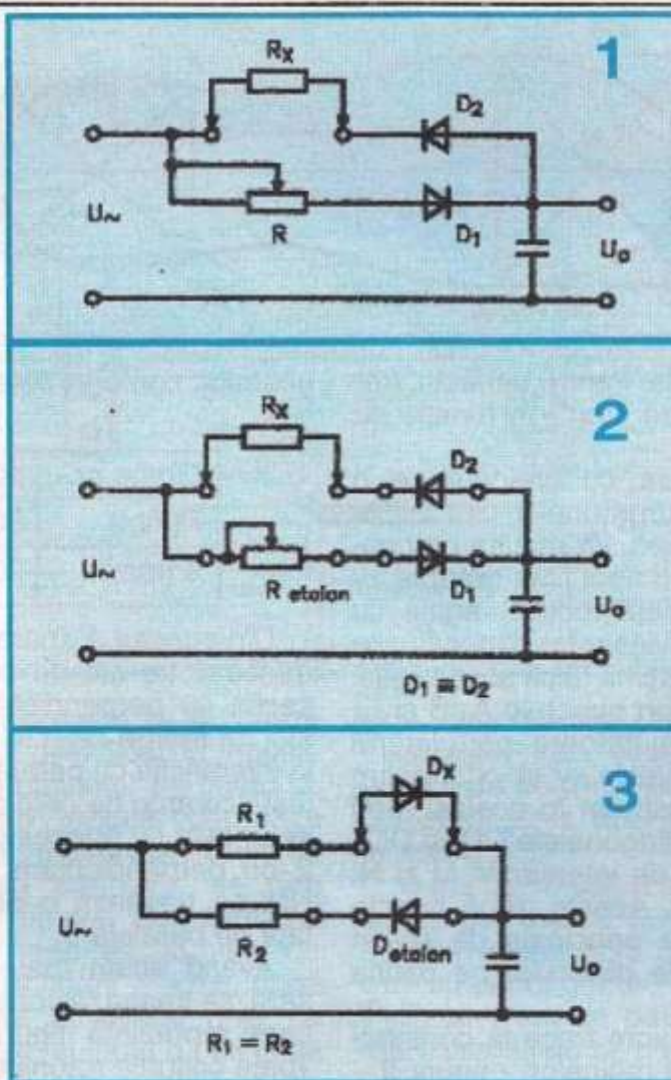
Ca realizare practică, este util ca dispozitivul să fie prevăzut cu patru perechi de borne separate, care să per-

mită, în funcție de situație, conectarea celor necesare la efectuarea operației de măsurare respective, așa cum este prezentat în figurile 2 și 3. În ambele cazuri, măsurarea se termină în momentul când la ieșire se obține $U_o = 0$.

De menționat că, în cazul sortării de diode identice perechi sau pentru punți, este util ca tensiunea de alimentare a dispozitivului să poată fi

ADAPTOR OHMMETRU BIFUNCȚIONAL

Pagini realizate de ILIE STOICA, Urziceni



reglată cu ajutorul unui potențiometru de putere (bobinat), de la valoarea zero la o valoare mai mare. În acest fel se poate constata în ce măsură caracteristicile celor două diode care se compară sunt identice sau diferite în mai multe puncte de funcționare. Este adevarat că diode la care caracteristicile se suprapun perfect sunt greu de găsit, dar, în funcție de abaterea lui U_o într-un câmp de toleranțe admis procentual, sunt de acceptat.

În cazul sortării diodelor de radiofrecvență, dispozitivul trebuie alimentat cu tensiune de la un generator de semnal cu nivelul variabil de la zero la câțiva volți.

În fiecare an, venirea iernii trezește interesul practicării unuia din sporturile specifice. Unul dintre acestea este patinajul. Pentru aceasta, un sportiv amator de patinaj trebuie să disponă de o pereche de patine potrivite. Dacă nu aspirăm la sport de performanță, atunci construirea patinelor cu mijloace proprii este cât se poate de binevenită.

Mai întâi de toate, cel interesat trebuie să disponă de/sau să-și procure o pereche de ghete solide, cu talpa groasă, din material de calitate, de exemplu, așa-numita "talpă de talpă".

Încălțăminte care se găsește azi peste tot, cu talpa pe bază de cauciuc sau masă plastică, turnată și cu goluri interne, este cu totul nepotrivită.

Dacă s-a rezolvat problema ghetelor, mai trebuie procurat materialul principal necesar pentru construirea patinelor. Acesta este tabla de oțel moale cu grosimea de 3-4 mm. Cantitatea totală de tablă necesară depinde de suprafața totală a tălpilor celor două ghete. Pentru aceasta, trebuie desenat un "tipar de croit", în funcție de mărimea ghetelor.

La început vom trasa cu creionul pe o bucată de hârtie conturul uneia din tăpile ghetelor, folosită ca şablon. Va rezulta un contur ca în figura 1. Trasăm apoi linia dreaptă XY care delimită suprafața tocului, egală cu cea de pe talpa ghetei. Măsurăm dimensiunile maxime ale lungimii și lățimii tălpii și vom găsi și apoi vom fixa pe desen punctele A, B și C, D. Construim cu linii ajutătoare patrulaterul XX'YY' și îi trasăm diagonalele XY' și YX'. Trasăm apoi dreapta CD și construim în același mod patrulaterul CDD'C' cu diagonalele CD' și DC'. Se vor obține punctele de intersecție M și N, ambele pe dreapta AB. Aceste două puncte vor reprezenta punctele principale de sprijin ale ghetei și deci și ale piciorului pe patina respectivă.

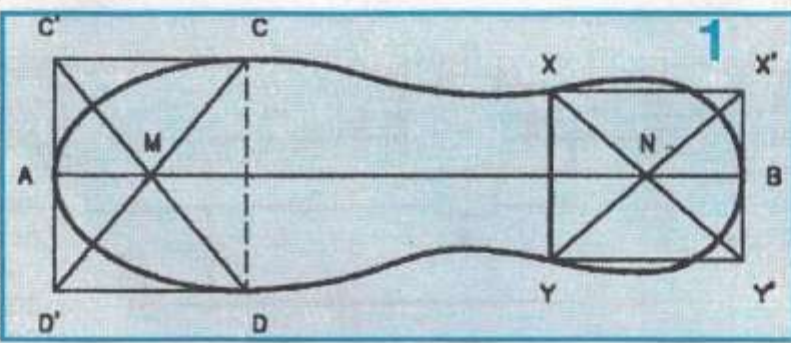
Separat de figura 1, vom trece la construirea "tiparului de croit" al patinelor – figura 2 –

pe baza mărimilor principale AB și CD. Pe o bucată de carton de mărime convenabilă se trasează prima dată două linii paralele orizontale la distanță între ele egală cu CD/5. Deasupra și dedesubt fată de aceste linii se trasează câte o linie paralelă orizontală la distanța CD/3, respectiv CD/4. Pe una din aceste patru paralele fixăm două puncte, A și B, la distanța AB din figura 1. Între aceste două puncte fixăm punctele M și N la distanțele pe care

le-am găsit în figura 1 față de A sau B. Din aceste patru puncte vom ridica perpendicularele AA', MM', NN' și

BB' care să intersecteze toate cele patru paralele orizontale, noteate 1, 2, 3 și 4. În punctele M' și N' pe paralela 4 fixăm câte un punct de o parte și de alta a acestora, la distanța CD/5. Obținem patru puncte din care coborâm perpendiculare până la paralela 2. Pe paralela 1 se fixeză un punct A1 la distanța f față de punctul A și un alt punct B1 la distanța s față de punctul B. Mărimile f și s se stabilesc orientativ, în funcție de mărimea

CONSTRUIȚI-VĂ SINGURI PATINE



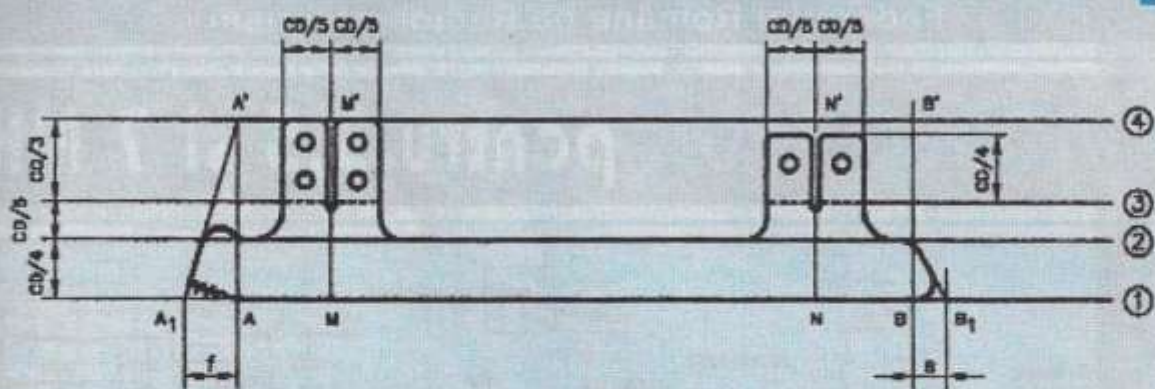
ghetelor, conform datelor din tabelul alăturat.

| Ghete nr. | 40 | 30 | 20 |
|-----------|----|----|----|
| f (mm) | 30 | 25 | 20 |
| s (mm) | 20 | 15 | 10 |

Din punctul A' (paralela 4), cu o rază A'A se trasează un arc de cerc din A până la intersecția cu perpendiculara ridicată din A1. De aici se merge cu o linie dreaptă pe rază până la intersecția cu paralela 2, după care se rotește cu arce de cerc ca în figura 2. Punctul B1 se unește cu punctul de intersecție al paralelei 2 cu perpendiculara BB'. Pe perpendiculara NN' se trasează o paralelă la distanța CD/4 față de paralela 3.

Având acum toate liniile ajutătoare necesare, se trasează conturul îngroșat din figura 2, care reprezintă figura plană a unei patine. Toate colțurile rotunjite din figură se realizează

2



după preferință, mai mult sau mai puțin pronunțate. După ce s-a retușat și s-a realizat definitiv figura, se decupează cu foarfeca după contur. Cu ajutorul acestui „tipar” ca şablon, vom desena pe bucata de tablă cu ajutorul unui ac de trasat, de două ori aceeași figură pentru două patine.

Urmează decuparea formelor patinelor, care se poate face conform procedeului clasic accesibil amatorilor, prin practicarea unui sir de găuri de diametru 2,5-3 mm, la mici distanțe una de alta și apoi prin tăierea cu dalta a intervalelor de

metal dintre găuri. După aceasta se ajustează conturul cu ajutorul unor pile. Spațiile înguste dintre aripile de fixare a patinelor pe ghete se fac cu ferăstrăul pentru metale, deoarece lucru cu dalta ar fi greu de executat. După ce s-a terminat decuparea patinelor, se dau găurile de prindere în funcție de diametrul șuruburilor de fixare. Îndoirea aripilor de prindere se face conform figurii 3 a,b,c, după linia punctată din figura 2, având grijă ca îndoirea să se facă în aşa fel încât o patină să

apără ca imaginea în oglindă a celeilalte, adică inversate. De exemplu, patina din figura 3b se potrivește la gheata pentru piciorul stâng. După îndoire, găurile de prindere se zencuiesc cu un burghiu mai mare la mărimea capului șurubului de prindere. Aceste șuruburi sunt de tipul celor pentru lemn, dar scurtate astfel

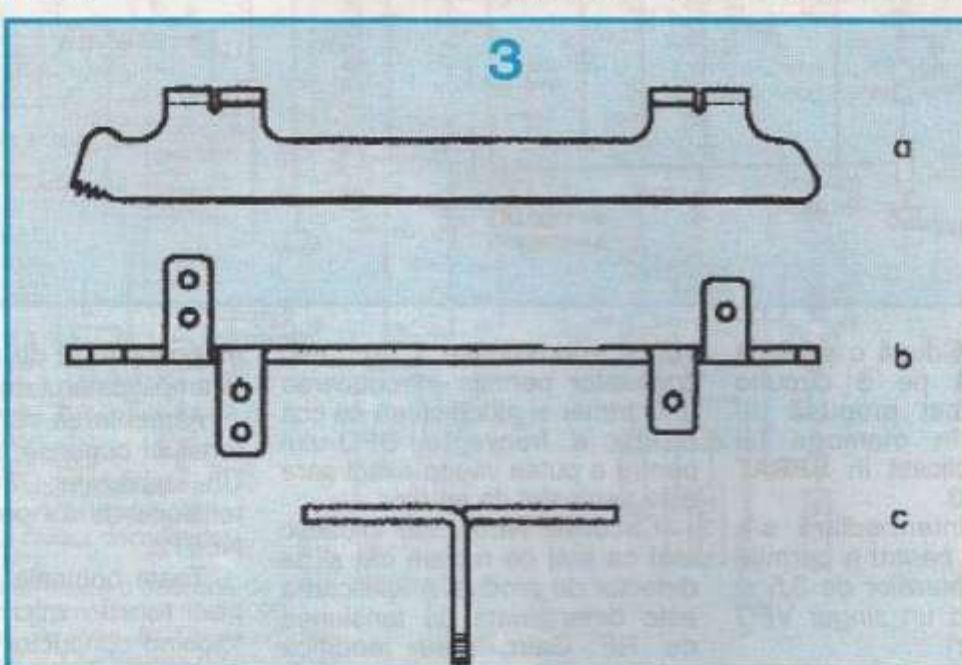
încât, după fixarea patinei, să nu străpungă total talpa a ștelei. Este suficient să fie pătrund în talpă maxim 3/4 din grosimea acesteia.

Pentru ca tălpile patinelor să reziste mai bine la frecarea cu gheata,

este bine să fie călite. Pentru aceasta, se încalzește talpa fiecărei patine cu o flacără (lampă de benzină sau pistol de sudură) până la roșu deschis, apoi se introduce brusc patina în apă.

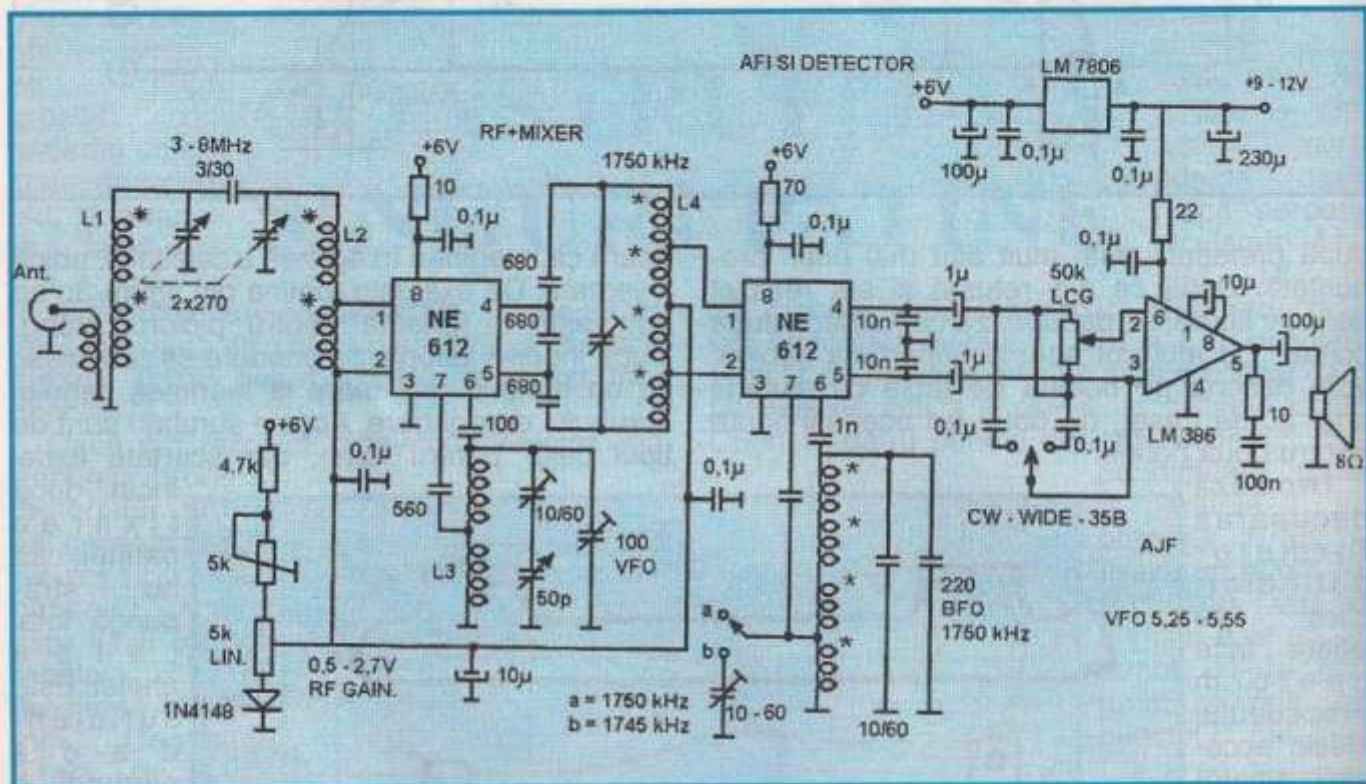
După ce se ascută tălpile patinelor la polizor, ele se pot fixa cu șuruburi pe tălpile ghetelor, desigur având grijă ca vârful patinei să coincidă cu vârful ghetei.

Dacă vrem ca patinele să aibă un aspect mai frumos, ele se pot bruna sau nichela.



Pagini realizate cu sprijinul
Federației Române de Radioamatorism

RADIORECEPTOR pentru 3,5 și 7 MHz



Este realizat după o schemă simplă bazată pe 3 circuite integrate. A fost propusă de VK3AWC – în memoria lui W1FB și publicată în SPRAT nr. 116 din 2003.

Frecvența intermediară s-a ales 1,75 MHz pentru a permite recepcionarea benzilor de 3,5 și 7 MHz folosind un singur VFO (5,25-5,55 MHz).

Nu este nevoie de comutatoare de bandă, circuitul de la intrare se acordează cu ajutorul unui condensator variabil dublu în intervalul 3,5-7,1 MHz.

Frecvențele de 3,5 și 7, precum și celelalte până la 3,8 și respectiv 7,3 MHz, coincid pe scara receptorului.

Armonicele oscillatorului BFO de 1,75 MHz apar pe frecvențele de 3,5 și 7 MHz și permit determinarea limitei inferioare a benzilor. În situația când benzile

sunt zgomotoase, un mic comutator permite introducerea unui trimer și modificarea cu cca 5 kHz a frecvenței BFO-ului pentru a putea vedea exact care este semnalul de marker.

Circuitele NE612 se folosesc atât ca etaj de mixare cât și ca detector de produs. Amplificarea este determinată de tensiunea de RF Gain, care modifică polarizarea la pinii 1 și 2 de la ambele integrate NE 612. Această tensiune se modifică între 0,5 și 2,1V. Normal este 1,2V. Surprinzător, această variație nu modifică frecvența VFO-ului sau BFO-ului.

După filtrul trece-bandă de la intrare semnalele sunt mixate (VFO-3,5 MHz sau 7-VFO) rezultând semnale de 1,75 MHz. După amplificare urmează detectia. Semnalele de JF se aplică printr-un filtru RC la

potențiometrul de volum și apoi la amplificatorul de JF.

Alimentarea se poate face cu tensiuni cuprinse între 9 și 12V. Un stabilizator 7806 asigură o tensiune de 6V pentru circuitele NE612.

Toate bobinele sunt realizate pe toruri mici tip T50-2, folosind conductor de CuEm de 0,35-0,4 mm. Astfel:

L1, L2 – conțin câte 40 spire (20 spire bobinate bifilar); L1 are un primar de 6 spire;

L3 (VFO) – 30 spire cu priză la spira a 10-a;

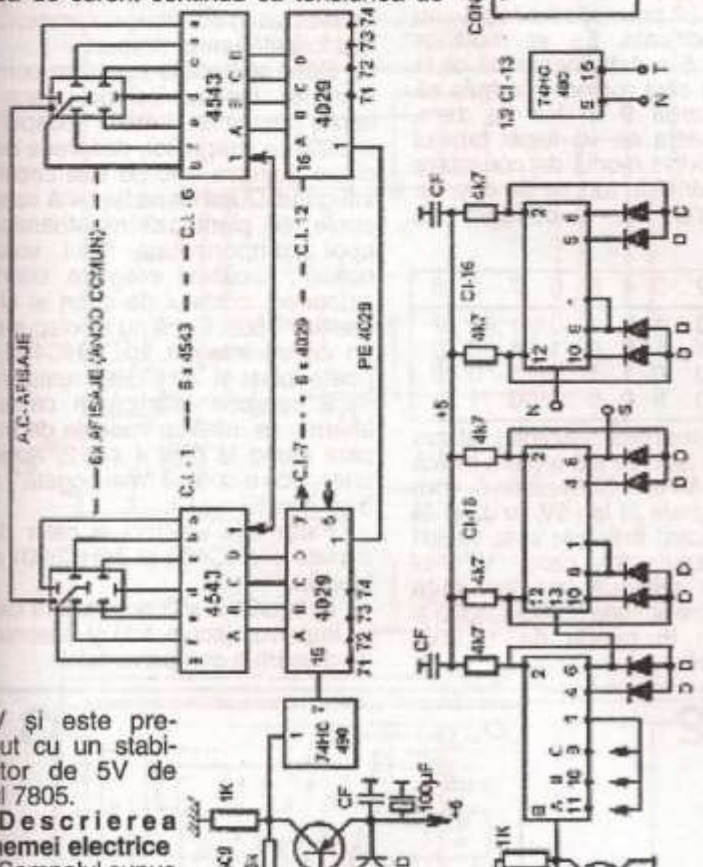
L4, L5 – 72 spire (18 spire bobinate quadrifilar).

Pe schemă s-a marcat unul din capetele înfășurării, atunci când bobinajul a fost multifilar.

Traducere YO3APG

Aparatul este destinat măsurării frecvențelor înalte până la 30 MHz cu o rezoluție de citire de 10 sau 100 Hz. Frecvența maximă măsurată este dictată de performanțele primului numărător CI-7 (vezi schema electrică). Dacă se folosește circuitul integrat CD 4029E (produs Texas Instruments) pot fi măsurate frecvențe de până la 35-36 MHz.

Frecvențmetrul se alimentează de la o sursă de curent continuu cu tensiunea de



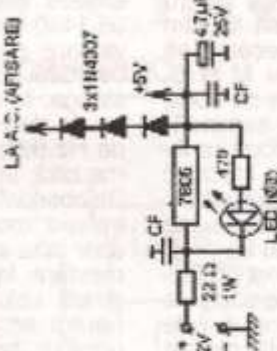
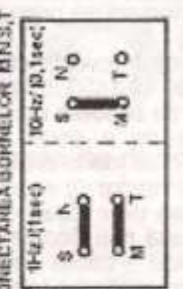
12V și este prezentat cu un stabilizator de 5V de tipul 7805.

Descrierea schemei electrice

Semnalul supus măsurării este aplicat pe baza tranzistorului T1 care are rolul de amplificator – formator de semnale TTL. Semnalul amplificat se aplică primului divizor decadic de tipul 74HC490 (1/2).

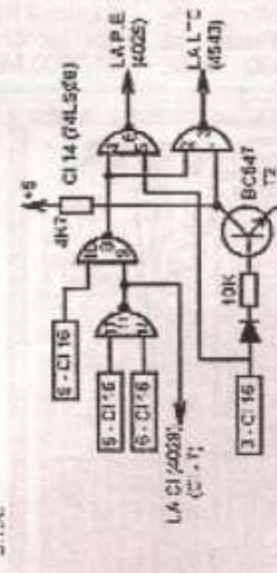
In continuare urmează o cascadă de 6 numărătoare programabile de tipul 4029. Iesările acestora (în cod BCD) ajung la decodarea binar – 7 segmente de tipul 4543 care sunt conectate de asemenea manieră încât să se folosească afişaje cu anodul comun. Anozii comuni (legați între ei în paralel) se alimentează de la sursa de +5V în serie cu 3 diode de tipul 1N4007. Aceste legături se fac în exterior, pe afişaje, iar anodul comun se conectează la borna AC.

Pentru baza de timp sunt folosite circuitele integrate CI-14 ... CI-17 și jumătate din CI-13. Se pot folosi cristale de quart cu frecvență proprie de rezonanță de 2,4 sau 8 MHz. Cu ajutorul condensatorului trimer C.TR se realizează etalonarea frecvențmetrului. Dacă valoarea maximă a lui C.TR (33 pF) este mică, se va conecta în paralel un condensator C4.



TABLEA 1
TOATE DIODILE D=1N4007 112 bucătări
C2 = 47 . 100nF (pentru cristal 6 bucătări)

Dacă se folosește un cristal cu frecvență de 2 MHz se va face un strap (sub CI-17, înainte de plantarea acestuia) între punctele 1 și A, pentru cristale cu frecvență de 4 MHz – între pinii 1 și B, iar pentru 8 MHz – între 1 și C. Semnalul divizat de CI-7 este aplicat divizorului dublu decadic CI-16. Iesirea acestuia (pin 6) ajunge la borna S. Intrarea următorului divizor dublu decadic (CI-15)



– pin 13) este conectată la borna M.

Circuitul integrat CI-14 de tipul 74LS08 (care conține 4 porti SI) realizează semnalele necesare funcționării corecte a frecvențmetrului. Acestea sunt:

a. Semnalul LATCH care se aplică pe bornele LATCH DISABLE ale decodorului 4553 – legate toate în paralel. Observație: se folosesc denumirile din catalogul întreprinderii MICRO-ELECTRONICA – ediția 1990.

b. Semnalul de restare a numărătoarelor de tip 4029 care se aplică pe bornele PRESET ENABLE.

c. Semnalul MERGE-STĂ ce se aplică la

FRECUENȚMETRU 30 MHz

borna CARRY IN a primului numărător CI-7.

Cum se arată la început, se pot măsura frecvențe cu rezoluții de 10 sau 100 Hz. Când dorim să folosim rezoluția de 100Hz este necesar să se facă strap între bornele M și S. Dacă se dorește o rezoluție de 10Hz (cu rata de citire de 1 secundă) atunci se va folosi cea de a doua jumătate a numărătorului dublu decadic 74HC490 (CI-13). În acest caz trebuie făcute următoarele conexiuni: se unesc bornele S cu T și N cu M.

Acest frecvențmetru a fost proiectat pentru a fi folosit, în special, ca scală numerică. În acest caz este suficientă rezoluția de 100Hz, cu rata de măsurare de 0,1 secunde.

Numărătorul de bază folosește circuitele integrate CI-7 ... CI-12 care sunt programabile. Programarea se face pentru fiecare numărător separat.

Să presupunem că lucrăm pe frecvența de 14,143 000 MHz. Deoarece avem o rezoluție de citire a frecvenței de 100 Hz, vom putea afișa numai cifrele 14, 1430 MHz.

Să presupunem că folosim un VFO cu frecvență reglabilă în limitele 5,0000-5,5000 MHz.

Dacă toate bornele JAM ale CI-7 ... CI-12 vor fi legate la masă, frecvențmetrul va afișa valoarea 05,0000 MHz (sau 05,5000 MHz). Pentru a lucra pe frecvența de 14,1430 MHz, VFO-ul trebuie să aibă frecvența de 5,1330 MHz.

Frecvența intermediară se presupune a fi 9,0000 MHz.

Dacă dorim ca frecvențmetrul să afișeze valoarea 14,1430 în loc de 05,1430 trebuie să scădem din prima valoare pe cea de a doua, adică 09,0000. Prima cifră (de la dreapta la stânga, în cazul nostru 0) reprezintă sutele de Hz, cea de a doua – mii de Hz (kHz) și aşa mai departe, ultima cifră (a şasea) – zecile de MHz. Se observă că primele cifre afișate nu trebuie modificate. Se va modifica doar cifra a 5-a. Astă înseamnă că la resetare, la cifra a cincea trebuie să apară valoarea 9 în loc de zero. Pentru aceasta se va folosi tabelul următor, privind modul de conectare a bornelor JAM în funcție de cifra pe care dorim să o obținem (la resetare).

| | 0 | 1 | 2 | 3 | 4 | 5 | 6 | 7 | 8 | 9 |
|----|---|---|---|---|---|---|---|---|---|---|
| J1 | 0 | 1 | 0 | 1 | 0 | 1 | 0 | 1 | 0 | 1 |
| J2 | 0 | 0 | 1 | 1 | 0 | 0 | 1 | 1 | 0 | 0 |
| J3 | 0 | 0 | 0 | 0 | 1 | 1 | 1 | 1 | 0 | 0 |
| J4 | 0 | 0 | 0 | 0 | 0 | 0 | 0 | 0 | 1 | 1 |

Pentru exemplul prezentat, atunci când dorim ca cifra a 5-a (care indică unitățile de MHz – CI-5) să fie 9, vom conecta bornele J1 la +5V, iar J2 și J4 la masă. Acest exemplu este valabil pentru cazul în care VFO-ul generează semnale cu frecvență cuprinsă între limitele 5,000-5,3000 și noi lucrăm în banda de 14,000-14,3000 MHz.

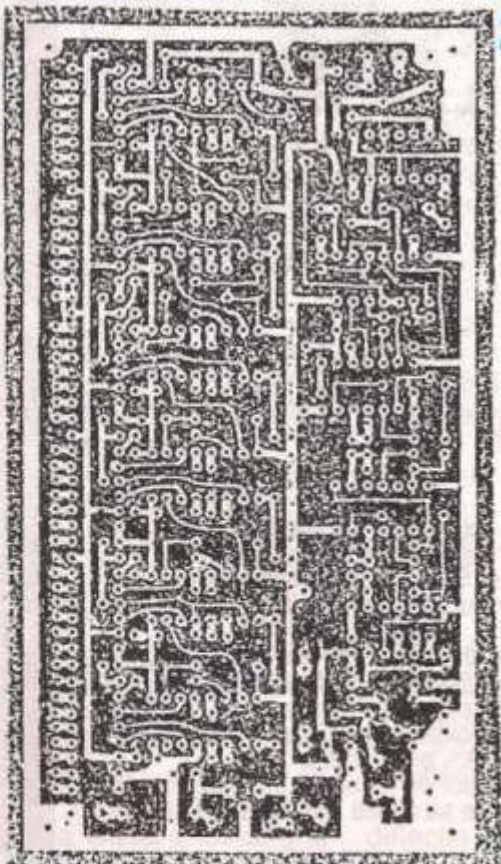
"Jonglănd" din modul de conectare a bornelor JAM (pe schemă notate cu J), se poate folosi orice fel de VFO pentru oricare bandă folosită.

Schema cablajului imprimat este prezentată la scara 1:1. Deoarece s-a folosit cablaj imprimat realizat pe o singură față și deoarece au fost evită trecerile printre 2 pini alăturați ai circuitelor integrate, cablaj mai greu de realizat în condițiile de amatori, au fost folosite unele strapuri.

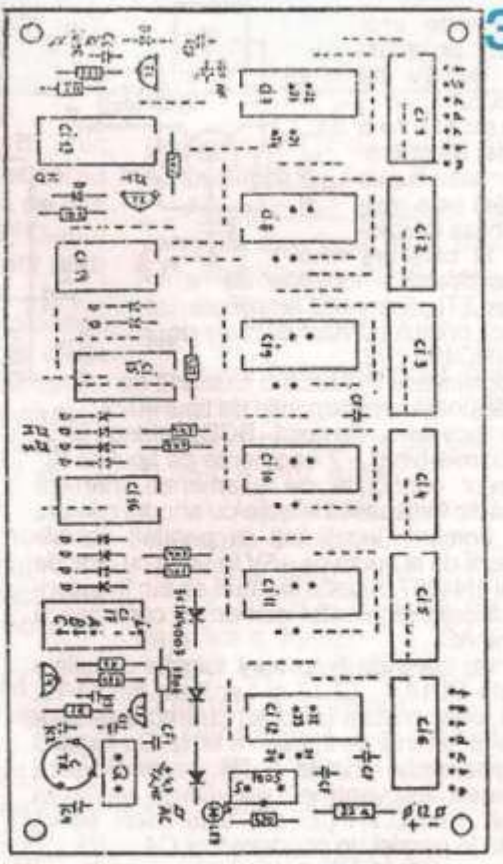
Când se trece la plantarea componentelor electronice pe placa cu cablaj imprimat, trebuie început cu realizarea strapurilor, deoarece unele dintre acestea trec pe sub circuitele integrate. După ce se termină cu strapurile, se plantează rezistoarele iar apoi componente "mai voluminoase", circuitele integrate, condensatoarele, cristalul de cuart și stabilizatorul 7805. Dacă nu se dispune de un circuit integrat tip 74HC490, se poate folosi și 74HC390, realizând o mică operă estetică la cablaj și anume: se întrerup traseele de masă care ajung la pinii 4 și 12. Apoi se unesc (cu o sudură "mai bogată") pinii 3 cu 4 și 12 cu 13.

Parametrii electrici ai celor două circuite (74HC490 și 74HC390) sunt identici.

În figurile 2 și 3 se prezintă cablajul imprimat (scara 1:1) și desenul de amplasare a componentelor.



2

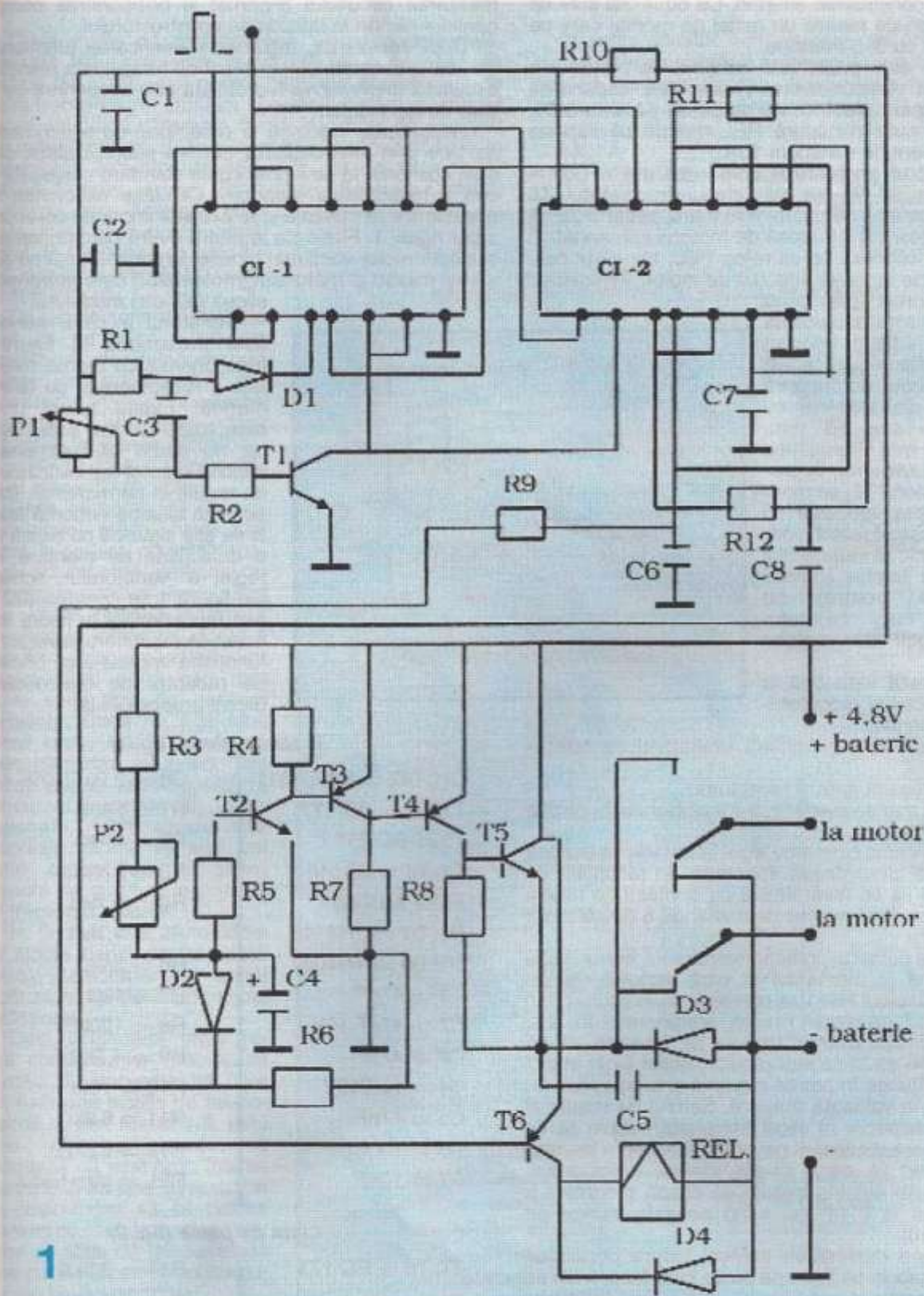


3

VARIATOR - INVERSOR

Pagini realizate de dr. ing. SORIN PISCATI

de
T
U
R
T
I
E



1

Majoritatea navomodelelor propulsate de motoare electrice trebuie să aibă în dotare un variator electronic de turatie, care să permită și inversarea sensului de rotație al elicei sau zbaturilor. Un astfel de variator trebuie să permită un reglaj continuu al turatiei elicei, mai ales în manevrele de acostare.

În magazinele de specialitate se vând astfel de variaore de viteză, dar la prețuri prohibitive pentru majoritatea tinerilor constructori amatori. Cu două-trei sute de mii de lei se poate realiza un astfel de montaj care pe piață se vinde cu 3+5 milioane.

În figura 1 este prezentată schema de principiu a unui astfel de variator-inversor, care este capabil să comande motoare electrice cu puteri de până la 60W. Contactele releeului miniatură REL trebuie să suporte curenți de rupere de minimum 10A.

Dacă motorul (motoarele) comandat are o putere mai mare de 60 W, se va înlocui tranzistorul T5 (2N3055) cu un altul de putere mai mare, astfel încât să suporte lejer sarcina introdusă de motorul comandat. În acest caz se va utiliza un alt relee REL, ale cărui contacte să suporte curentul absorbit de motor. Tranzistorul T5 trebuie montat (prin două șuruburi) cu carcasa metalică lipită de un radiator adecvat din aluminiu. De regulă, acest radiator se poate confectiona dintr-o tablă din aluminiu cu lungimea de cca 50 mm, lățimea de 40 mm și grosimea de 0,5 mm. Radiatorul, împreună cu tranzistorul T5, se montează deasupra carcasei în care este încasat restul montajului electronic al variatorului – inversor de turatie. Punctul median (de neutră) se reglează cu ajutorul potențiometrului semireglabil P1, astfel:

- se cuplează variatorul la canalul respectiv al receptorului de telecomandă;
- se alimentează (pornește) emițătorul de telecomandă;
- se alimentează apoi și receptorul;
- se aduce manşa respectivă a emițătorului în poziție neutră (pe mijloc);
 - motorul electric care este legat la bateria sa (nu cea de 4,8 V, care alimentează aparatura de recepție), de regulă începe să se învârtească cu o viteză de rotație oarecare, chiar dacă manşa de comandă a emițătorului este la mijloc;
 - se rotește cursorul potențiometrului P1 într-un sens sau altul până în momentul în care motorul electric (comandat de releeul REL) se oprește;
 - deplasând progresiv manşa emițătorului în sus, arborele motorului electric trebuie să înceapă să se învârtească din ce în ce mai repede, astfel încât atunci când manşa ajunge în poziție maximă și turata motorului să ajungă la valoarea maximă. Sensul de rotație al motorului și respectiv al elicei antrenate trebuie să fie corespunzătoare deplasării navomodelului spre înainte;
 - deplasând în sens invers manşa emițătorului, turata motorului electric trebuie să scadă progresiv și continuu până la 0 (atunci când aceasta ajunge pe punctul neutrului);
 - continuând deplasarea manșei înspre poziția de jos, motorul trebuie să înceapă să se învârtească din ce în ce mai tare, dar în sens invers, până când turata lui

atinge valoarea maximă. În acest caz și manşa respectivă trebuie să fie în poziția cea mai de jos.

Sensibilitatea montajului se regleză cu potențiometrul semireglabil P2 (fig. 1).

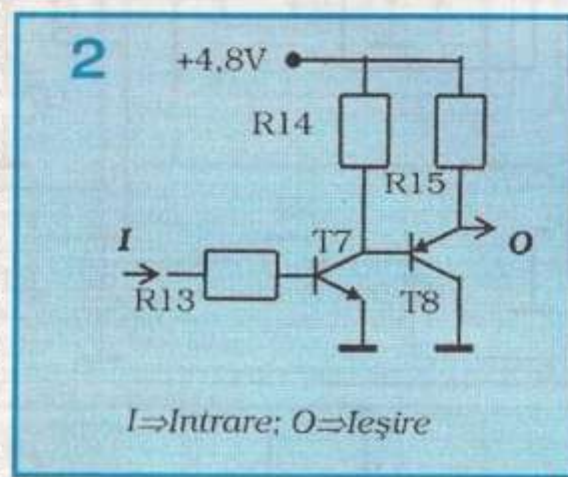
Întregul montaj electronic al variatorului – inversor de turatie, cu excepția tranzistorului T5, se montează pe o placă de circuit imprimat.

Întrucât amplasarea pieselor nu este critică, realizarea circuitului imprimat și poziționarea componentelor rămân la latitudinea constructorului.

După realizarea, reglarea și verificarea funcționării corecte a variatorului – inversor de turatie, față placată a circuitului imprimat va fi protejată prin acoperirea cu un strat de lac incolor.

Racordarea electrică la receptorul de telecomandă se face prin intermediu a trei fire subțiri izolate, care sunt cositorite la pinii unei cuple standard conjugată cu cea a receptorului respectiv. Celelalte extremități ale acestor fire se cositoresc la circuitul imprimat corespunzător figurii 1. Firele de legătură dintre baterie, variator și electromotor vor fi mai groase, în concordanță cu consumul maxim al motorului (motoarelor) care antrenează elicea (elicele) modelului.

Variatorul a cărui schemă este prezentată în figura 1 funcționează cu marea majoritate a receptoarelor de telecomandă. Există totuși unele receptoare cu care acest variator nu poate să funcționeze, motorul în acest caz învărtindu-se de regulă în permanentă. Dacă această situație nedorită apare și se stie sigur că nu există nici o defecțiune de montare sau reglaj al variatorului, schema din figura 1 se completează cu cea reprezentată în figura 2. În acest caz variatorul-inversor va funcționa împreună cu orice fel de receptor de telecomandă digital-proportională.



Lista de piese (fig. 1)

| | |
|--------------------|-------------------|
| CI1; CI2 ⇒ MMC4011 | C8 ⇒ 2,2µF/10V |
| T1; T2 ⇒ BC 171 | R1 ⇒ 680Ω |
| T3 ⇒ BC 251 | R2 ⇒ 470Ω |
| T4; T6 ⇒ BD140 | R3 ⇒ 220kΩ |
| T5 ⇒ 2N3055 | R4 ⇒ 4,7kΩ |
| D1; D2 ⇒ 1N4148 | R5 ⇒ 4,7kΩ |
| D3; D4 ⇒ 1N4007 | R6 ⇒ 56kΩ |
| C1 ⇒ 47nF | R7 ⇒ 1kΩ |
| C2 ⇒ 47µF/10V | R8 ⇒ 100Ω |
| C3 ⇒ 47nF | R9 ⇒ 4,7kΩ |
| C4 ⇒ 1µF/10V | R10 ⇒ 10Ω |
| C5 ⇒ 47nF | R11 ⇒ 6,8kΩ |
| C6 ⇒ 10nF | R12 ⇒ 6,8kΩ |
| C7 ⇒ 10nF | REL ⇒ Vezi textul |

Lista de piese (fig. 2)

| | |
|-----------------|-------------|
| T7; T8 ⇒ BC 171 | R14 ⇒ 3,3kΩ |
| R13 ⇒ 10kΩ | R15 ⇒ 3,3kΩ |

UTILIZAREA CRISTALELOR de CUART în STĂIILE de TELECOMANDĂ

Orice stație de telecomandă digital-proporțională, realizată industrial, este prevăzută cu o pereche de cristale de cuarț: unul pentru pilotarea oscilatorului de înaltă frecvență din emițător și celălalt pentru receptorul superheterodină. Diferența dintre frecvența de oscilație a cuartului din emițător și a celui din receptor este în majoritatea cazurilor de 455 kHz, ca de exemplu la stațiile Futaba, Robe, Skyleader, Sanwa, Conrad, Multiplex etc. Această diferență poate avea și alte valori. Astfel, la Graupner ea este de 457 kHz iar la Piko-FM 27 este de 460 kHz etc.

Ca regulă generală, trebuie să știu că nu orice cuarț din emițătorul de telecomandă merge cu orice cuarț din receptor. Stațiile moderne prezintă, aproape fără excepție, facilitatea schimbării perechii de cristale (din emițător și respectiv receptor).

Dacă se comandă un singur model (aero, navo sau auto), în general nu este necesară schimbarea perechii de cristale. În concurs, însă, când mai multe modele participă simultan la întrecere, poate fi necesară înlocuirea cuarturilor atunci când două sau mai multe stații emit pe aceeași frecvență. Dacă nu s-ar face acest lucru, stațiile în cauză s-ar perturba reciproc. Din acest motiv, participanții la concursurile naționale, internaționale, continentale sau mondiale trebuie să aibă cel puțin patru (uneori șase) perechi de cuarturi în benzile de frecvență alocate.

În fiecare țară, autoritățile au alocat benzi de frecvență pentru telecomandă, astfel încât să nu fie deranjat traficul profesional.

Deși, în general, organizatorii concursurilor precizează benzile de frecvență pe care pot funcționa stațiile de telecomandă în țara respectivă, este bine ca participanții să cunoască cu mult timp înainte frecvențele admise. În acest fel au posibilitatea să se doteze din timp cu cristale de cuarț sau chiar cu stații de telecomandă care pot fi utilizate în concursurile din țările respective.

În baza acestor considerante, se prezintă mai jos cinci tabele cu canalele și frecvențele autorizate în principalele țări din Europa. Frecvențele nominalizate în aceste tabele sunt autorizate de regulă și în țări de pe celelalte continente.

NOTĂ:

1. Rubricile înnegrite reprezintă frecvențele (canalele) de emisie autorizate pentru țara respectivă.

TABELUL 1

Alocarea frecvențelor în banda de 27MHz

| Canal | Frecvență (MHz) | I | II | III | IV | V | VI | VII | VIII | IX | X | XI |
|-----------|-----------------|---|----|-----|----|---|----|-----|------|----|---|----|
| 1 | 26,965 | | | | | | | | | | | |
| 2 | 26,975 | | | | | | | | | | | |
| 3 | 27,985 | | | | | | | | | | | |
| 4 | 27,995 | | | | | | | | | | | |
| 5 | 27,005 | | | | | | | | | | | |
| 6 | 27,015 | | | | | | | | | | | |
| 7 | 27,025 | | | | | | | | | | | |
| 8 | 27,035 | | | | | | | | | | | |
| 9 | 27,045 | | | | | | | | | | | |
| 10 | 27,055 | | | | | | | | | | | |
| 11 | 27,065 | | | | | | | | | | | |
| 12 | 27,075 | | | | | | | | | | | |
| 13 | 27,085 | | | | | | | | | | | |
| 14 | 27,095 | | | | | | | | | | | |
| 15 | 27,105 | | | | | | | | | | | |
| 16 | 27,115 | | | | | | | | | | | |
| 17 | 27,125 | | | | | | | | | | | |
| 18 | 27,135 | | | | | | | | | | | |
| 19 | 27,145 | | | | | | | | | | | |
| 20 | 27,155 | | | | | | | | | | | |
| 21 | 27,165 | | | | | | | | | | | |
| 22 | 27,175 | | | | | | | | | | | |
| 23 | 27,185 | | | | | | | | | | | |
| 24 | 27,195 | | | | | | | | | | | |
| 25 | 27,205 | | | | | | | | | | | |
| 26 | 27,215 | | | | | | | | | | | |
| 27 | 27,225 | | | | | | | | | | | |
| 28 | 27,235 | | | | | | | | | | | |
| 29 | 27,245 | | | | | | | | | | | |
| 30 | 27,255 | | | | | | | | | | | |
| 31 | 27,265 | | | | | | | | | | | |
| 32 | 27,275 | | | | | | | | | | | |

LEGENDĂ:

I → Germania
II → Belgia
III → Austria
IV → Danemarca
V → Franța
VI → Italia

VII → Luxemburg
VIII → Norvegia
IX → Olanda
X → Suedia
XI → Elveția

2. Pentru ușurință se utilizează noțiunea de "canal"; concurenții nu trebuie să țină minte frecvența pe care emite stația, frecvență marcată pe cuaț sau pe apărătoarea acestuia. De exemplu, frecvenței de emisie 27145 kHz îi corespunde canalul 19 (notat K19).

3. Cuarțurile sunt de două feluri: pentru stații cu modulație de amplitudine (MA) și pentru stații cu modulație de frecvență (MF). Nu se vor folosi cuarțuri MA pentru MF sau invers, întrucât de regulă stațiile nu funcționează în aceste condiții.

4. Să nu ne mire dacă pe unele cuarțuri pentru emițătoare cu MF vom căsi inscripționată o frecvență egală cu jumătate din cea de emisie. De exemplu, pentru K19 ($f = 27145$ kHz) vom căsi 13152,5 kHz. De regulă, aceste stații cu MF folosesc cuarțuri a căror oscilație pe fundamentală are frecvența pe jumătate din cea a semnalului radiat de antena emițătorului. Procedeul este utilizat datorită faptului că modulația tip MF este mai ușor de realizat în aceste condiții.

5. În tabelele unele frecvențe (canale) sunt scrise cu litere și cifre îngroșate. Din anumite motive, care nu fac obiectul acestui articol, aceste frecvențe sunt de preferat; la unele concursuri este permisă numai utilizarea acestor frecvențe.

6. Puterea maximă radiată de antenă unui emițător de telecomandă nu trebuie să depășească 1,9W.

TABELUL 2
Alocarea frecvențelor în banda de 35MHz

| Canal | Frecvență (MHz) | I | II | III | IV | V | VI | VII | VIII | IX | X | XI |
|-------|-----------------|---|----|-----|----|---|----|-----|------|----|---|----|
| 61 | 35,010 | | | | | | | | | | | |
| 62 | 35,020 | | | | | | | | | | | |
| 63 | 35,030 | | | | | | | | | | | |
| 64 | 35,040 | | | | | | | | | | | |
| 65 | 35,050 | | | | | | | | | | | |
| 66 | 35,060 | | | | | | | | | | | |
| 67 | 35,070 | | | | | | | | | | | |
| 68 | 35,080 | | | | | | | | | | | |
| 69 | 35,090 | | | | | | | | | | | |
| 70 | 35,100 | | | | | | | | | | | |
| 71 | 35,110 | | | | | | | | | | | |
| 72 | 35,120 | | | | | | | | | | | |
| 73 | 35,130 | | | | | | | | | | | |
| 74 | 35,140 | | | | | | | | | | | |
| 75 | 35,150 | | | | | | | | | | | |
| 76 | 35,160 | | | | | | | | | | | |
| 77 | 35,170 | | | | | | | | | | | |
| 78 | 35,180 | | | | | | | | | | | |
| 79 | 35,190 | | | | | | | | | | | |
| 80 | 35,200 | | | | | | | | | | | |

LEGENDĂ:

| | |
|------|-------------|
| I | ⇒ Germania |
| II | ⇒ Belgia |
| III | ⇒ Austria |
| IV | ⇒ Danemarca |
| V | ⇒ Franța |
| VI | ⇒ Italia |
| VII | ⇒ Luxemburg |
| VIII | ⇒ Norvegia |
| IX | ⇒ Olanda |
| X | ⇒ Suedia |
| XI | ⇒ Elveția |

TABELUL 3
Alocarea frecvențelor în banda de 40MHz

| Canal | Frecvență (MHz) | I | II | III | IV | V | VI | VII | VIII | IX | X | XI |
|-------|-----------------|---|----|-----|----|---|----|-----|------|----|---|----|
| 50 | 40,665 | | | | | | | | | | | |
| 51 | 40,675 | | | | | | | | | | | |
| 52 | 40,685 | | | | | | | | | | | |
| 53 | 40,695 | | | | | | | | | | | |
| 54 | 40,715 | | | | | | | | | | | |
| 55 | 40,725 | | | | | | | | | | | |
| 56 | 40,735 | | | | | | | | | | | |
| 57 | 40,765 | | | | | | | | | | | |
| 58 | 40,775 | | | | | | | | | | | |
| 59 | 40,785 | | | | | | | | | | | |
| 81 | 40,815 | | | | | | | | | | | |
| 82 | 40,825 | | | | | | | | | | | |
| 83 | 40,835 | | | | | | | | | | | |
| 84 | 40,865 | | | | | | | | | | | |
| 85 | 40,875 | | | | | | | | | | | |
| 86 | 40,885 | | | | | | | | | | | |
| 87 | 40,915 | | | | | | | | | | | |
| 88 | 40,925 | | | | | | | | | | | |
| 89 | 40,935 | | | | | | | | | | | |
| 90 | 40,965 | | | | | | | | | | | |
| 91 | 40,975 | | | | | | | | | | | |
| 92 | 40,985 | | | | | | | | | | | |

LEGENDĂ:

| | |
|------|-------------|
| I | ⇒ Germania |
| II | ⇒ Belgia |
| III | ⇒ Austria |
| IV | ⇒ Danemarca |
| V | ⇒ Franța |
| VI | ⇒ Italia |
| VII | ⇒ Luxemburg |
| VIII | ⇒ Norvegia |
| IX | ⇒ Olanda |
| X | ⇒ Suedia |
| XI | ⇒ Elveția |

TABELUL 4

Alocarea frecvențelor în banda de 41MHz

| Canal | Frecvență (MHz) | I | II | III | IV | V | VI | VII | VIII | IX | X | XI |
|-------|-----------------|---|----|-----|----|---|----|-----|------|----|---|----|
| 400 | 41,000 | | | | | | | | | | | |
| 401 | 41,010 | | | | | | | | | | | |
| 402 | 41,020 | | | | | | | | | | | |
| 403 | 41,030 | | | | | | | | | | | |
| 404 | 41,040 | | | | | | | | | | | |
| 405 | 41,050 | | | | | | | | | | | |
| 406 | 41,060 | | | | | | | | | | | |
| 407 | 41,070 | | | | | | | | | | | |
| 408 | 41,080 | | | | | | | | | | | |
| 409 | 41,090 | | | | | | | | | | | |
| 410 | 41,100 | | | | | | | | | | | |
| 411 | 41,110 | | | | | | | | | | | |
| 412 | 41,120 | | | | | | | | | | | |
| 413 | 41,130 | | | | | | | | | | | |
| 414 | 41,140 | | | | | | | | | | | |
| 415 | 41,150 | | | | | | | | | | | |
| 416 | 41,160 | | | | | | | | | | | |
| 417 | 41,170 | | | | | | | | | | | |
| 418 | 41,180 | | | | | | | | | | | |
| 419 | 41,190 | | | | | | | | | | | |
| 420 | 41,200 | | | | | | | | | | | |

LEGENDĂ:

- | | | | |
|-----|-------------|------|-------------|
| I | ⇒ Germania | VII | ⇒ Luxemburg |
| II | ⇒ Belgia | VIII | ⇒ Norvegia |
| III | ⇒ Austria | IX | ⇒ Olanda |
| IV | ⇒ Danemarca | X | ⇒ Suedia |
| V | ⇒ Franța | XI | ⇒ Elveția |
| VI | ⇒ Italia | | |

TABELUL 5

Alocarea frecvențelor în banda de 72MHz

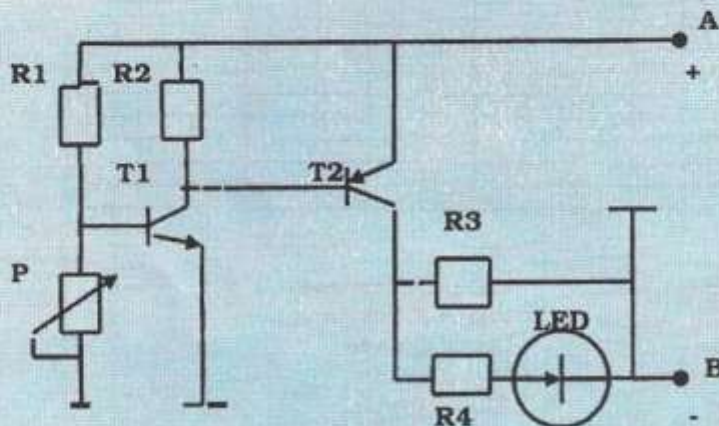
| Canal | Frecvență (MHz) | I | II | III | IV | V | VI | VII | VIII | IX | X | XI |
|-------|-----------------|---|----|-----|----|---|----|-----|------|----|---|----|
| 200 | 72,000 | | | | | | | | | | | |
| 202 | 72,020 | | | | | | | | | | | |
| 204 | 72,040 | | | | | | | | | | | |
| 206 | 72,060 | | | | | | | | | | | |
| 208 | 72,080 | | | | | | | | | | | |
| 210 | 72,100 | | | | | | | | | | | |
| 212 | 72,120 | | | | | | | | | | | |
| 214 | 72,140 | | | | | | | | | | | |
| 216 | 72,160 | | | | | | | | | | | |
| 218 | 72,180 | | | | | | | | | | | |
| 220 | 72,200 | | | | | | | | | | | |
| 222 | 72,220 | | | | | | | | | | | |
| 224 | 72,240 | | | | | | | | | | | |
| 226 | 72,260 | | | | | | | | | | | |
| 228 | 72,280 | | | | | | | | | | | |
| 230 | 72,300 | | | | | | | | | | | |
| 232 | 72,320 | | | | | | | | | | | |
| 234 | 72,340 | | | | | | | | | | | |
| 236 | 72,360 | | | | | | | | | | | |
| 238 | 72,380 | | | | | | | | | | | |
| 240 | 72,400 | | | | | | | | | | | |
| 242 | 72,420 | | | | | | | | | | | |
| 244 | 72,440 | | | | | | | | | | | |
| 246 | 72,460 | | | | | | | | | | | |
| 248 | 72,480 | | | | | | | | | | | |
| 250 | 72,500 | | | | | | | | | | | |

LEGENDĂ:

- | | | | |
|-----|-------------|------|-------------|
| I | ⇒ Germania | VII | ⇒ Luxemburg |
| II | ⇒ Belgia | VIII | ⇒ Norvegia |
| III | ⇒ Austria | IX | ⇒ Olanda |
| IV | ⇒ Danemarca | X | ⇒ Suedia |
| V | ⇒ Franța | XI | ⇒ Elveția |
| VI | ⇒ Italia | | |

DESCĂRCAREA CONTROLATĂ A ACUMULATOARELOR Ni-Cd

1



Lista de piese

| | |
|----|---------------|
| T1 | = BC107 |
| T2 | = BD138 |
| R1 | = 11 kΩ |
| R2 | = 330 Ω |
| R3 | = 47÷50 Ω/1 W |
| R4 | = 82÷100 Ω |
| P | = 10 kΩ lin. |

În prezent, majoritatea stațiilor de telecomandă sunt alimentate în special din acumulatoare alcaline Ni-Cd. Utilizarea bateriilor uscate pentru alimentarea acestor stații este de domeniul trecutului, datorită unor inconveniente precum: siguranța scăzută în funcționare; autodescărcare; curenți de descărcare mici în raport cu cei ai acumulatoarelor; se pot utiliza o singură dată; rezistență internă mare; pericol de curgere a lichidului extrem de corosiv din interior; preț de cost ridicat raportat la durata de funcționare.

Pentru sportivi și în special pentru cei de performanță, utilizarea acestor baterii este de neconceput.

Datorită calităților lor - curenți mari debitați; posibilitatea de a fi reîncărați de peste 1000 ori; siguranță mare în exploatare; preț de cost relativ scăzut, raportat la durata totală de exploatare - acumulatorii și în special cei "uscați" Ni-Cd sunt utilizati în exclusivitate pentru alimentarea stațiilor de radiotelecomandă, motoarelor

electrice (care acționează motoarele), instalațiilor de automatizare și control simulatoare de zgomot, sirene navale etc.

Acumulatoarele alcaline Ni-Cd, pe lângă calitățile lor, prezintă și două deficiențe. Pentru a analiza mai bine aceste deficiențe, precum și modul de remediere a lor, vom lua în considerare un exemplu practic.

Un receptor superheterodină de telecomandă este alimentat de regulă dintr-o baterie (grup) de patru acumulatoare Ni-Cd 0,5Ah inseriate. Întrucât fiecare acumulator are la borne o tensiune de 1,2-1,3 V, tensiunea cu care se alimentează receptorul și implicit servourile aferente este de 4,8÷5,2 V.

Firma constructoare (Saft, Sanyo, Warta etc.) recomandă încărcarea neîntreruptă a acestor acumulatoare sub un curent constant de 50 mA, timp de 14 ore. Să presupunem că aceste acumulatoare sunt utilizate în timpul unui concurs cca 30 de minute. Este evident că în condiții normale, acumulatoarele sursei

de alimentare a aparaturii de radiorecepție și execuție de pe model nu se descarcă complet. Ele se descarcă până la un anumit prag, practic necunoscut, deoarece nu se poate să se știe de câte ori și pe ce durată au fost acționate servourile modelului în timpul respectivului concurs. Se pune întrebarea: în aceste condiții, cât trebuie să fiețe la încărcat, evident tot sub curentul constant de 50 mA, cele 4 acumulatoare? Nu se poate răspunde direct la întrebare, deoarece prin măsurători de tensiune și curent nu se poate determina pragul de descărcare; acumulatoarele prezintă aceeași tensiune la borne de 1,2 V și când sunt descărcate pe sfert și când sunt descărcate la jumătate sau mai puțin. A le încărca 14 ore cu 50 mA este evident o greșală, deoarece ele nu sunt complet descărcate. Mai mult, s-a constatat că descărcând și încărcând parțial acumulatoarele Ni-Cd, după un număr de cicluri capacitatea acestora scade semnificativ; este vorba de acel fenomen de "memorie". Corect

este să descărcăm întotdeauna acumulatoarele până la pragul inferior admisibil și apoi să le încărcăm sub curent constant, numărul de ore indicat de firma constructoare (de regulă 14 ore). În felul acesta se păstrează integral capacitatea inițială a bateriei de acumulatoare și totodată se evită suprasolicitarea acestora din cauza unor încărcări excesive.

Aplicând această metodă, durata medie de viață a acumulatoarelor de regulă se dublează, bineînteles în cazul unei exploatari corecte. În felul acesta și după 8 ani de folosire, nu apar căderi și nici micsorări semnificative ale capacitatii lor.

Montajul propus în figura 1 este simplu și poate fi realizat de orice constructor amator.

Funcționare

Conecțând bateria de acumulatoare (în cazul acesta, patru acumulatoare Ni-Cd 1,2 V/0,5 Ah) între bornele A (+4,8 V) și B (masă), tranzistorul T1, comandat în bază prin divizorul potențiometric R1-P, se deschide. Acesta, polarizându-i direct baza, deschide tranzistorul T2. În această situație, sursa formată din cele patru acumulatoare inseriate începe să se descarce prin rezistența R3 și ramificația R4-LED. Dioda electroluminiscentă se aprinde, indicând astfel derularea procesului de descărcare a bateriei de acumulatoare. Când tensiunea la bornele acesteia atinge pragul inferior (prestabilit prin semi-reglabilul P), cele două tranzistoare se blochează, descărcarea

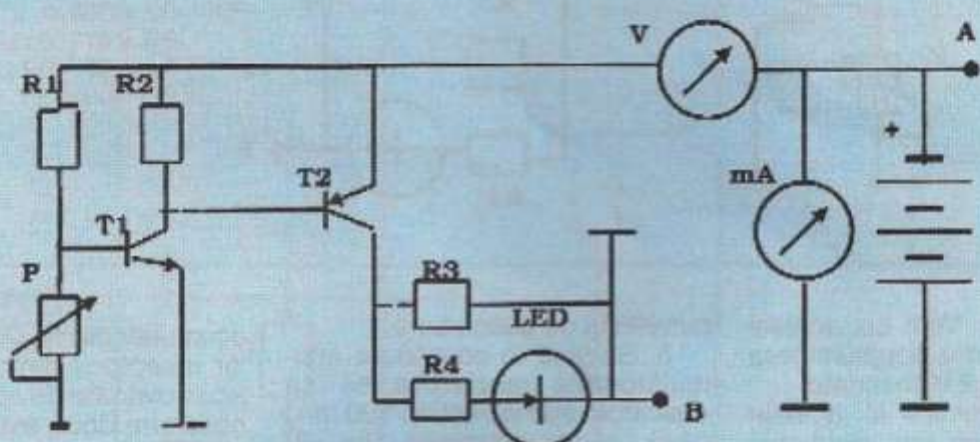
rămân parțial încărcate. După terminarea ciclului de descărcare-încărcare, bateria de acumulatoare poate fi utilizată în deplină siguranță, pentru alimentarea aparatului de radioceptie-execuție.

Este indicat ca acest ciclu de descărcare-încărcare să fie realizat în prezia fiecărui concurs.

Reglaje

Se știe că un acumulator Ni-Cd este descărcat la limita inferioară atunci când tensiunea dintre bornele acestuia ajunge la $0,8 \pm 0,05$ V. Din motive de siguranță, în cazul de față este recomandat să se aleagă ca prag inferior valoarea de 1 V. Alegerea acestei valori scade nesemnificativ capacitatea acumulatorului, dar permite evitarea descărcării excesive a acestuia și depistarea

2



Schema cuprinde în principal două tranzistoare, dintre care unul "npn", de mică putere, iar al doilea "pnp", de putere medie. Ambele tranzistoare sunt cu silicium. Tranzistorul T1 poate fi un BC 107; 108; 171; 172 (A, B sau C), cu un factor $\beta = 75 \div 120$. Tranzistorul T2 este un BD 136; 138; 140; 2N1613; 1711; 2219 etc., cu un $\beta = 50 \div 100$. Dioda electroluminiscentă va fi un LED ușual, preferabil de culoare roșie și cu corp cilindric (pentru ușurința montajului). Cele patru rezistențe (R1+R4) sunt chimice, cu puterea de $0,1 \div 0,5$ W. Excepție face rezistența R3, care va fi de $0,5 \div 1$ W.

se întrerupe și LED-ul se stinge. Pragul de blocare-deschidere, deci de descărcare - oprire este în cazul prezentului montaj de maximum 0,025 V. El nu depășește trei sutimi de volt. După stingerea LED-ului, bateria de acumulatori se decouplează și se pune imediat la încărcat.

O variantă practică a unui încărcător cu generator de curent constant a fost descrisă într-un număr anterior al revistei "Tehniun". Acum știm exact care va fi timpul de încărcare, și anume 14 ore, timp indicat de firma producătoare. În felul acesta, acumulatoarele respective nici nu se supraîncarcă și nici nu

rapidă a acumulatoarelor defecte (scurtcircuite sau întrerupte).

Să luăm din nou în considerare exemplul de mai sus cu patru acumulatoare de 1,2 V/0,5 Ah inseriate. Dacă unul din cele patru acumulatoare este defect, indiferent de gradul de încărcare a celorlalte trei, tensiunea la bornele sursei nu va atinge 4V; ea va fi cuprinsă între 3,6 și 3,9 V. În această situație LED-ul va rămâne stins, cu toate că cel puțin trei dintre acumulatoare sunt încărcate (chiar cu 100%).

Un al doilea element esențial care trebuie luat în considerare este modul de descărcare. Astfel, pentru acumulatoarele Ni-Cd 0,5

Ah/1,2 V curentul optim de descărcare este de 0,1 A; pentru 1,2 Ah/1,2 V de 0,2 A; pentru 1,7 Ah/1,2 V de 0,3 A etc. Acumulatoarele de 4 Ah/1,2 V pot fi descărcate cu un curent de 0,6-0,7 A.

Sigur că toate aceste acumulatoare pot fi descărcate cu curenți mai mici, fără nici un impediment, dar în acest caz va crește timpul de descărcare (până când LED-ul se stinge).

Pe baza acestor considerente vom trece acum la reglarea propriu-zisă a aparatului de descăr-

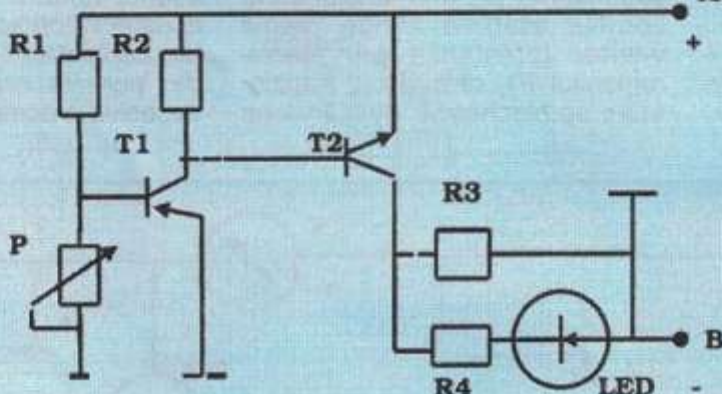
căre. Până când miliampermetrul mA indică aproximativ 100 mA. În locul rezistenței R3 se poate utiliza un semireglabil cu valoarea de 100 ohmi, care se regleză (pornind de la valoarea ohmică maximă a acestuia) până când curentul de descărcare indicat de miliampermetrul mA (fig. 2) va fi de 100 mA. Se măsoară cu un AVO-metru valoarea semireglabilului și se înlocuiește acesta din urmă cu o rezistență chimică fixă de aceeași valoare ohmică. În felul acesta se stabilizează (regleză) valoarea

este pnp, iar T2 este npn. Si în acest caz, ambele tranzistoare vor fi cu siliciu.

În încheiere se menționează că pentru fiecare treaptă de tensiune este necesar câte un astfel de descărcător. Mai corect, descărcătorul unui grup de 4 acumulatoare Ni-Cd nu poate fi utilizat pentru 3, 5, 7, 8 sau mai multe acumulatoare, chiar dacă acestea sunt de același tip și mărime.

Astfel, în cazul unei stații de telecomandă la care emițătorul se alimentează dintr-o sursă de 8

3



Lista de piese

| |
|------------------|
| T1 = BC177 |
| T2 = BD137 |
| R1 = 11 kΩ |
| R2 = 330 Ω |
| R3 = 47-50 Ω/1 W |
| R4 = 82-100 Ω |
| P = 10 kΩ lin. |

care controlată. Vom lua același exemplu de patru acumulatoare Ni-Cd 0,5 Ah/1,2 V, inseriate.

1. Pragul minim al acestei surse, după cum am văzut mai sus, va fi de 4 V, iar curentul de descărcare de 100 mA (variații între 90 și 110 mA sunt acceptabile în practică).

2. Se încarcă cele patru acumulatoare inseriate sub un curent constant de 50 mA, timp de 10-14 ore.

3. Se decouplează acumulatoarele și se leagă apoi bornele A și B ale descărcătorului din figura 1, prin intermediul unui miliampermetru de circa 250-300 mA, valoare maximă la cap de scală, și al unui voltmetru de 15-20 V (fig. 2). Ambele vor fi, evident, pentru curent continuu.

4. Se regleză semireglabilul P, până când dioda LED se aprinde ferm.

5. Se tatonează valoarea rezistenței R3 în jurul valorii de

curentului de descărcare.

6. Se lasă în continuare acumulatoarele respective să se descase (sub curent de 100 mA) până când voltmetrul (fig. 2) indică valoarea de 4 V.

7. Se rotește cursorul semireglabilului P până în momentul în care dioda LED se stinge. Cu aceasta reglajul aparatului este terminat. Se pot face, dacă este cazul, mici retușuri, dar în general nu este nevoie.

8. Se încasetează întregul montaj într-o cutie adecvată din material plastic. În capacul cutiei se practică un orificiu de 5 mm, în care se încastrează LED-ul astfel încât partea luminoasă a acestuia să poată fi văzută din exteriorul cutiei. Bornele A și B se leagă la bateria de acumulatoare printr-o cuplă complementară. Este recomandabilă o cuplă de servomecanism. Se va lega plusul la plus și minusul la minus.

În figura 3 este prezentată o variantă la care tranzistorul T1

acumulatoare Ni-Cd 0,5 Ah/1,2 V, iar receptorul dintr-o sursă de 4 acumulatoare de același tip, vor fi necesare două astfel de descărcătoare: unul reglat pentru pragul minim de 8 V și la un curent de descărcare de 100 mA, iar celălalt pentru un prag minim de 4 V, la același curent de descărcare. Dacă, în locul acumulatoarelor Ni-Cd 0,5 Ah/1,2 V se folosesc altele de capacitate mai mare (de exemplu, 1,2 Ah/1,2 V) grupate tot câte 8 și, respectiv, 4, se pot folosi descărcătoarele de mai sus, dar timpul de descărcare va fi evident mai lung. Descărcarea acumulatoarelor de capacitate mai mică cu descărcătoare pentru acumulatoare de capacitate mai mare nu este posibilă, din cauza curenților prea mari de descărcare, curenți ce suprasolicită acumulatoarele în cauză, ducând în ultimă instanță la scoaterea prematură din uz a acestora.

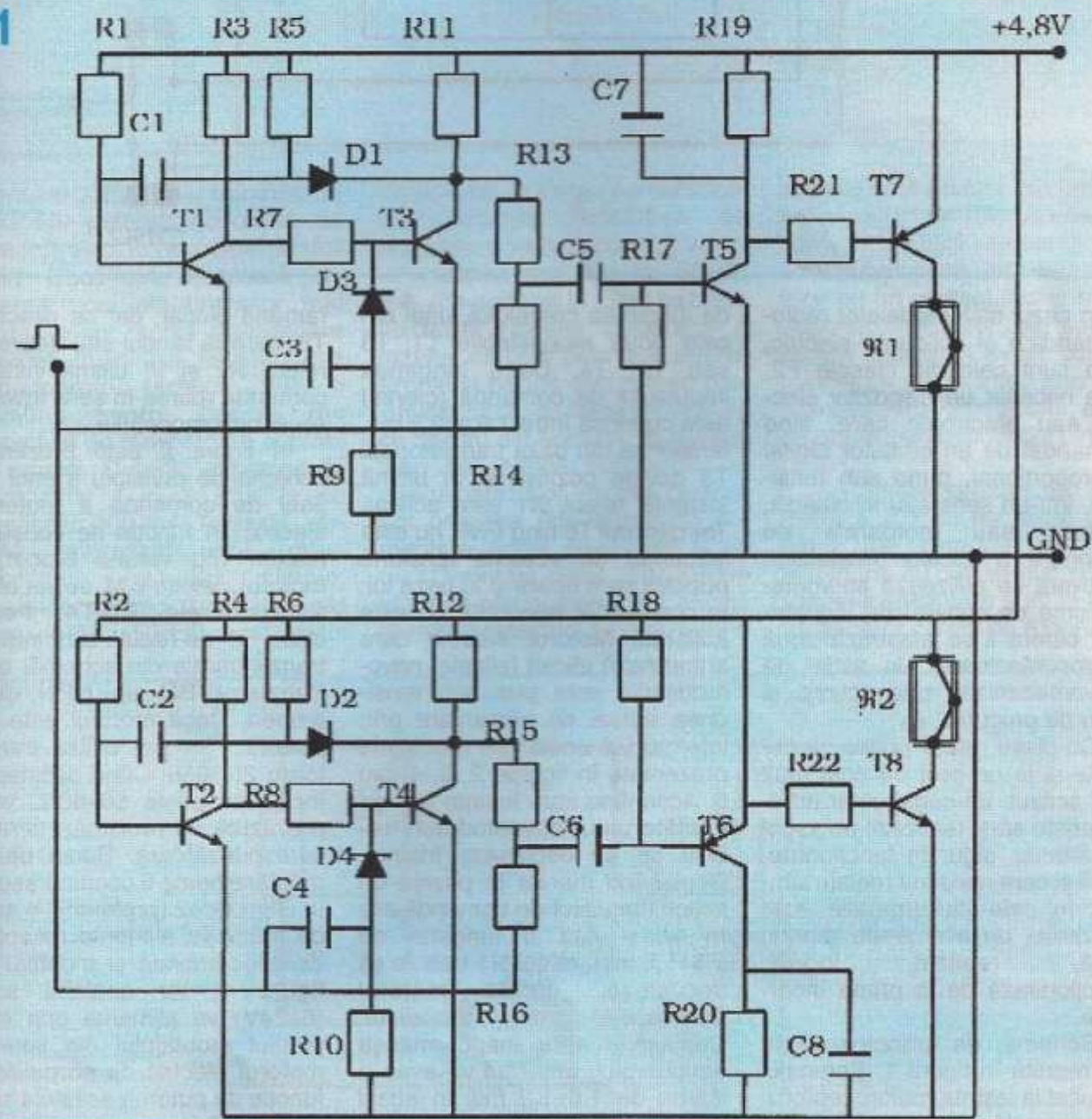
COMANDA A DOUĂ RELEEE

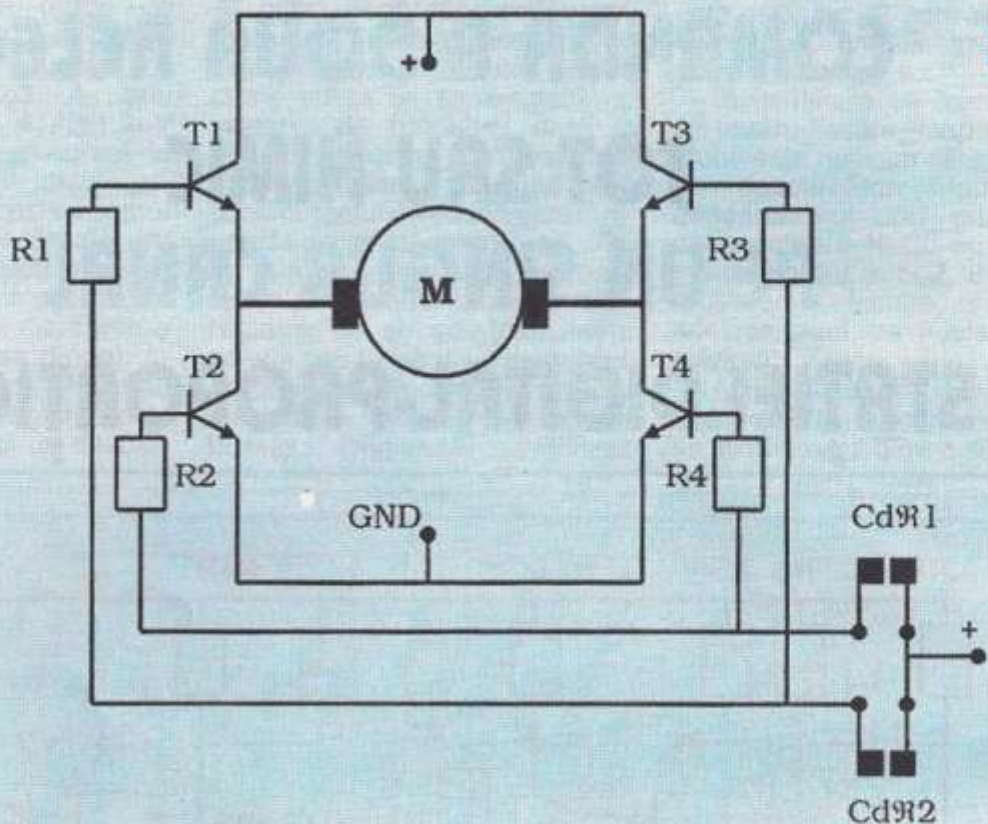
TOT SAU NIMIC

PE UN SINGUR CANAL

AL STĂȚIEI DIGITAL-PROPORTIONALE

1





În cazul navomodelelor radio-comandate și actionate electric, cum sunt cele din clasele F2, este necesar un dispozitiv electric sau electronic care, fiind comandat de un emițător digital – proporțional, pună sub tensiune, într-un sens sau în celălalt, motorul sau motoarele de acționare a elicelor modelului. Frequent se utilizează servomecanisme de construcție industrială, cărora li se atașează două microcontactoare. Un astfel de servomecanism este scump și greu de procurat.

Cu piese relativ puține, accesibile și la un preț de cost mult mai scăzut, un constructor amator poate să-și realizeze un astfel de montaj, sigur în funcționare, fiabil și care necesită reglaje simple. În cele ce urmează este prezentat un asemenea montaj care, realizat îngrijit, funcționează de la prima încercare.

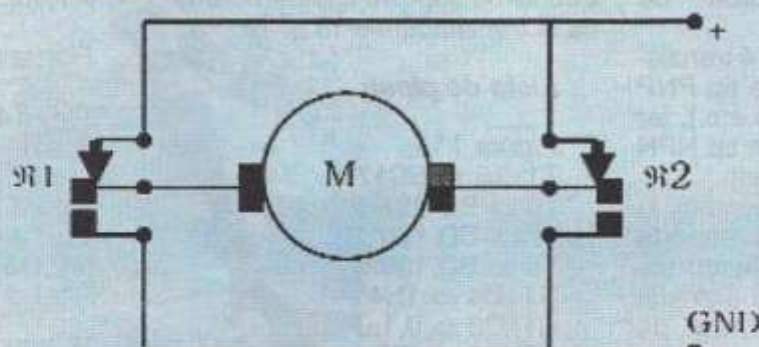
Schema de principiu este prezentată în figura 1. Semnalul rezultat la ieșirea radioreceptorului comandă după caz, în funcție

de lungimea crenelului, unul din cele două monostabile T1; T3 sau T2; T4. Dacă lungimea impulsului de comandă (crenel) este cuprinsă între 1,9 și 2,2 ms, tensiunea din baza tranzistorului T5 devine pozitivă și în ultima instanță releul 9R1 este activat. Tranzistorul T6 fiind PNP, nu este influențat de această tensiune pozitivă care apare și în baza lui. În consecință releul 9R2 nu este acționat. Motorul electric care antrenează elicea (elicele) navomodelului este pus sub tensiunea sursei de alimentare prin intermediul unuia din montajele prezentate în figurile 2, 3, 4 sau 5. Acționând spre înainte manșa emițătorului, navomodelul trebuie să se deplaseze înainte. Deplasând manșa în poziția de mijloc (impulsul de comandă are în acest caz o lungime de 1,6÷1,8 ms), releul 9R1 trebuie să decupleze, oprind motorul (motoarele) de propulsie. Deplasând spre înapoi manșa emițătorului, impulsul va avea o lățime de 1,5÷1,2 ms. În acest caz tranzistorul T7 continuă să

rămână blocat, dar se deschide T8, care la rândul său activează releul 9R2 și în ultimă instanță comandă rotirea în sens invers a elicei navomodelului.

În figura 2 este prezentată schema de principiu a unui etaj final de comandă a motorului electric. În funcție de consumul maxim (cu rotorul blocat) al motorului electric M, se vor alege tranzistoarele T1+T4. Pentru clasa F2, de regulă sunt indicate tranzistoarele din schemă: orice tranzistor BD tip NPN de 2 amperi. Dacă motorul este mai puternic, se pot utiliza tranzistoare 2N3055. Când acestea se încălzesc peste 50÷60°C vor fi prevăzute cu radiatoare termice corespunzătoare. Sursa de alimentare poate fi comună sau nu. În ultimul caz (preferabil) o sursă de 4,8 V va alimenta receptorul de telecomandă și montajul din figura 1, iar cealaltă sursă (6÷24V) va alimenta prin intermediul montajului din figura 2 motorul electric de propulsie. În funcție de puterea acestuia se va alege mărimea sursei de ali-

3

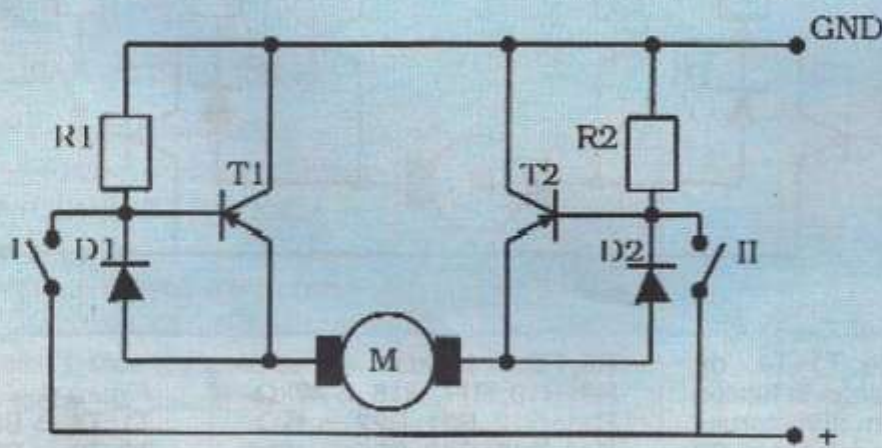
*Contactul normal închis al releului R1**Contactul normal deschis al releului R1**Contactul normal închis al releului R2**Contactul normal deschis al releului R2*

mentare. Pentru tranzistorul 2N3055, puterea absorbită de motorul electric nu poate depăși 60W. Dacă este necesară utilizarea unui electromotor mai mare se vor monta tranzistoare 2N3055 în paralel. În acest caz radiatoarele termice pot fi comune pentru fiecare din perechile de tranzistoare cuplate în paralel. Curenții suportați de contactele 1 și 2 (fig. 2) nu depășesc 200 mA. Aceasta permite utilizarea unor relee miniatură (R1;R2) simple, ușoare și de mici dimensiuni, de preferință REED, ermetic

închise, cu un singur contact normal deschis. Tensiunea de anclansare va fi de cca 3,5 Vc.c., iar curentul mai mic de 50-60 mA. Am preferat în toate cazurile utilizarea releeelor deoarece a rezultat că sunt cele mai sigure, simple și permit decuplarea galvanică totală, cu toate avantajele ce decurg din aceasta. În același timp se reduce substanțial și nivelul paraziților electrici care se pot propaga prin sursa de alimentare. Astfel, cu un simplu filtru LC montat clasic între perilele și masa electromotorului, nivelul paraziților electrici se reduce la o

valoare care nu mai influențează funcționarea receptorului de telecomandă. Dacă amatorul constructor dispune de relee electrice cu un contact închis și altul deschis, contacte ce suportă curenți mai mari decât curentul maxim ce poate trece prin electromotorul navomodelului, atunci se poate utiliza montajul din figura 3.

Schemele prezentate în figurile 4 și 5 se pot folosi atunci când se dispune de relee miniatură cu un singur contact (de felul celor care sunt în figura 2), al căror curent de rupere este



4

superior celui absorbit de motorul propulsor.

În schema din figura 4 tranzistoarele T1 și T2 sunt de tip PNP (BD 136+140, 236+240 etc.), iar cele din figura 5 sunt de tip NPN (BD135; 137; 139; 235 etc.).

În situația în care contactele releelor R1 și R2 nu suportă curentul absorbit de electromotorul M se poate utiliza schema din figura 6. Cu o astfel de schemă pot fi comandate motoare electrice ce absorb zeci de amperi. Prin contactele 1 și 2 ale releelor de comandă R1 și R2 trec curenti de maximum 250

trebuie să suporte aceeași curent ca și tranzistoarele T1 și T2.

R1; R2 ⇒ Vezi textul

Listă de piese

Figura 1

T1+T5 ⇒ BC171

T6 ⇒ BC 251

T7 ⇒ BD 140

T8 ⇒ BD 139

D1+D4 ⇒ 1N4148

C1; C2 ⇒ 0,1 μ F

C3; C4 ⇒ 1nF

C5; C6 ⇒ 1 μ F/10V

C7; C8 ⇒ 10 μ F/10V

R1; R2 ⇒ 30k Ω

R3; R4; R7; R8 ⇒ 2,2k Ω

Figura 2

T1 + T4 ⇒ BD 139

R1; R4 ⇒ 330 Ω

Figura 4

T1; T2 ⇒ BD 136

D1; D2 ⇒ 1N4002

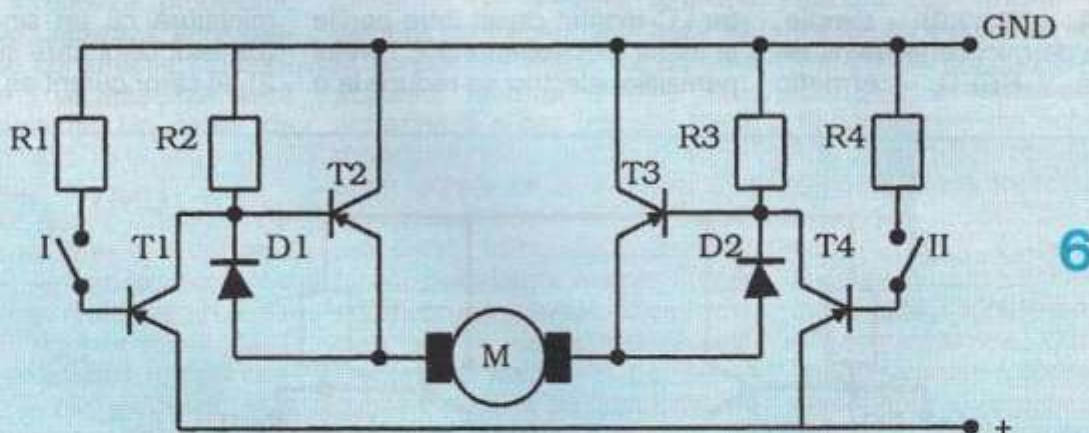
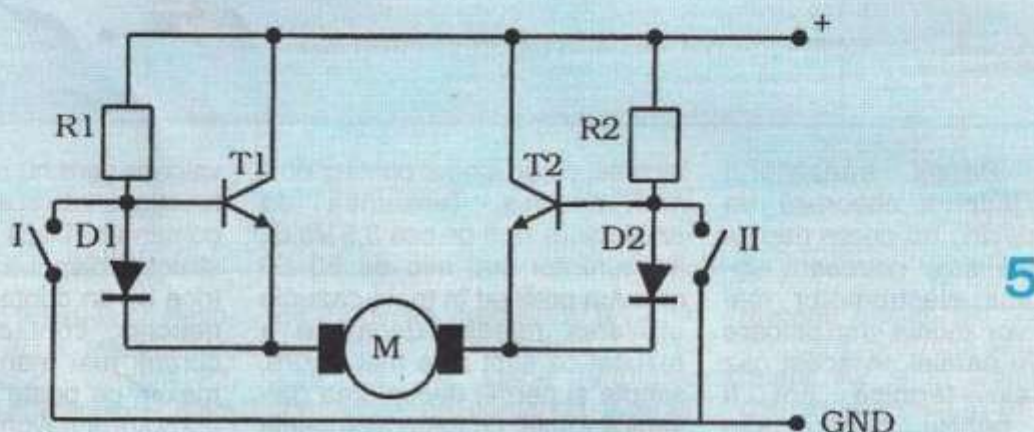
R1; R2 ⇒ 19k Ω

Figura 5

T1; T2 ⇒ BD 137

D1; D2 ⇒ 1N4002

R1; R2 ⇒ 10k Ω



mA. Tranzistoarele T1÷T4, de același tip, se vor alege în funcție de consumul maxim al motorului de propulsie M. Diodele D1 și D2 din schemele din figurile 4 și 5

R5; R6 ⇒ 100k Ω

R9; R10; R17; R18 ⇒ 47k Ω

R11; R12; R21; R22 ⇒ 1k Ω

R13; R15; R19; R20 ⇒ 10k Ω

R14; R16 ⇒ 8,2k Ω

Figura 6

T1; T4 ⇒ BC250

T2; T3 ⇒ BD438

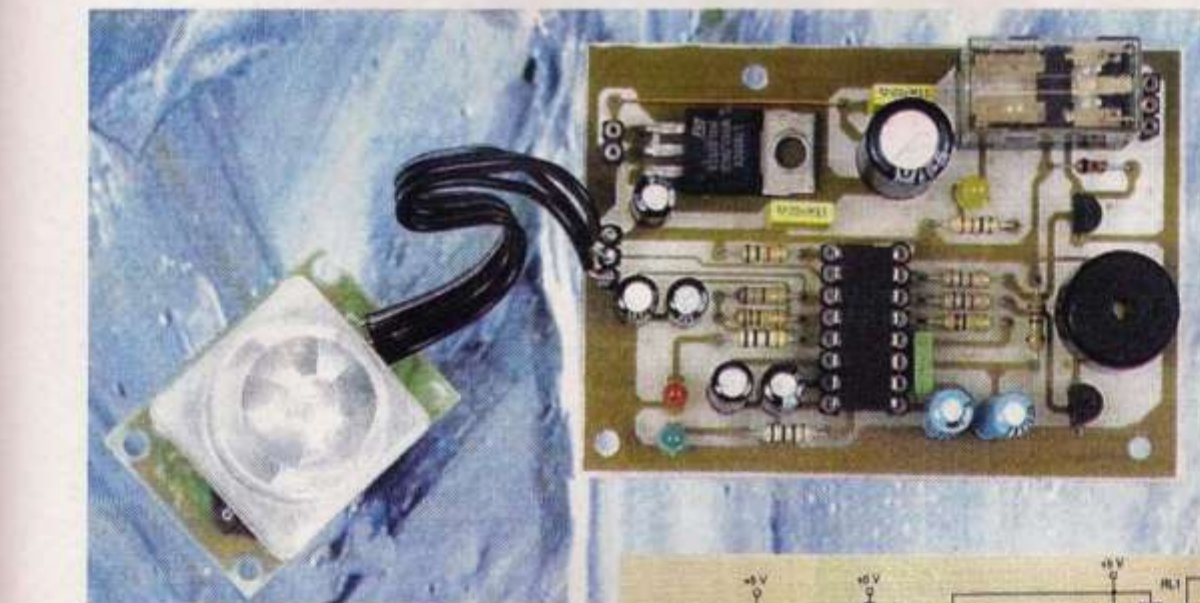
D1; D2 ⇒ 6SI6



Nu mai este un secret pentru nimeni faptul că LED-urile au pătruns în sfera corpurilor de iluminat, extinzându-și aplicabilitatea – la concurență cu clasicele becuri cu incandescență – pe măsură ce performanțele lor (luminozitate, randament, durată de viață) se perfeccionează spectaculos de la un an la altul.

Un astfel de exemplu este prezentat în articolul *"Un spot de iluminare cu LED-uri albe"*, publicat în revista *Electronique Pratique*, nr. 289, decembrie/2004, pag. 68-69, autor G. Isabel.

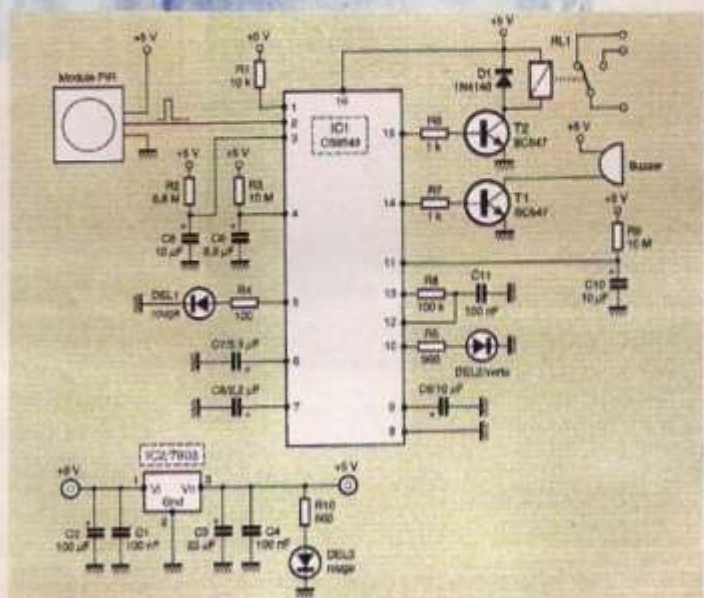
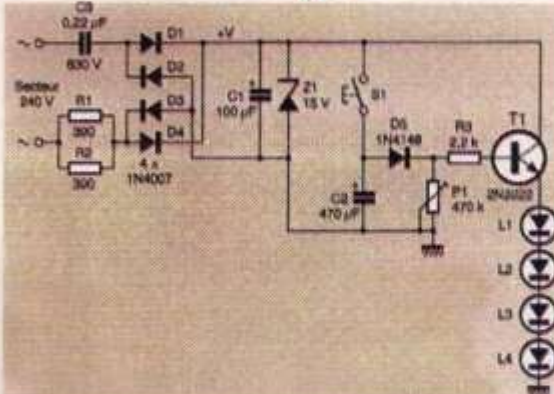
Pentru aplicația propusă sunt recomandate LED-urile albe de mare luminozitate (8000 mcd), în capsulă de cristal Φ 5 mm, cu tensiunea de alimentare de 3,6 V și curentul nominal de 20 mA.



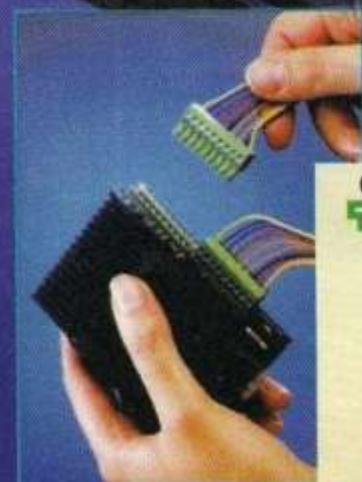
Din același număr al revistei *Electronique Pratique* vă mai semnalăm articolul *"O mini-alarmă autonomă"* (pag. 34-37, autor P. Oguic).

Este vorba despre o alarmă multifuncțională, cu diverse posibilități de semnalizare, memorare, temporizare etc., realizată cu ajutorul unui circuit integrat specializat de tip CS 9543.

În varianta autonomă, alarma se poate alimenta (temp de mai multe luni) de la un acumulator cu plumb de 2 Ah, curentul său în starea de "veghe" nedepășind cca 350 μ A.



Pret: 39.500 lei
3,95 lei noi



Cauti ? - Nu găsești ? - E prea scump ? - ... Ai încercat la :

TRIODA
hifi shop

www.trioda.ro

CONTACT

Multimetre, Telecomenzi, Trafo linii, Componente electronice

Cataloge din magazinile din Oradea sau prin poștă :

HIFI SHOP : str. Primăriei nr. 48 , tel.: 0259-436.782

CONTACT : str. Șelimbărului nr.2 , tel.: 0259-267.223

Cod poștal: 410209 ORADEA , Fax: 0259-210.225,

e-mail: sales@trioda.ro

